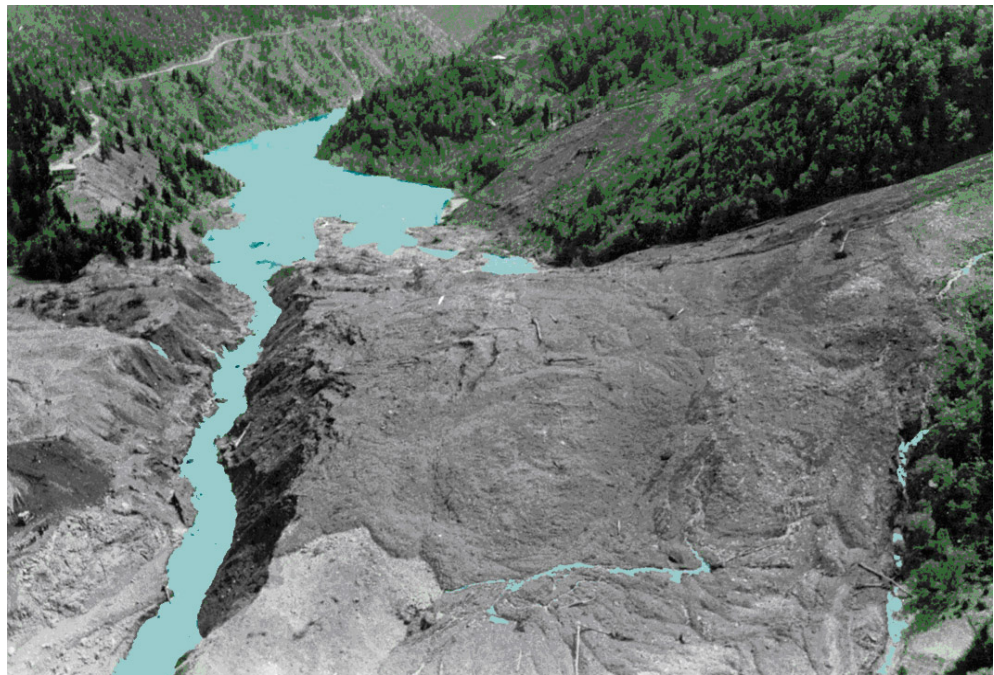


ვასილ ცოგაია, გიორგი გაჩეჩილაძე,
სოჭიო გორგიჭანიძე, მანანა ჭხაპაძე

ნაზღვები ზეალდიდობები და ზეალმოვარდები
საქართველოში



**ჰიდრომეტეოროლოგიის ინსტიტუტი
INSTITUTE of HYDROMETEOROLOGY
ИНСТИТУТ ГИДРОМЕТЕОРОЛОГИИ**

*ვახილი ცოდნა, ვითარები განვითარება
სოფიო გორგოზანიძე, მანანა ვეაკაძე*

**ნაზღვები ტყალღილობები და
ტყალღოვანდები საქართველოში**

თბილისი – TBILISI – ТБИЛИСИ

2009

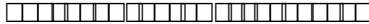
ვასილ კომაია, გიორგი გაჩეჩილაძე,
სოფიო გორგანიძე, მანანა ჭავჭავაძე

**ნაზღვები და დამტკიცებულებები
საქართველოში**

VASIL COMAIA, GIORGI GACHECHILADZE,
SOPHIO GORGIJANIDZE, MANANA FKAKADZE

Clogging Floods and Flows in Georgia

Завальные наводнения и паводки в Грузии

ჰიდრომეტეოროლოგიური ინსტიტუტი
INSTITUTE of HYDROMETEOROLOGY


**თბილისი – TBILISI – ТБИЛИСИ
2009**

<p>სარედაქციო კოლეგია</p> <p>ნ. ბეგალიშვილი (მთავარი რედაქტორი)</p> <p>ბ. ბერითაშვილი (რედაქტორის მოადგილე)</p> <p>თ. ცინცაძე (მენეჯერი და გექნიგური რედაქტორი)</p>	<p>Editorial Board</p> <p>N. Begalishvili (Editor in Chief)</p> <p>B.Beritashvili (Deputy Ed.-in-Chief)</p> <p>T.Tsintsadze (Executive secretary)</p>	
---	---	--

პიდრომეტეოროლოგიის ინსტიტუტი
0112 თბილისის-12, დაჭით აღმაშენებლის გამზირი 150^ა

E-mail: nb@gw.acnet.ge

Institute of Hydrometeorology.
150^a David Agmashenebeli ave., Tbilisi, 0112, Georgia,

ტელ.
Tel. (995 32) 951 047
952 028

0112. თბილისის-12, დაჭით აღმაშენებლის გამზირი 150^ა

ფაქსი
Fax (995 32) 95-11-60

საიდენტიფიკაციო №
Identification №

ISBN

რედაქტორი:

რეცენზენტი:

პიდრომეტეოროლოგიის ინსტიტუტი
INSTITUTE of HYDROMETEOROLOGY
ИНСТИТУТ ГИДРОМЕТЕОРОЛОГИИ

2009

პ 6 თ ჲ ა ც 0 ა

შრომაში პირველად სისტემატიზებულია, გაანალიზებული და განხოგადებულია მდინარის ხეობების კლდე-ზავებით, მეწყერებით, მყინვარული გამონატანით, თოვლის ზვავებითა და მდინარეული ყინულებით ჩახერგასთან დაკავშირებული პიდროლოგიური მოვლენების ბუნება. შრომა შეიცავს ჩახერგვასა და გარღვევასთან დაკავშირებულ პიდროლოგიური მოვლენების შეფასების მეთოდებს, ხერხებს, წყალდიდობებისა და წყალმოვარდნების საშიში პიდროლოგიური მოვლენების წინააღმდეგ ბრძოლის რეკომენდაციებს. ასევე, შედგენილია დაგუბებულ ტბებსა და მათი გარღვევის შედეგად წარმოშობილ წყალმოვარდნებზე პიდრომეტეოროლოგიური დაკირვებების ორგანიზაციის, მიღებული მასალების სისტემატიზაციისა და დამუშავების მეთოდოლოგია.

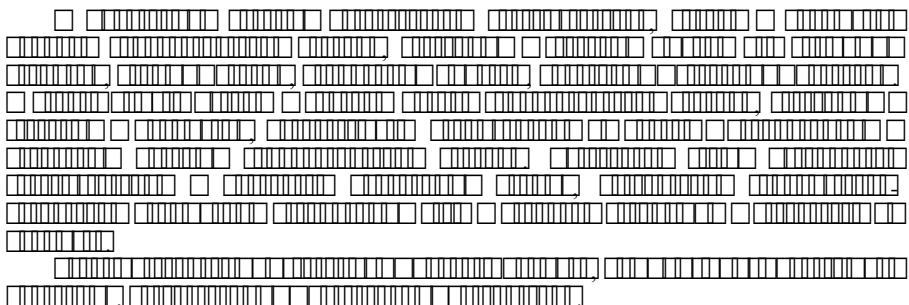
შრომა განკუთვნილია ყველა პროფილის გეოგრაფებისათვის, იგი გამოადგებათ საპროექტო, სამეურნეო და ოპერატორულ ორგანიზაციებს.

S u m m a r y

Monograph presents systematization, analysis and generalization of the nature of hydrological phenomena related to blockages of river gorges with avalanches, river ices, glacial drifts, landslides and rock avalanches. Assessment methods and techniques of hydrological phenomena related to blockages and breakthroughs are given and floods and flows fighting recommendations are offered. Methodology on systematization and treatment of the obtained data, organization of hydrometeorological observations of flood lakes and flows formed as a result of their breakthroughs is compiled.

Monograph is intended for geographers of wide profile, it will be interesting for design, planning, economic and operation organizations.

А Н Н О Т А Ц И Я



სარჩევი

		9
1.	მდინარეთა ხეობების ჩამონაცვლის და გარეგნების თავისებულებები და მათი გამრცელების პირობების ზოგადი დახასიათება	15
1.1.	საქართველოს ბუნებრივი პირობების ზოგადი დახასიათება	15
1.2.	კლდეზვავების, მეწყერების და მყინვარული გამონატანის გავრცელების თავისებულებები და კატეგორიები	19
1.3.	მდინარეთა ხეობების ჩახერგილი უბნების წარმოშობა და მათი კატეგორიები	25
1.4.	დაგუბებული ტბების გავლენა სეისმურ პროცესებზე	28
1.4.1.	სეისმურ რეჟიმზე წყალსატევების გავლენის თავისებულებები	29
1.4.2.	1989 წლის ზოგიერთი ჰიდრომეტეოროლოგიური პროცესების ანომალური ხასიათი და მასთან დაკავშირებული მოვლენების თავისებულებები	32
2.	ნაზღლევი წყალდიდობები და წყალმოვარდნები საქართველოში	42
2.1.	ნაზღლევი წყალდიდობის და წყალმოვარდნების შესწავლის საერთო ცნობები	42
2.2.	მყინვარული ნაზღლევი წყალმოვარდნა	43
2.2.1.	მყინვარების წინწამოსვლის პროცესებთან დაკავშირებული დაგუბებული ტბები	44
2.2.2.	მყინვარების უკანდახევასთან დაკავშირებული დაგუბებული ტბები	47
2.2.3.	თოვლის ზვავებით გამოწვეული წყალმოვარდნები	54
2.2.4.	მდინარეული ყინულოვანი მოვლენებით გამოწვეული წყალდიდობები და წყალმოვარდნები	56
2.3.	კლდე-ზვავებისა და მეწყერების მოვლენებთან დაკავშირებული წყალდიდობები და წყალმოვარდნები	61
2.4.	შავი ზღვის სანაპირო ზონის ტრანზიტული მდინარეების კატასტროფული წყალმოვარდნების დატორვასთან დაკავშირებული ნაზღლევი წყალმოვარდნა	64
2.5.	ანთოპოგნური ფაქტორების გავრცელების ზონაში ნაზღლევი წყალდიდობები და წყალმოვარდნები	68

3.	ხეობების ჩახრგვების და მათ გარღვევების დაპატიჰებული მოვლენების პილოლობიური დახასიათება	75
3.1.	ხეობის ჩახერგვების პროცესების გავლენა მდინარეებისა და მყინვარების რეჟიმზე	75
3.2.	დაგუბებული ტბების ხანგრძლივობის თავისებურებანი	76
3.3.	დაგუბებული ტბების დაცლის თავისებურებანი	78
3.4.	დაგუბებული ტბების გარღვევასთან დაკავშირებული წყალმოვრდნების წყლის მაქსიმალური ხარჯები	79
3.5.	დაგუბებული ტბების გარღვევასთან დაკავშირებული წყალმოვარდნების გავლენა მდინარეების წყლის რეჟიმზე	83
4.	მდინარის ხეობების ჩახრგვასთან დაპატიჰებული პილოლობიური მოვლენების შეფასების მათობა	88
4.1.	დაგუბებული ტბების პარამეტრების განსაზღვრა	88
4.2.	დაგუბებულ უბნებზე წყალსატევის შევსების ხანგრძლივობის პროგნოზი	91
4.2.1.	წყალსატევის შევსების ხანგრძლივობის პროგნოზი მიმდინარე პიდროლოგიური პროცესების გათვალისწინებით	91
4.2.2.	წყალსატევის შევსების ხანგრძლივობის პროგნოზი წყლის მაქსიმალური ხარჯის 1%-იანი უზრუნველყოფისათვის ($Q_1\%$)	93
4.3.	დაგუბებული ტბების გარღვევასთან დაკავშირებული ნაზღვლევი წყალმოვარდნის პარამეტრების განსაზღვრა (პროგნოზი)	96
4.3.1.	დაგუბებული ტბების გარღვევასთან დაკავშირებული წყალმოვარდნის წყლის მაქსიმალური დონის გამოთვლა კაშხალის გარღვევის ადგილას	96
4.3.2.	დაგუბებული ტბის გარღვევასთან დაკავშირებული ნაზღვლევი წყალმოვარდნის წყლის მაქსიმალური ხარჯის გამოთვლა კაშხალის გარღვევის ადგილას	97
4.4.	წყალმოვარდნის პიდროგრაფის პარამეტრების თავისებურებანი ჩახერგილ კაშხლის გარღვევის ადგილას და მათი გამოყენების შედეგები	98
4.5.	ჩახერგილი კაშხლის გარღვევის ადგილას მის მთლიან	103

გარდვევასთან	დაკავშირებული	წყალმოვარდნის
ჰიდროგრაფის გაანგარიშება		
4.6. მდინარის ხეობის ჩახერგილი კაშხლის მდგრადობის შეფასება		107
4.7. დაგუბებული ტბების გარდვევასთან დაკავშირებული წყალმოვარდნის წყლის მაქსიმალური დონეებისა და ხარჯების განსაზღვრა მდინარის ტრანზიტულ უბანზე		109
4.8. დაგუბებული ტბების გარდვევასთან დაკავშირებული წყალმოვარდნების წყლის მაქსიმალური დონეეთა და ხარჯთა გამოსათვლელი (საპროგნოზო) ფორმულები		118
4.9. ნაზღვლევი წყალმოვარდნების წყლის მაქსიმალური ხარჯების გამოსათვლელი ფორმულების საწარმოო შემოწმების შედეგები		119
4.9.1. მდ. გენალდონი		119
4.9.2. მდ. რანგუ (ყაზახეთი)		119
4.9.3. მდ. ალაზანი		120
4.9.4. დარიალის კატასტროფა		123
4.9.5. მდ. ახტიათი		126
4.9.6. მდ. დიულტიათი		126
4.9.7. მდ. არაქსი		127
4.9.8. მდ.თერგი		128
4.9.9. მყინვარ ბაშკარას ტბები (ჩრდილოეთი კავკასია)		129
5. ნაზღვლები წყალდიდობაგისა და წყალმოვარდების ზინააღმდეგ პრძოლის რეკომენდაციები		
		132
5.1. ნაზღვლევი წყალდიდობებისა და წყალმოვარდნების წინააღმდეგ ბრძოლის მეთოდების საერთო დახასიათება		132
5.2. პროგნოზების მეთოდოლოგიის ზოგიერთი საკითხები ნივალურ ზონაში		132
5.3. ოპერატორული შტაბის საქმიანობის შედეგები		135
5.4. მსოფლიო პრაქტიკის არსენალიდან ბრძოლის ზოგიერთი მეთოდების გამოყენების შედეგები		136
5.5. სპეციალური დაკვირვებები და გეოდეზიური აგეგმვა		138
5.6. რეკომენდაციები დაგუბებული ტბების გარდვევასთან და კავშირებული ნაზღვლევი წყალდიდობებისა და წყალმოვარდნების თავიდან აცილების შესახებ		141
ლიტერატურა		146

შესავალი

XX საუკუნის ბოლო და XXI საუკუნის დასაწყისი წლებში, მეცნიერულ-ტექნიკური რევოლუციის ეპოქაში გახშირდა კატასტროფული სტიქიური მოვლენები. მათ ადგილი აქვთ დედამიწის მთელ რიგ რაიონებში, ამიტომ წარმოადგენენ გლობალური ხასიათის საშიშ მოვლენებს. ისინი დიდ ზარალს აყენებენ მსოფლიოს კონომიკას და ეს ზარალი ყოველწლიურად შეადგენს 30 მილიარდ დოლარს. მაგალითად, სომხეთის რესპუბლიკას 1988 წლის 7 დეკემბრის საიტაკის 9-10 - ბალიანი სიმძლავრის მიწისძვრამ რამდენიმე წამში 8,5 მილიარდი დოლარის ზარალი მიაყენა ქვეყანას. მაგრამ ამით არ დამთავრებულა მისი მოქმედების საზღვარი. მიწისძვრის 4-5 - ბალიანი სიმძლავრის ტალღებმა საქართველოს ტერიტორიის მრავალ ადგილას გამოიწვია მთის ფერდობების დეფორმაცია, რომლის მდგრადობა დაირღვა, მომდევნო წელს დიდი რაოდენობით ზედაპირული წყლით გაჟღენთვის გამო, თოვლის საფარის ინტენსიური დნობისა და თავსებმა წვიმების შედეგად. მაგალითად, მდ. რიონის დები-ონის მონაკვეთზე მიყენებულმა ზარალმა მიაღწია 17 მილიონ დოლარს, ონი-ამბროლაურის მონაკვეთზე - 2 მილიონ დოლარს; მაგრამ კველა მოლოდინს გადააჭარბა რაჭა-ლეჩხეუმის მიწისძვრამ (1991 წ. 29 აპრილის 13 სთ. 13წთ.), რომელმაც სულ რაღაც 20-25 წმ-ში 3 მილიარდი დოლარის ზარალი მიაყენა რესპუბლიკას - 5,5-6-ჯერ მეტი, კიდრე 1987 წლის ანომალიური სტიქიური პიდრომეტეოროლოგიური მოვლენების დროს. ყოველივე ეს ხდება დღევანდველ, მეცნიერულ-ტექნიკური რევოლუციის ეპოქაში; საჭირო გახდა ურთიერთ ინფორმაცია სტიქიური კატასტროფული მოვლენების შესწავლის, წინასწარმეტყველებისა და დაცვის მეცნიერული საფუძვლების შემუშავების შესახებ. გლობალური მასშტაბის პრობლემა გახდა 1990-2000 წლებში საერთაშორისო აოწლეულის ჩატარების საფუძველი.

საქართველოს პიდრომეტეოროლოგის ინსტიტუტი აქტიურად ჩაება სტიქიური უბედურებების პიდროლოგიური ბუნების შესწავლის საქმეში, რომელიც დღემდე საქართველოს და, საერთოდ, კავკასიისათვის შეუსწავლელი რჩებოდა და, ამის გამო, არ იყო შემუშავებული სტიქიურ უბედურებებთან დაკავშირებული პიდროლოგიური მოვლენების შეფასების,

წინასწარმეტყველების მეთოდები და ხერხები, მათი საშიშროების თავიდან აცილების რეკომენდაციები. საქმის ასეთი ვითარება შეიცვალა, როცა საქართველოს მეცნიერებათა აკადემიის 1991 წლის 2 მაისის სპეციალურ გაფართოებულ სხდომაზე მიღებულ იქნა დადგენილება “საქართველოს მიწისძვრების მიზეზების შესწავლისა და კატასტროფის შედეგების ლიკვიდაციის ღონისძიებების შესახებ”, სადაც ერთ-ერთ პუნქტად იყო აღნიშნული ნაზღვლევი წყალმოვარდნის წინააღმდეგ ბრძოლის კონცეფციის შემუშავება.

შემდგომში წყალდიდობებისა და წყალმოვარდნების კატასტროფული ხასიათის გახშირებასთან და გაძლიერებასთან დაკავშირებით გამახვილდა ყურადღება მათი შესწავლის შესახებ. ამ მხრივ მნიშვნელოვანია 2008 წლის ორი საერთაშორისო კონფერენცია; პირველი (18-19 ნოემბერი) მიძღვნილი დედამიწის საერთაშორისო წლისადმი, ეხებოდა სტიქურ კატასტროფებს სამხრეთ კავკასიაში; მეორე (10-15 დეკემბერი) კი ბუნებრივი კატასტროფების საფრთხეებსა და ქვეყნის მზად ტოფნას მათი თავიდან აცილებისათვის. ეს გზები დაიწყო ჯერ კიდევ 1953 წლიდან. მას შემდეგ დღემდე საქართველოს პიდრომეტეოროლოგიის ინსტიტუტსა და საქართველოს სახელმწიფო პიდრომეტეოროლოგიის დეპარტამენტთან ერთად მოეწყო სპეციალური გაერთიანებული ექსპედიციები ვ. ცომაიას ხელმძღვანელობით. შეგროვილი მასალებისა და ლიტერატურული წყაროების განზოგადებისა და ანალიზის საფუძველზე შედგენილ იქნა წინამდებარე მონოგრაფია გ. გაჩეჩილაძის (თავი 1 და 5), ვ. ცომაიას (თავი 1-5), ს. გორგიჯანიძის (თავი 2- 3) და მ. ფხაკაძის (თავი 4) ავტორობით. მონოგრაფია გარკვეულ სარგებლობას მოუტანს დაინტერესებულ ორგანიზაციებს მდინარეთა ხეობების ჩახერგვებსა და გარღვევებთან დაკავშირებული საშიში პიდროლოგიური მოვლენების თავიდან აცილებისათვის ბრძოლაში. მაგრამ წინამდებარე შრომა უნაკლო არ იქნება. ავტორები დიდი სიამოვნებით მივიღებთ სამართლიან შენიშვნებს და გავითვალისწინებთ მათ შემდგომი შემუშავებისათვის.

დიდი მადლიერებით აღვნიშნავთ პიდრომეტეოროლოგიის ინსტიტუტის თანამშრომლებისა და ასპირანტების: ლ.

ხარბედიას, ო. ნატროშვილის, მ. ჯაფარიძის, რ. მესხიას, გ. ფიფიას, ო. ცინცაძეს ასევე საქართველოს სახელმწიფო პიდრომეტეოროლოგიის დეპარტამენტის თანამშრომლების: მ. ძაბაძიას, გ.კობერიძის, ლ.სხირტლაძის, მ. სადღობელაშვილისა და ს. დოხნაძის მონაწილეობას ექსპედიციებში, საჭირო მასალების შეგროვება-დამუშავებაში.

Preface

The high-frequency of catastrophic hazards was recorded in the last decades of the 20th century in the epoch of scientific-technical revolution. They occurred overall in the world and therefore these hazards have global character. They cause great damage to the world economy and this damage annually makes GEL 30 mlrd. For example, the Spitak destructive earthquake ($M=9-10$) occurred on 7 December, 1988, in Armenia led to GEL 8.5 mlrd damage in several seconds. However the process of its action was not finished by this. The waves of earthquake $M=4-5$ caused deformation of mountain slopes which stability was broken owing to the saturation with surface water as a result of intensive melting of snow cover and downpours in many regions of Georgia's territory. For example, at the section Ghebi-Oni of the river Rioni the damage reached GEL 17 million, at the section Oni-Ambrolauri – GEL 2 million. However, the Racha – Lechkhumi earthquake occurred on 29 April, 1991, at 13 h by local time, which in some 20-25 seconds brought the Republic GEL 3 mlrd damage, i.e. in 5.5-6 times more than during anomalous natural hydrometeorologic events of 1987, surpassed all expectations.

All these phenomena happen in the epoch of scientific-technical revolution: it becomes an urgent task to exchange information and develop scientific foundations in study of natural catastrophic hazards, forecasting and protection. The global scale of the problem gave the beginning to conduct the International Decade in 1990-2000.

The Institute of Hydrometeorology of the Georgian National Academy of Sciences is actively involved in the research of hydrological nature of hazards which has been unexplored in Georgia and entire Caucasus so far and due to this fact there were not developed assessment and forecasting methods and techniques, recommendations to avoid hazards. The situation has been cardinally changed when there was adopted a resolution "On study of the reasons of the earthquakes in Georgia and measures on catastrophes elimination" at the enlarged meeting of the Georgian National Academy of Sciences held on 2 May 1991. One of the main issues was to develop floods fighting concept.

From 1991 to 1992 there were arranged special expeditions of the Institute of Hydrometeorology of the Georgian Academy of Sciences jointly with Georgian State Department of Hydrometeorology headed by V.Tsomaia. The present monograph is composed on the basis of the analysis and generalization of the collected material and literature sources

under the authorship of V.Tsomaia (Ch.1-5), T.Tsintsadze (Ch.5) and S.Gorgijanidze (Ch.3). However the present book might have some drawbacks. The authors will appreciate for critical reading of the monograph and take all remarks into consideration in further work.

Finally, we would like to thank the collaborators and post-graduates of the Institute of Hydrometeorology: L.Kharbedia, T.Natroshvili, M.Japaridze, R.Meskha, as well as collaborators from Georgian State Department of Hydrometeorology: M.Dzadzamia, G.Koberidze, L.Skhirtladze, M.Sadgobelashvili and S.Dokhnadze for participation in expedition and assistance in collecting and treatment of the necessary material.

Предисловие

20-
30
7 1988 9-10
8.5
4-5
17
– 2
29 1991 13.00
20-25 3
5.5
1987

1990-2000

2 1991 «», »

[REDACTED]

[REDACTED]

[REDACTED] 1991 [REDACTED] 1992 [REDACTED] [REDACTED]

[REDACTED]

[REDACTED]

[REDACTED]

[REDACTED]

[REDACTED], [REDACTED] ([REDACTED] 1-5), [REDACTED] ([REDACTED] 5) [REDACTED] [REDACTED] ([REDACTED] 3). [REDACTED]

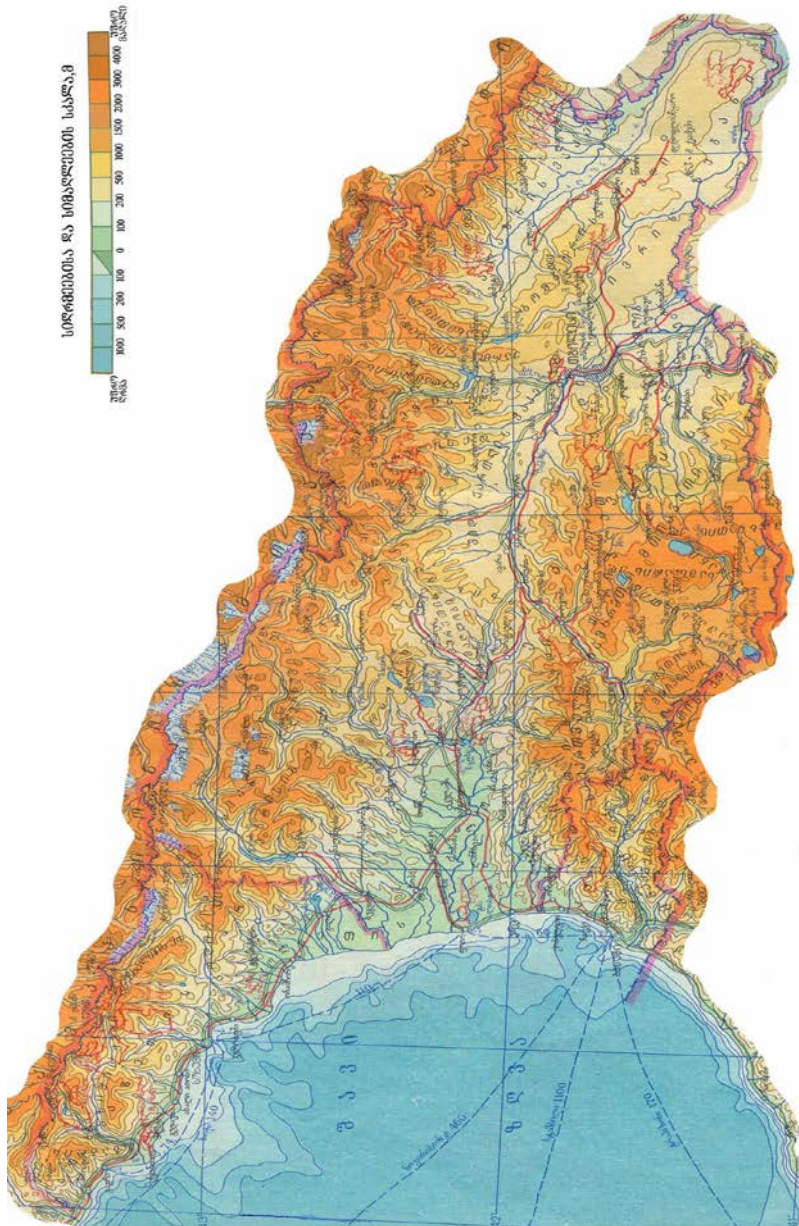
1. მდინარეთა ხეობების ჩახერგვისა და გარღვევის თავისებაშრობაზი და მათი გაგრცელების ძირითადი რაიონები

1.1. საქართველოს ბუნებრივი პირობების ზოგადი დახასიათება

საქართველოს ტერიტორია, რომელსაც უკავია 69700 კმ² ფართობი, ხასიათდება ურთულესი ბუნებრივი პირობებით. მისი მთელი ტერიტორიის 84% წარმოადგენს მთავორიან რელიეფს, რომელიც იწყება შავი ზღვის სანაპიროდან (აფხაზეთი, კოლხეთის დაბლობი, აჭარა) და მთავრდება კავკასიონის ქედისა და მისი ჩრდილოეთით მდებარე გვერდითი ქედის წყალგამყოფებამდე 4500-5047 მ (მყინვარწვერი) (ნახ. 1). მთელი ეს ტერიტორია შედგება სხვადასხვა მიმართულების უამრავი ქედისაგან (გაგრის, ბზიფის, აფხაზეთის კავკასიონის, კოდორის, სვანეთის, ეგრისის, რაჭის, ლეჩხუმის, სურამის, ქართლის, აჭარა-იმერეთის, შავშეთის, არსიანის, თრიალეთის, ჯავახეთის და სხვა), რომლებიც ხასიათდებიან ფერდობების დიდი დახრილობით (15-90%) და ძლიერ დანაწევრებით, ღრმად, 1000-1500 მ ჩაჭრილი ვიწრო ხეობებით, სადაც მიედინებიან მდინარეები ბზიფი, კოდორი, ენგური, ხობი, ცხენისწყალი, რიონი, დიდი და პატარა ლიახვი, არაგვი, იორი, ალაზანი, სუფსა, აჭარისწყალი, მტკვარი, ფოცხოვი, ფარავანი, ქცია-ხრამი და მრავალი მათი შენაკადი, რომელთა რაოდენობა 26000-ზე მეტია [13]. მთებს შორის მოქცეულია – სვანეთის, რაჭა-ლეჩხუმის, ახალციხის, ახალქალაქისა და სხვა ჩაკეტილი ღრმა ქვაბულები. მათ შორის, ბევრ პატარ-პატარა ქვაბულებში მოქცეულია სხვადასხვა ზომის 850 ტბა, 15-17 წყალსაცავი. [10,13,35,36].

საქართველოს მთელი ტერიტორია ხასიათდება ურთულესი გეოლოგიური აგებულებით – ვულკანური, კირქვების, მერგელების, ფიქლებისა და სხვა მრავლი ქანებით, გადაფარებული სხვადასხვა სისქისა და შემადგენლობის ნიადაგის საფარით. ურთულესია ჰიდრომეტეროლოგიური პირობებიც. ატმოსფერული ნალექების დიდი სიუხვით გამოირჩევა შავი ზღვის სანაპირო (1500-3800 მმ), რომელიც მც-

ნახ. 1. საქართველოს გეოგრაფიული რუკა



ირდება აღმოსავლეთის მიმართულებით 200-250 მმ-მდე (საქართველოს აღმოსავლეთ რაიონებში); ჰაერის მაღალი საშუალო წლიური ტემპერატურებით ($13-15^{\circ}\text{C}$) გამოირჩევა დაბალი რაიონები, აქედან კი წყალგამყოფებისაკენ მცირდება და 3600-3800 მ სიმაღლეზე შეადგენს -6 - -7°C ; ეს კი ხელს უწყობს გამყინვარებას, რომელსაც უკავია 511 კმ² [13,16,25] ფართობი, მდინარეების: ბზიფის, კოდორის, ენგურის, ცხენისწყლის, რიონის, ლიახვის, არაგვის, თერგის, ასას, შაროარღუნისა და პირიქითელი ალაზნის ზემო წელში. გამყინვარება შედგება 734 მყინვარისაგან, რომლებიც თავიანთი რეჟიმის რყევადობის გამო (დეგრადაცია, პულსაცია, აქტივობა) ქმნიან ურთულეს გლაციალურ გარემოს.

ჰაერის ტემპერატურის ზეგავლენით იცვლება ატმოსფერული ნალექების მოსვლის ხასიათი. მყარი ნალექების წილი იზრდება სიმაღლის ზრდასთან ერთად 3-5%-დან დაბალ რაიონებში, 90-100 %-მდე 4000 მ-ის სიმაღლეზე. მყარი ნალექები ქმნიან თოვლის საფარს, რომლის სისქე ცალკეულ დიდოვლიან წლებში (1902, 1911, 1924, 1934, 1964, 1970, 1975, 1987, 1989 წწ.) აღწევს 5-8 მეტრს. დიდი თოვლიანობა იწვევს თოვლის საფარის მდგრადობის დარღვევას და მისი გრავიტაციული პროცესების ზემოქმედებით წარმოიშობა თოვლის ზვავები (ნახ. 2).

საქართველო მთლიანად მოქცეულია ტექტონიკური აქტივობის ზონაში. ამას ადასტურებს ხშირი და ძლიერი მიწისძვრები: ქ. გორში (1920 წ), ტაბაწყურში (1940 წ), გუდამაყარში (1947 წ), გარე კახეთში (1950 წ), მთათუშეთში (1951 წ), სენაკში (1957 წ), აჩიგვარში (1969 წ), ბორჯომში (1970 წ), დმანისში (1978 წ) და სხვა. მათ შორის, 1991 წელს 16-17 დღის შეუალებით 29 აპრილს და 16 მაისს ერთიმეორესთან ახლომდებარე რაიონებში რაჭა-ლეჩხეუმსა და მდ. პატარა ლიახვის ხეობაში ვანათში განმეორდა 9 – ბალიანი სიძლიერის კატასტროფული მიწისძვრები. 1988 წლის სპიტაკის უძლიერესი (9-10 ბალი) მიწისძვრის 4-5 – ბალიანი ტალღების ზონაში მოქცა საქართველო მთლიანად, რომლის საშიშმა მოვლენებმა თავი იჩინა 1989 წელს.

საქართველოს ურთულესი ტექტონიკური და ტექტოგენური ფაქტორების ურთიერთმოქმედება წარმოშობს მთელ რიგ საშიშ მოვლენებს. მათთანაა დაკავშირებული

ეგრეთ წოდებული კლდე-ზვავების, მეწყრების, მყინვარული გამონატანის, თოვლის ზვავების, მდინარეების ყინულოვანი მოვლენების წარმოშობა, რომლებიც შემდგომში კიდევ უფრო ართულებენ გარემო პროცესებს. აქედან, კლდე-ზვავების, მეწყრებისა და მყინვარული გამონატანის წარმოშობის საფუძველი განსხვავდება თოვლის ზვავებისა და მდინარის ზამთრის მოვლენების წარმოშობის საფუძვლისაგან და ასევე განსხვავებულია მათი შედეგებიც.



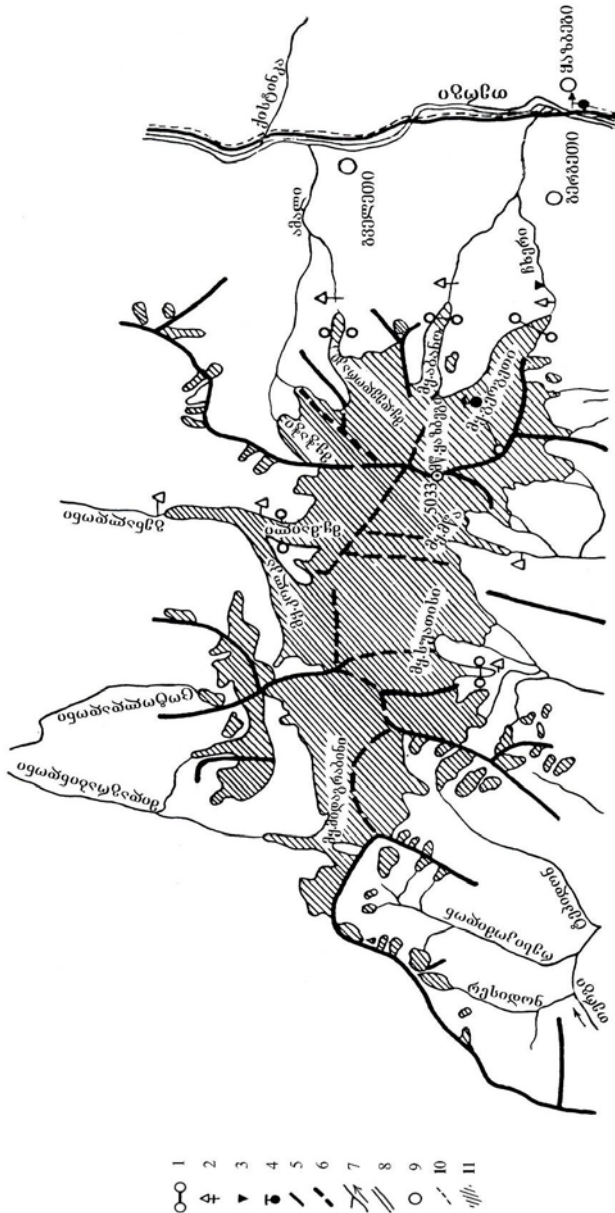
6ახ. 2. "შაიორშას" თოვლის ზეაზი, რომელმაც გადაკვეთა შარაბზა კულაბინის ხილის ხემოთ (1987წ.) (ჯვრის უღელტეხილთან ახლოს)

12. კლიუ-ზვავების, მეჭქრების და მყინვარული გამონატანის გაზრცელების თავისებურებანი და პატებორიები

კლიუ-ზვავების, მეჭქრების და მყინვარული გამონატანის გავრცელების შესახებ მრავალი ლიტერატურა არსებობს. ამასთან, 1989, 1992, 2000-2008 წლებში შეგროვილი მასალები კიდევ უფრო ამდიდრებენ ინფორმაციას მათი გავრცელების შესახებ; მათი განზოგადება საშუალებას გაძლიერს აღვნიშნოთ, რომ კლიუ-ზვავების, მეჭქრების და მყინვარული გამონატანის გავრცელების ხასიათი ძლიერ ცვალებადია ტერიტორიისა და დროის მიხედვით. მათ ვხვდებით თითქმის ყველან, დაწყებული შავი ზღვის სანაპიროდან, დამთავრებული კავკასიონისა და გვერდითი მთავარი ქედების 4048 მეტრის სიმაღლემდე (მთა ბაგნი, მყინვარ აბანოს მარცხენა ყინულგამყოფზე) [4,5,21,47]. ამას ხელს უწყობს მთაგორიანი რელიეფი. განსაკუთრებით ძლიერი გავრცელებით გამოიჩინიან მდინარეების ვიწროდ და ღრმად ჩაჭრილი ციცაბო (45-90⁰) ფერდობიანი კანიონისებური ხეობები, მდინარეების ერთზოული მოქმედებით, როგორიცაა მდ. მტკვარი და ფარავანი ჯავახეთში, მდ. ცხენისწყალი ლენტები-ცაგერის მონაკვეთზე, მდ. რიონი ღები-ონის მონაკვეთზე. ასევე დიდი სიძლიერით გამოირჩევიან გზებისათვის ჩაჭრილი ციცაბო (45-90⁰) ფერდობები. მაგალითად, თბილისი-ფოთის მთავარი მაგისტრალური საავტომობილო გზის საუდელტეხილო მონაკვეთი 685/788 კმ რიკოთის გვირაბის აღმოსავლეთით 738/695 კმ-დე (იმავე გვირაბის დასავლეთით). საერთოდ, მყინვარულ გამონატანს ვხვდებით კავკასიონის ქედის გამყინვარების ზონაში. მეწყერები გავრცელებულია შავი ზღვის სანაპიროზე, აფხაზეთსა (ახალი ათონი) და აჭარაში, ქვემო რაჭასა და ოკრიბაში, გომბორის ქედზე, მტკვრის ზემო წელის ხეობაში (სახელმწიფო საზღვრიდან ასპინძამდე), სამეგრელოს ცენტრალურ (ბორცვიან) ნაწილში, მესხეთში, სვანეთში, აჭარაში, გურიაში, ქართლის ზოგიერთ ნაწილში და სხვა. კლიუ-ზვავებს (ქვათა მეწყერები, მთათა ჩამონანგრევები) ვხვდებით საქართველოს მთელ რიგ რაიონებში; დიდი სიძლიერით გამოირჩევიან კანიონისებური ხეობები, ციცაბო

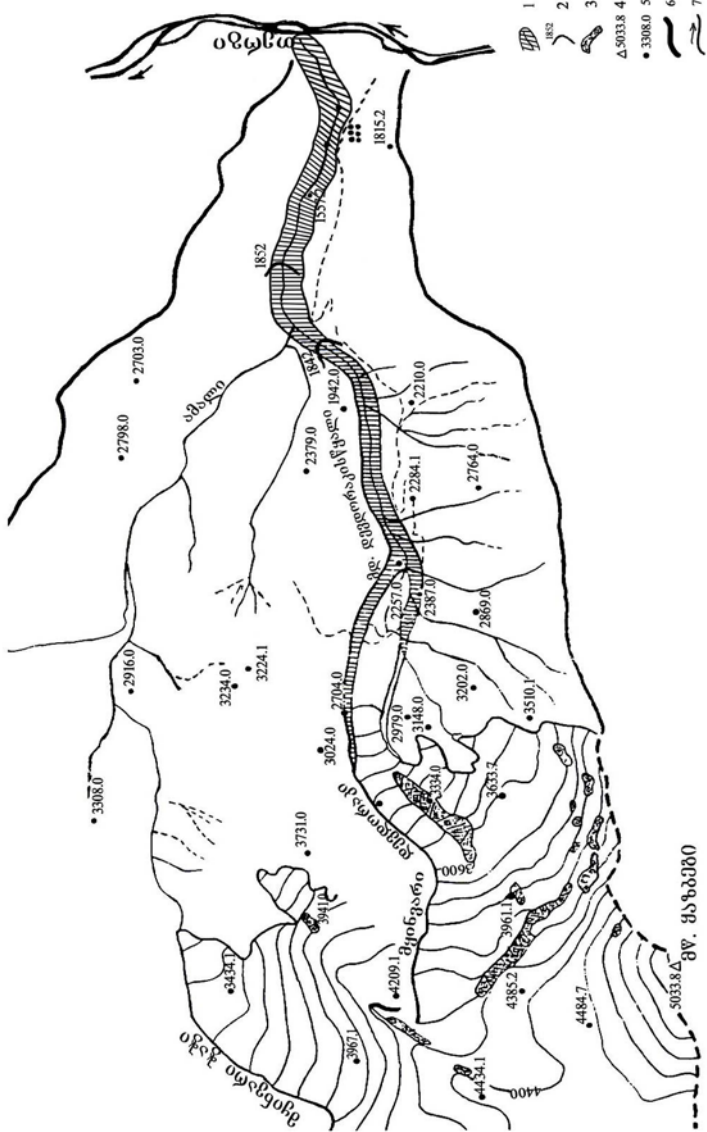
(45-90⁰) ფერდობები, მდინარეების ძლიერი ეროზიული მოქმედების ზონა და სხვა.

კლდე-ზვავების, მეწყრებისა და მყინვარული გამონატანის გავრცელებაში განასხვავებენ მუდმივად და სპორადულად მოქმედ კატეგორიებს. მუდმივად მოქმედ კატეგორიებს ეკუთვნის ის კლდე-ზვავები, მეწყრები ან მყინვარული გამონატანი, რომელთაც ადგილი პქონდათ 2-ჯერ და უფრო მეტად. ამ კატეგორიას ეკუთვნის მშფოთვარე მყინვარები. მის ტიპურ მაგალითს წარმოადგენს მყინვარი დევდორაკი (ყაზბეგის გამყინვარება); მართალია, ბოლო მშფოთვარებას ადგილი პქონდა 153 წ წინათ (1854 წ) და წინა 78 წ განმავლობაში 7-ჯერ გაიარა მშფოთვარების ციკლმა (1776, 1785, 1808, 1817, 1832, 1844 და 1854 წ), დევდორაკი მაინც რჩება მშფოთვარე მყინვარად (ნახ. 3). [5,13,16,21,25,32,35,36,37,47,48] იგი შეიძლება განმეორდეს მომავალშიც. მაგალითად, მყინვარმა კოლკამ თავისი მშფოთვარების პირველი ციკლი გაიარა 1902 წ [21], მეორე – 67 წ-ის შემდეგ, 1969 წ [13,25,39,47,50], მესამე 2002 წ [40] მყინვარმა მურკარმა (დაღესტანი) მშფოთვარების ციკლები გაიარა 1941 [25] და 1960 [25,47] წლებში. დღეისათვის ცნობილია არა მარტო ის, რომ ისინი მშფოთვარე მყინვარებს წარმოადგენენ, არამედ ცნობილი არიან მშფოთვარების შედეგად მყინვარული გამონატანის გავრცელების ხასიათით და საზღვარით. ისინი ვრცელდებიან ხეობების მიმართულებით 12 კმ (მყინვარი კოლკას გამონატანი 1902 წ) და მთელ ამ სიგრძეზე ხეობა ჩახერგილია მყინვარული გამონატანით [21,25,39]. მაგრამ არის მყინვარების გამონატანის იძულებითი გაჩერება, როგორც ამას ადგილი აქვს მყინვარ დევდორაკის მშფოთვარების დროს (ნახ. 4). აქ მხოლოდ 1844 და 1854 წ მყინვარის გამონატანით ჩახერგილი იყო მისგან გამომდინარე მდ. დევდორაკის ხეობა; [6,21,25,39,42,58] სხვა დანარჩენ წლებში მან ჩახერგა მდ. დევდორაკის ხეობის გაგრძელებაზე, მდ. ამალის ხეობაც და განიცადა იძულებითი შეჩერება მდ. თერგის ხეობაში, რომელიც თითქმის მართობულადაა მდ. დევდორაკისა და მის გაგრძელებაზე, მდ. ამალის ხეობის მიმართულებით. ასეთივე ხასიათი აქვს მყინვარ მურკარის გამონატანსაც (ნახ. 5); ამით ამოვსებულია თვით იმავე სახელ-წოდების მდინარის ხეობა მთელ მის სიგრძეზე, შემდეგ კი პე-



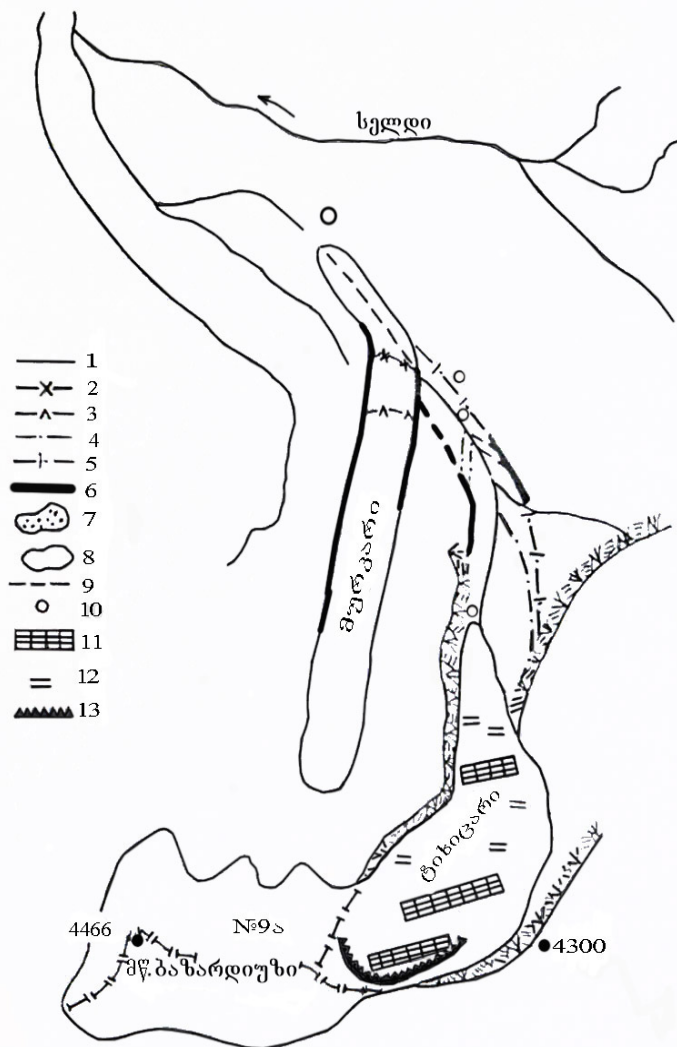
ნახ. 3. პრინციროვანი ბაშტინგარების განვითარების სამიზნების სექტორი

1- დაწყირებული პრიორიტეტის სიტუაციის სექტორი; 2- დაგენერაციული სექტორი; 3- მდგრადი ტერიტორიული ტერიტორია; 4- მტბისა და გერი ყაზბეგი; 5- წელის გერი; 6- ჰეივარდის ტერიტორია; 7- მდონარქი; 8- მდ. მარტვილი; 9- საკონტრინილო ჭავ; 10- დასახლებულებული ჭავ; 11- ტერიტორიის საფარი.



ჩა. 4. მთინიან დაცვითი აღმოჩენების (მთინიან დაცვითი აღმოჩენების სამინისტროს) კატალოგის მიხედვის სიმბოლოები. სიმბოლოების სიმბოლოები.

1 - ხედის ნახტვის უარი, მიწოდებული გამონტაჟი; 2 - კულასკოს უქმებელი მუნიციპალიტეტის 5 - მუნიციპალიტეტის და სამართლებრივი ავტონომიური მუნიციპალიტეტის სტატუსი; 3 - კულერავა; 4 - მუნიციპალიტეტის სტატუსი; 5 - მუნიციპალიტეტის სტატუსი; 6 - საკულტურული ძეგლები; 7 - მდინარეები.



ნახ. 5. გაზარდიუშის ჩრდილოეთ ფერდობის მყინვარები (დაღსტანი)
 1-მყინვარების საზღვარი 1968 წ., 2-მყინვარ მურკარის საზღვარი 1901 წ., 3-
 მყინვარ მურკარის საზღვარი 1936 წ., 4-დაბალი მორენული სერები, 5-ჯდომის
 ტერისები, 6-გერდითი მორენები, 7-მყინვარი დაფარული მირენებით, 8-
 მყინვარების სუფთა ზედაპირი, 9-ყინულუჭვება მდინარე, 10-ნიშულები, 11-
 ფირნიანები, 12-ყინულნაპრალი, 13-ბერგშრუნდი.

რპენდიკულარულად მდებარე მდ. სელდის ხეობაში განიცადა იძულებითი შეჩერება.

მუდმივმოქმედ კატეგორიას ეკუთვნის ღრმად და ვიწროდ ჩაჭრილ ციცაბო ($45\text{--}90^{\circ}$) ფერდობიან ხეობებში კლდე-ზვავები და მეწყრები, რომელთა შორის თავისი გრანიტულობით გამოირჩევიან მდინარეების მტკვრისა (ბერთა ყანებისა და ვარძის კლდე-ზვავები) და ფარავნის კანიონისებური ხეობების კლდე-ზვავები ჯავახეთში. მოქმედ კატეგორიას ეკუთვნის აგრეთვე გზებისათვის ხელოვნურად ჩაჭრილი ციცაბო ($45\text{--}90^{\circ}$) ფერდობების კლდე-ზვავები და მეწყრები. ასეთებია თბილისი-ფოთის მთავარი მაგისტრალური საავტომობილო, საუ-დელტებილო გზის მონაკვეთი 685/788-738/695 კმ-ს შორის, თბილისი-ყაზბეგის გზის მე-80 კმ და სხვა. განსაკუთრებით უნდა აღინიშნოს, რომ 1989-2006 წწ კლდე-ზვავებისა და მეწყრების ახალი კერები გაჩნდა, მაგალითად, ეკის მთის ძირას, ქ. სენაკში, მამულიას ქუჩის ზედა დასახლების მცოცავი მეწყერი, მდ. რიონის მარცხენა ფერდობზე, ლები-ონის მონაკვეთზე, შავი ზღვის სანაპირო სოფ. კვარიათი-სარფის გზის მე-40 კმ-ზე (1992 წ 25 ოქტემბერი), აჭარაში და სხვა. რაც მიგვანიშნებს იმაზე, რომ ასეთი ახალი კერები მომავალშიც გაჩნდებიან, რადგან საქართველოს მთავრიანი ტერიტორია პოტენციურად კლდე-ზვავების, მეწყრებისა და მყინვარული გამონატანის საშიშ ზონას წარმოადგენს.

1.3. მდინარეთა ხეობების ჩახმატილი უპესების ფარმაზოგა და მათი პატვებორივები

კლდე-ზვავების, მეწყრების, მყინვარული გამონატანის, თოვლის ზვავებისა და მდინარის ყინულების წარმოშობის შემდეგ იწყება მათი მოძრაობა. მოძრაობის შედეგად ისინი ჩამოდიან ხეობის ძირამდე. ავიწროებენ მდინარეებს, აჩქენ ჭორომებს, ჭაობებს, ზოგან კი გადაკეტავენ მათ და წარმოშობებს, ეგრეთ წოდებულ, ჩახერგილ უბნებს.

მდინარეთა ხეობების ჩახერგილი უბნები ხასიათდებიან სხვადასხვა მორფომეტრიული პარამეტრებით. განსაკუთრებით გამოირჩევიან კლდე-ზვავებით, მეწყრებითა და მყინვარული გამონატანით ჩახერგილი უბნები. მათი სიგრძე აღწევს: 4,5 კმ (1969წ) - 12 კმ-ს (1902 და 2002წ) მდ. გენალდონის ხეობაში (13, ნახ. 6), 6,5-7 კმ (1776, 1785, 1808, 1817 და 1832 წწ) მდინარე დევდორაკისწყლისა და მის გაგრძელებაზე, მდ. ამალის ხეობაში (14, ნახ. 6), 2,5 კმ ხახიეთისწყლის ხეობაში (1991 წ 29 აპრილი) (11, ნახ. 6), 2 კმ მდ. თერგის ხეობაში სოფ. გველეთთან (15, ნახ. 6) (1832 წ 20 აგვისტო) და მდ. ჩხალთას ხეობაში, აწყარას მთის მახლობლად (1963 წ. 16 ივნისი) (7, ნახ. 6), 850 მ მდ. ფაწას ხეობაში (1991 წ. 29 აპრილი) (12, ნახ. 6), 450 მ მდ. სხალთას ხეობაში, სოფ. წაბლანაში (26, ნახ. 6) (1989 წ. 27 აპრილი), 300 მ მდ. კელასურის ხეობის მე-18 კმ-ზე შესართავიდან (1978 წ. 22 აპრილი) (6, ნახ. 6) და სხვა. ჩახერგილი მასა გამოირჩევა ასევე დიდი სისქით: 70-120 მ. მდ. გენალდონის ხეობაში (მყინვარ კოლკას გამონატანი ნახ. 7); 60-100 მ მდინარეების: დევდორაკისწყლის, ამალისა და თერგის (სოფ. გველეთთან) ხეობებში (მყინვარ დევდორაკის გამონატანი ნახ. 4); 30-40 მ სხვა დანარჩენი მდინარეების ხეობებში (კლდე-ზვავები და მეწყრები). უფრო მცირე მორფომეტრიული პარამეტრებით, 10-15 მ-მდე სისქით გამოირჩევიან თოვლის ზვავებით ჩახერგილი უბნები, კიდევ უფრო მცირე – (2-3 მ-მდე) მდინარეული ყინულებით ჩახერგილი უბნები.

საერთოდ, ჰიდროლოგიურ და გლაციოლოგიურ, ასევე გეოლოგიურ, გეომორფოლოგიურ, გეოფიზიკურ და გერაციულ მცირე მორფომეტრიული პარამეტრებით, მეწყრებით, მყინვარული გამონატანით, თოვლის ზვავებით ჩახერგილი უბნებით და მდინარეული

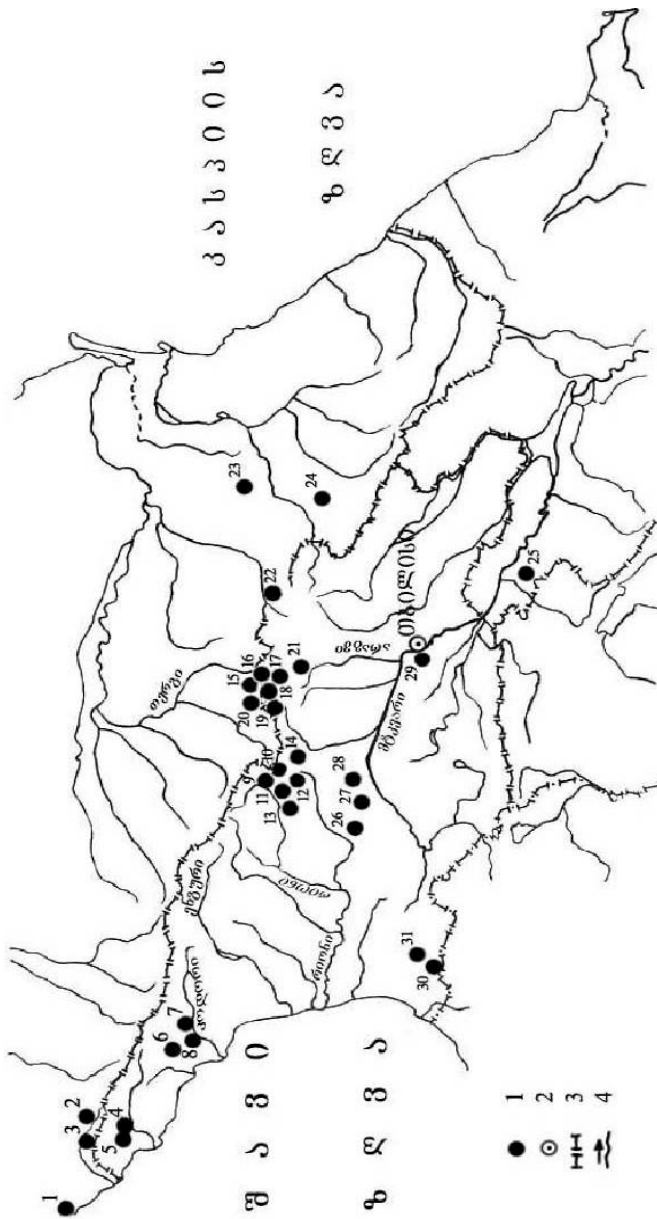
ყინულებით ჩახერგილი უბნების კატეგორიებად დაყოფის პრინციპი.

ზემოთ მოყვანილი ხერგილის სიგრძისა და სისქის მიხედვით საქართველოს პირობებისათვის გამოიყოფა მდინარის ხეობების ჩახერგილი უბნების შემდეგი კატეგორიები (ცხრ. 1).

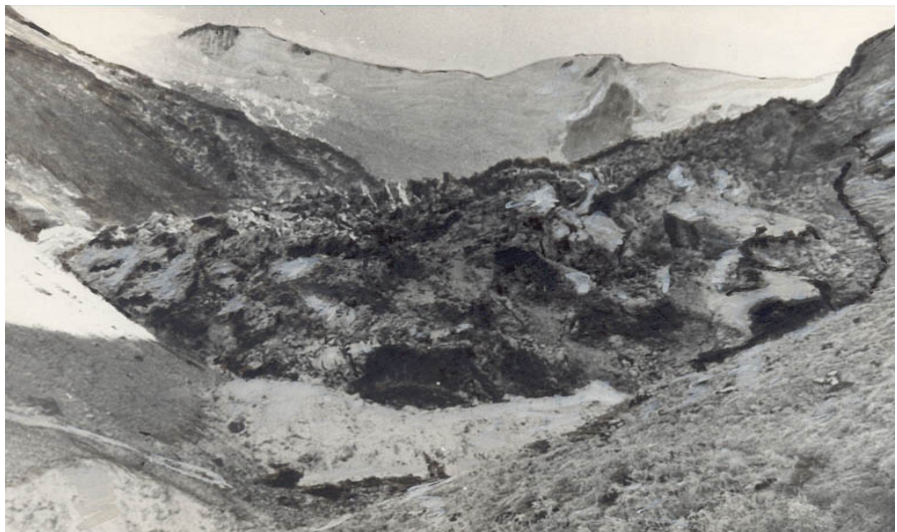
C ხრილი 1

მდინარეთა ხეობების ჩახერგილი უბნების პატარეობის სიმრავლისა და სისქის მიხედვით

მდინარეთა ხეობების ჩახერგილი უბნების კატეგორიები	სიგრძე, მმ	სისქი, მ	ჩახერგის მიზეზი და მისი წილი საერთო მასაში, %
1	2	3	4
მცირე	0.1–0.5	2–3	მდინარეული ყინულებით, (100%)
პატარა	0.4–0.7	5–10	თოვლის ზვავებით (100%)
საშუალო	0.8–1.5	10–25	თოვლის ზვავებით (15%), კლდე-ზაგებით, მეტყერებით, (85%)
დიდი	1.5–3.0	25–70	კლდე-ზვავებით, მეტყერებით (35%), მყინვარული გამონატანით (65%)
უდიდესი	4.0–12.0	80–100	მყინვარული გამონატანით (100%)



Բան. 6. Հարթակային վեց տարբերակներ գետական համակարգության վեց հատվածներում
1-ը առաջնային թիվը, 2-ը եղանակ, 3- հայտնի դաշտավայր, 4- պահանջման



ნახ. 7. მზინვარ კოლკას აულსაციის შედებად ზინ წამოსული ენა გურორტ ტმენიკაუს წყაროებთან. (წინა პლანზე მყინვარ კოლკას დარტყმის შედებად მოგლევილი მყინვარ მაილის ენის ნაწილი ოქთორ ფერში)

14. ღაგუგებული ტაების გავლენა სიისმურ პროცესებზე

მყინვარების პულსაციის დროს, როგორც ავღნიშნევთ, ადგილი ძეგს წყლის დაგუბებას, რომლის მასა ჩახერგილი მყინვარული გამონატანით აღწევს 100 მლნ.ტ, ამის გამო, მეტად საინტერესოა ამ გადატვირთვის გავლენის შედეგები. ცხადია, ეს შედეგები უნდა იყოს ისეთი, როგორიც არის წყალსაცავის შემთხვევაში.

14.1. სეისმურ რეზიმზე წყალსატევების გაცლენის თავისებურებანი

გეოლოგებისა და გეოფიზიკოსების ერთ-ერთ საერთაშორისო თაობირზე, რომელიც შედგა ქ. ბაქოში, 1991 წ ივნისში, აღნიშნული იყო, რომ რაც მეტია დაგროვილი ინფორმაციის მოცულობა, მით გაძნელებულია მიმდინარე პროცესების რეალური ასესნა. მაგრამ მეცნიერები მივიღენ იმ დასკვნამდე, რომ არსებობს მჭიდრო კავშირი მიწისძვრებსა და წყალსატევებს შორის. 1945-1991 წლების მიწისძვრას ადგილი პქონდა 70 წყალსაცავის რაიონში. აქედან, მიწისძვრების 11 შემთხვევა აღინიშნა 5 ბალზე მეტი სიმძლავრის. ექსპერიმენტი შაორის წყალსაცავის მაგალითზე, ამტკიცებს, რომ წყალსაცავის სრული აგსების გამო იზრდება მისი შემოგარენის სეისმური აქტივობა, მაგრამ, უნდა აღინიშნოს, რომ ბევრი წყალსაცავი არ ახდენს გავლენას მიწისძვრებზე [31]. ჩვენში ამის ტიპიურ მაგალითს წარმოადგენს ტყიბულის წყალსაცავი, რომელიც პირდაპირ ხაზზე სულ მცირე 12 კმ დაშორებული და თითქმის იმავე ზონაშია მოქცეული, სადაც შაორის წყალსაცავი; ასეთი ურთიერთ- საწინააღმდეგო მოსაზრება მოითხოვდა ანალიზის გაგრძელებას. დადგინდა, რომ მიწისძვრებსა და წყალსატევებს შორის არსებობს კავშირი მხოლოდ გარკვეულ გეოლოგიურ და პიდროლოგიურ პირობებში. კერძოდ, სეისმურობის გაძლიერებას ადგილი აქვს იმ წყალსაცავების რაიონებში, სადაც მათი სიღრმე აღემატება 100 მ. ამ კატეგორიას შეიძლება მივაკუთვნოთ 270 მ სიმაღლის კაშხლის მქონე ჯვრის წყალსაცავი მდ. ენგურზე. აქ პირველი სერიოზული ბიძები დაიწყო 1976 წ. აპრილ-მაისში. ეს იყო წყალსაცავის აგსების დაწყების პერიოდი. შემდგომში, როგორც კი იცვლებოდა წყალსაცავის წყლის დონე, ადგილი პქონდა 1,5-2 თვის მორიგეობით სუსტი მიწისძვრების სერიას. მეორე მხრივ, შაორის წყალსაცავის ავსების გამო მიწისძვრების აქტივობა გამოწვეულია კირკვებში არსებული ნაპრალოვანი და წყალსაცავიდან ფილტრაციული წყლების წნევის გაზრდით. რომლის მსგავსი პირობები ტყიბულის წყალსაცავის შემთხვევაში არ გვაქვს, მაშინ როდესაც ორივე წყალსაცავის ფართობი და წყლის მასა თითქმის ერთნაირია.

შემდგომმა ანალიზმა გვიჩვენა, რომ სეისმურობის გაძლიერებას უკავშირებენ წყალსაცავებში წყლის დონის

მკვეთრ დაცემას. ტიპურ მაგალითებად მოჰყავთ კასპიის ზღვა და სეგანის ტბა, სადაც ბოლო წლებში ადგილი პქნდა წყლის დონეების დაცემას, რასაც უკავშირებენ მიწისძვრის სიხშირესა და სიძლიერეს, რომლებსაც ადგილი პქნდა მახაჩკალისა და სპიტაკის რაიონებში; ამ კატეგორიათა ჯგუფს შეიძლება მივაკუთვნოთ 70 მ-ის სიღრმის ზონების წყალსაცავი მდინარე პატარა ლიახვზე, რომელიც 1991 წ. 29 აპრილს მიწისძვრების დროს დაცლილი იყო და ხელი შეუწყო მიწისქვეშა ენერგიის განტვირთვას; საბერძნების კრემასტას წყალსაცავის მაგალითზე იმასაც აღნიშნავენ, რომ 1965 წ. ივნისიდან 1966 წ. თებერვლამდე, როცა წყალსაცავში წყლის დონე აღწევდა 120 მ, ხშირად ხდებოდა მიწისძვრები (8-9 ბალი) და მათი ეპიცენტრები თანდათან უახლოვდებოდნენ წყალსაცავს. ჩვენში ასეთ მაგალითად შეიძლება მოვიყვანოთ იგივე ზონების წყალსაცავი, რომელსაც 3 კმ-მდე მიუახლოვდა 8-9 ბალიანი მიწისძვრის ეპიცენტრი (1991 წ. 16 მაისი). იმავე წლის 29 აპრილის მიწისძვრის ეპიცენტრთან შედარებით, ის დაშორებული იყო 25-30 კმ-ით. ასე რომ, წყლის ობიექტის (წყალსაცავი, ზღვა, ტბა) მიწისძვრის ურთიერთკავშირის საფუძველზე გამოთქმულ იქნა დებულებები იმის შესახებ, რომ სეისმური აქტივობა ძლიერდება, როდესაც წყალსაცავებში წყლის დონე აღემატება 100 მ, როდესაც ადგილი აქვს წყლის დონის სწრაფ დაცემას, როდესაც მეტია წყალსაცავის ფართობი. სეისმური აქტივობის გაძლიერება წყალსაცავების რაიონში გრძელდება რამდენიმე წლის მანძილზე, შემდეგ კი წყნარდება.

დასასრულ, შეგროვილი მასალების ანალიზის საფუძველზე შენიშნულ იქნა, რომ მიწისძვრების ეპიცენტრები ხშირად მდგებარეობენ რამდენიმე ასეული კმ დაშორებით წყალსაცავებიდან, ზღვებიდან, ტბებიდან, რომელიც 5-10-ჯერ აღემატება აღნიშნული წყლის ობიექტების სიდიდეს. ეს კი მიგვანიშნებს იმაზე, რომ წყლის ობიექტები (წყალსაცავი, ზღვა, ტბა) არ წარმოადგენს მიწისძვრის გააქტიურების ერთერთ ფაქტორს. აღნიშნავენ, რომ ამ საქმეში გარკვეული წვლილი მიუძღვის მიწისქვეშა ატომურ აფეთქებებს, საბადოების მოპოვებით წარმოებას და ომსაც კი. ყველა ამ შემთხვევაში აფეთქების სიდიდე განსაზღვრავს სეისმურ

აქტივობას, რაც უფრო მეტია აფეთქების მუხტი, მით მეტია ინიცირებული მიწისძვრების მოვლენათა რაოდენობა.

აღნიშნული და სხვა ტექნოგენური ფაქტორები ხშირად ერთად მოქმედებენ. ამ შემთხვევაში ძლიერდება და ჩქარდება მიწისძვრა. მის კლასიკურ მაგალითად ოვლიან 1976 წ მიწისძვრას გაზღვიში. იყო იყო სემიპალატინსკისა და გაზმოპოვებითი აფეთქების ურთიერთმოქმედების შედეგი [4]. მაშინ მეცნიერები მოითხოვდნენ – დამყარებული ყოფილიყო მათ წარმოებაზე უმკაცრესი კონტროლი, წინააღმდეგ შემთხვევაში მოსალოდნელი იყო ახლო მომავალში განმეორებულიყო კიდევ უფრო ძლიერი მიწისძვრა. მართლაც, არ გასულა 8 წელი და განმეორდა მიწისძვრა. მაშინ, როდესაც ბუნებრივ პირობებში მის განმეორებას დასჭირდებოდა არა ნაკლებ 10000 წელი [24]. მიწისძვრის ასეთი დაჩქარებისა და გაძლიერების ზონაშია კავკასია, შუა აზია, სადაც დღესაც არ ცხრება მიწისძვრები და მასთან დაკავშირებული სხვა მოვლენები. აღნიშნულიდან გამომდინარე წყალსაცავების მაგალითზე საშიში სიტუაცია იქმნება, როდესაც მათი სიღრმეები აღემატება 100 მ, ასევე როცა ადგილი აქვს წყლის დონეების მკვეთრ დაცემას, ან როდესაც ამგებელი ქანები ნაპრალოვანია, თუნდაც შრეებრივად არის განლაგებული; ასევე თუ ობიექტი დიდ ფართობს მოიცავს.

ასეთ პირობებს მოკლებულია მთის თანამედროვე გამყინვარება, რადგან საქართველოს მაგალითზე მყინვარების საშუალო სისქე ნაკლებია 50-60 მ. გამოთქმული იყო მოსაზრება, რომ 1832წ 13 აგვისტოს მყინვარ დევდორაკის (ნახ. 4, 17, ნახ. 6) უძლიერესი კატასტროფული პულსაცია დაკავშირებული იყო შემახის (აზარბაიჯანი) ძლიერ მიწისძვრასთან [25]. ასეთი შემთხვევები მყინვარების მაგალითზე ამჯამადაც მრავალია, როდესაც ნაზღვლევ წყალმოვარდნას ხელი შეუწყო მიწისძვრებმა. აქ უნდა აღინიშნოს, რომ აქ მათი სიძლიერე არ აღემატება 2-3 ბალს, მაგარამ ხელს უწყობს კლდეზვავების და მეწყერების მოქმედების განვითრებას. საერთოდ, რაც უფრო დიდია დედამიწის ზედაპირის აღგზნებული ტერიტორია, მით უფრო მეტად ვლინდება ძლიერი პიდრომეტეროლოგიური ანომალიები. ამის მაგალითს ჩვენში 1989 წ წარმოადგენს,

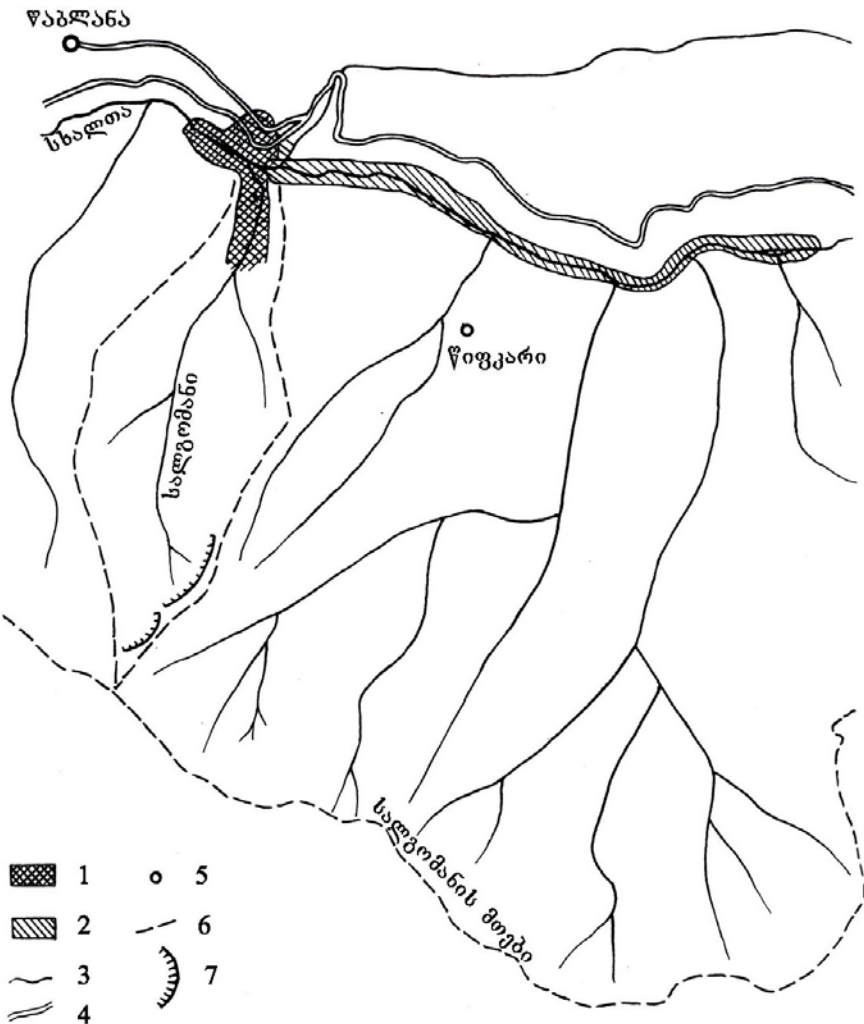
რომელიც მოჰყვა 1988 წ 7 დეკემბრის სპიტაკის ძლიერ კატასტროფულ მიწისძვრას.

1.4.2. 1989 წლის ზოგიერთი პიღობენტეოროლოგიური პროცესების ანოგალიური ხასიათი და მასთან დაკავშირებული მოვლენების თავისებურებანი

1989 წელი გამოირჩეოდა ურთულესი ექსტრემალური ანომალიური პროცესებით. პირველ ასეთ სიტუაციას ადგილი ჰქონდა მარტ-აპრილში, სამხრეთ საქართველოს დასავლეთ რაიონებში, მდინარე ყვირილას წყალშემკრები აუზის ჩათვლით. აქ, როგორც ამტკიცებენ გეოლოგები, გავრცელდა 1988 წ 7 დეკემბრის სპიტაკის ძლიერი მიწისძვრის ტალღები 4-5 ბალის სიძლიერით, ხოლო შემდეგში რამდენჯერმე ადგილი ჰქონდა სხვადასხვა სიძლიერის მიწისქვეშა ბიძგებს, რის შედეგადაც დაირღვა გრუნტი - ნიადაგის მდგრადობა ფერდობებზე. მრავალ ადგილას გაჩნდა ნაპრალები; მარტი-მაისის თვეები დიდი სისქის (3-6 მ) თოვლის საფარის ინტენსიური დონბის და კოკისპირული წვიმების შედეგად ნაპრალებში დაგროვდა თოვლისა და წვიმის წყლის დიდი რაოდენობა; ძლიერად გაუდენთილი წყლით გრუნტი-ნიადაგის საფარი ვერ ჩერდებოდა ფერდობზე, მას მოჰყვა ძლიერი და ხშირი მეწყრები, კლდე-ზვავები, რომლებმაც დიდი ზარალი მიაყენეს ქაუნის ეკონომიკას. 1989 წ 8-9 მარტს მეწყრები თოვლთან ერთად შეიქრენ ზესტაფონის რაიონის სოფლებში: ქვალეთში, მლეთაში, შროშაში, სანახშირეში, სვირში, ილეთში, არგვეთში, ქვედა საქარასა და ბასლევაში, ხარაგაულის რაიონის სოფლებში: კიცხში, წყალსურეთში, ვარძიაში, მაქათუბანში, ჩხერში, სადაც დაზიანდა 600-ზე მეტი საცხოვრებელი სახლი. ასობით ჰექტარი მიწა დაიფარა ჩამოტანილი ქვა-დორდით და უვარგისი გახდა იგი აგრონომიული წესით დამუშავებისათვის. შეწყდა მოძრაობა რკინიგზის ხარაგაული-მარელისი, ზესტაფონი-ჭიათურის მონაკვეთებზე; ყველაზე დიდი მეწყერი, რომელმაც მიიპყრო ყურადღება, იყო მდ. ცხენისწყლის მარცხენა ფერდობიდან 15 მარტს ჩამოსული მეწყერი, რომელმაც დააგუბა მდინარე. თბილისი-ფოთის მაგისტრალური საავტომობილო გზის 685/748-

738/695 კმ მონაკვეთზე, ფერდობის მხარეზე, ყოველ 100-200 მეტრზე ჩამოსული იყო მეწყრები, რომელთა მოწყვეტის საზღვარი საშუალოდ 3-5 მ მაღლა გადიოდა ადრინდელი მოწყვეტის საზღვართან შედარებით. ბევრი მათგანი, განსაკუთრებით პირველ 10-12 კმ, რიკოთის გვირაბის დასავლეთით წარმოადგენებს. ისინი შერჩენილი იყვნენ 1989 წ ივლისის ბოლომდე, მაშინ, როდესაც სხვა, მეზობლად მდებარე თოვლის ზვავების გამოზიდვის ქონუსები დნობისაგან გამქრალნი იყვნენ მაისის ბოლოს და ივნისის დასაწყისში.

ინტენსიური იყო მეწყერები აჭარაში; ყველაზე დიდი დაფიქსირდა მდ. სხალთას ხეობაში, ხულოს რაიონის სოფელ წაბლანაში (ნახ. 8). აქ, 1989 წ 19 აპრილს 19-20 საათზე მდ. სხალთას მარცხენა ფერდობზე სალგომანის მთას მოწყდა მეწყერი. მისი მოწყვეტის საზღვარი გადიოდა თითქმის მთის წყალგამყოფზე, 300-400 მ მანძილზე. მეწყერი ჩამოვიდა ორ ტალღად. პირველი ტალღის დროს მთლიანად იქნა დამარხული სოფელი წაბლანა, სადაც ცხოვრობდა 4 ოჯახი. ამასთან, მეწყერმა ჩახერგა მდ. სხალთას ხეობა. მას მოჰყვა მეორე ტალღა, რომლის დროს დაიღუპა მგზავრები, რომლებიც საშველად იყვნენ მოსულნი. მეორედ ჩამოსულმა მეწყერმა კიდევ გააძლიერა მდინარის ჩახერგიდი უბანი, დამარხა სააგვომობილო გზა, რომელიც მოპირდაპირე (მარჯვენა) ფერდობზე გადიოდა. ჩახერგიდი მასის საერთო მოცულობა შეადგენდა 1,3 მლნ. მ³, სიგანე კი მდ. სხალთას გასწვრივ — 450 მ, სისქე ჩახერგიდი კაშხლის თხემადე 45 მ. ჩახერგიდი კაშხლის ზემოთ მდ. სხალთა დაგუბდა და წარმოიშვა დაგუბებული ტბა, რომელსაც 1989 წ 21 აპრილის 17 საათისათვის ჰქონდა — სიგრძე 2,5 კმ, სიგანე საშუალოდ 75 მ, კაშხლთან - 110-120 მ, სიღრმე - 30 მ (კაშხლთან). მისი მოცულობა შეადგენდა 2,8-3,0 მლნ. მ³, მდ. სხალთას წყლის ხარჯის 20,0 მ³/წმ და წყლის ფილტრაციის 0,2-0,3 მ³/წმ-ის დროს.



ნახ. 8. მდ. სეალთას კლდე-ზვავებით ჩახერგილი უბანი და დაგუბებული ტბა სოჭ. უაბლანაში (1989 წლის 14 აპრილი). (1. ჩახერგილი უბანი; 2—დაგუბებული ტბა; 3—მდინარე; 4—გზა; 5—სოფელი; 6—ბილიკი; 7—კლდოვანი ნაპირები).

დაგუბებული ტბის გარღვევისა და მასთან დაკავშირებული კატასტროფული წყალმოვარდნის თავიდან აცილების მიზნით, ტბის შევსების დროიდან დაწყებულ იქნა არხის

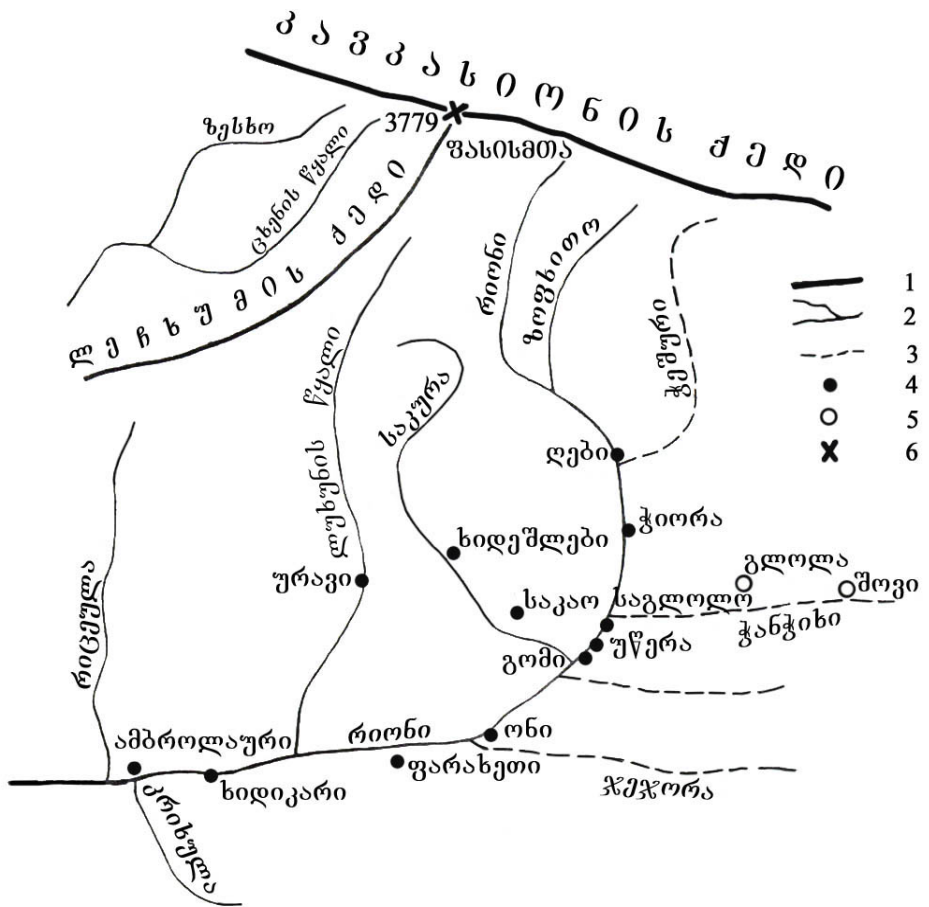
გაყვანა გამოზიდვის კონუსისა და მარჯვენა ფერდობის კონტაქტთან (ნახ. 9). არხით ძირს დაეჭვა დაგუბებული წყალი და ამით თავიდან იქნა აცილებული საშიში წყალმოვარდნა.



ნახ. 9. მდ. სხალთას კლდე-ზვავით ჩახმატილი უბანი და დაბუბნეული ტბა 1989^წ 14 IV (სოფ. წაბლანა).

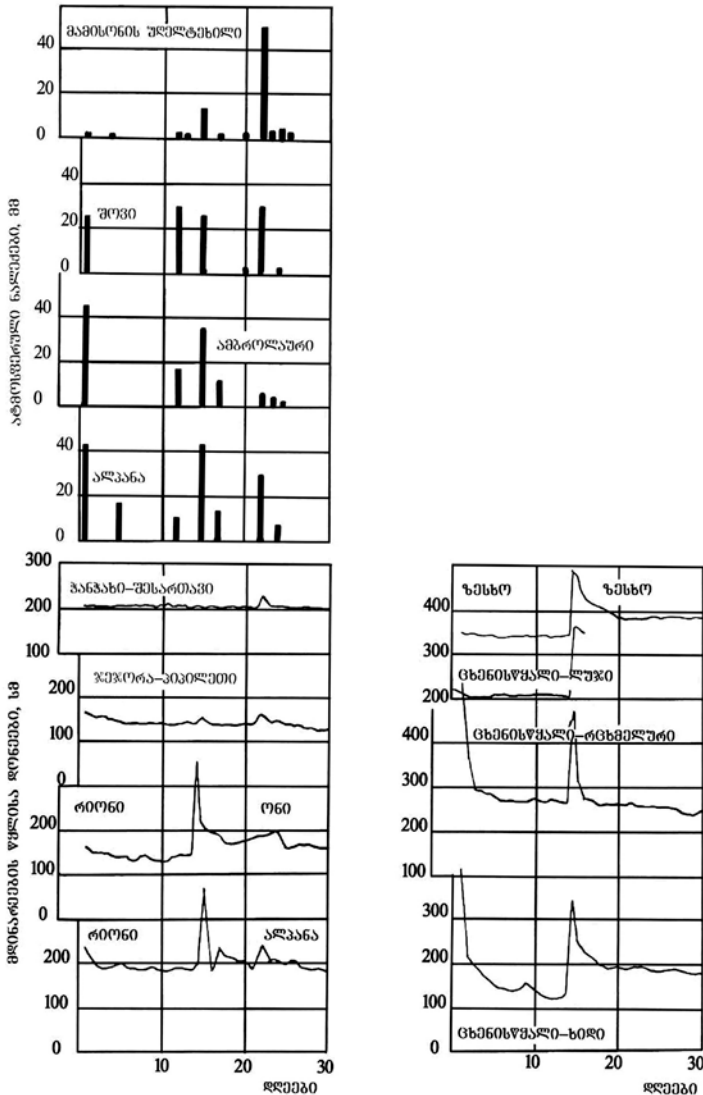
1989 წ 21 აპრილს მსგავსი მძლავრი მეწყერი ჩამოვიდა რიკოტულას გვირაბის აღმოსავლეთ პორტალიდან 400-500 მ ქვემოთ მდ. სურამეულას მარცხენა ფერდობიდან. მეწყერის მოწყვეტის საზღვარი გადიოდა 70-90 მ სიმაღლეზე, 80-100 მ სიგანით; მან დაფარა გზა 100-130 მ სიგრძით, 5-6 მ სისქით, რის შედეგად 2 დღით შეწყდა ტრანსპორტის მოძრაობა. უფრო სანგრძლივი პერიოდით დაიკეტა თბილისი-ყაზბეგის მაგისტრალური საავტომობილო გზა მე-80 კმ, სოფელ მლე-თასთან, მდ. თეთრი არაგის ხეობის მარცხენა ფერდობიდან 1989 წ 6 მაისს ჩამოსული მეწყერის გამო. ამ დღეს მეწყერის ჩამოსვლას ადგილი პქონდა ორჯერ, შემდეგ პერიოდულად გაგრძელდა იმავე წლის 20 მაისამდე. ამით დამთავრდა მეწყერების აქტივობის პირველი პერიოდი. მეორე პერიოდი განმეორდა შეა ზაფხულში, ამჯერად მდინარე რიონის

სათავეებში. იგი დაიწყო 12 აგვისტოს, დამით. მაშინ, დამის საათებში მოვიდა 12-30 მმ წვიმა, რომელიც მთლიანად ჩაიუონა ნიადაგში და მდინარეების წყლის რეერთი თითქმის არ ჟეუცვლია. ორი დღის შემდეგ, 15 აგვისტოს კვლავ განმეორდა წვიმა. 5-14 საათებში მოვიდა: 15 მმ მამისონის უღელტეხილზე (2854 მ), 25 მმ შოგში (1507 მ), 23 მმ ონში (788 მ), 35 მმ ამბ-როლაურში (544 მ) და 44 მმ ალპანაში (366 მ). მაგრამ უფრო ძლიერ თავსხმა წვიმებს, რომელსაც თან ახლდა ძლიერი სეტყვაც, ადგილი პქონდა მდინარე რიონის მარჯვენა მხარეს; მისი ცენტრი მდებარეობდა თვით მდ. რიონისა და მისი მარჯვენა შენაკადების მდ. საკაურასა და ლუხუმის წყლის სა-თავეების შესაყარში (ნახ. 10). მას მოჰყვა დიდი წყალმოვარდნა, რომლის მაქსიმალურმა დონემ და წყლის ხარჯმა გაიარეს 11-14 საათებში (ნახ. 11). წყლის დონემ 140-240 სმ გადააჭარბა წინა დღის წყლის დონეებს. იგი შეადგენდა 350 სმ (146 სმ) მდ. რიონი - ქ. ონთან და 375 სმ (202 სმ) მდ. რიონი - სოფ. ალპანასთან. (ფრჩხილებში ნაჩვენებია წყალმოვარდნამდე წინა დღის დონეები გრაფიკის ნულიდან). კიდევ უფრო მეტი იყო წყლის მაქსიმალური დონეები მდ. საკაურასა და ლუხუნისწყალზე, სადაც მათი მნიშვნელობები შეადგენდნენ 3-4 მ წინა დღის დონეებთან შედარებით. საერთო მატება დაბალ დონეებთან შედარებით შეადგენდა შესაბამისად 288 სმ და 255 სმ; ამასთან, ონში წყლის დონემ 40 სმ-ით გადააჭარბა მრავალწლიურ მა-ქსიმალურ დონეს, რომელსაც ადგილი პქონდა 1960 წ 6 ივ-ნისს. სოფ. ალპანასთან ეს დონე, პირიქით, 75 სმ-ით ნაკლები იყო 1922 წ 22 ოქტომბრის კატასტროფული წყალმოვარდნის წყლის მაქსიმალურ დონეზე. წყლის დონეების ასეთ უმცარ მატებას ადგილი არ პქონია მდ. რიონის მარცხენა შენაკადებზე (ჭანჭახი-შესართავისა და ჯეჯორა-სოფ. პიპილეთის მონაცემებით). აქ დონის მატება არ იყო 25-30 სმ-ზე მეტი, რაც კარგად ჩანს ნახ. 11-ზე წარმოდგენილი პიდროგრაფებიდან. თვით ამ თავსხმა წვიმების ცენტრის არეში მოექცა მდ. ცხენისწყლისა და მისი მარჯვენა შენაკადის მდ. ზესხოს სა-თავეები; აქაც, თავსხმა წვიმებს მოჰყვა წყალმოვარდნა, რომლის წყლის მაქსიმალურმა დონემ გადააჭარბა 148 სმ, ზესხო-სოფ. ზესხოსთან, 155, 202 და 205 სმ, შესაბამისად მდ.



ნახ. 10. მდ. რიონის ზემო ზელის კიდრობრავიული სტეპა 1989 წლის 15 აგვისტოს ტყაღმოგარდის ბაზრცელების საზღვრებში.

1-წყალგამყოფი ქედი; 2-მდინარეები, სადაც გათარა 1989 წლის 15 აგვისტოს ტყაღმოგარდის; 3-მდინარეები, სადაც არ გაუკლია 1989 წლის 15 აგვისტოს ტყაღმოგარდის; 4-დასახლებული პუნქტები. 5-დასახლებული პუნქტები, სადაც არ გაუკლია 1989 წლის 15 აგვისტოს ტყაღმოგარდის. 6-მწვერვალი.



ნახ. 11. მდ. რიონის შენაკადების უბლის დონეების პიღირობრავები
1989 წლის აგვისტოს 01ის მონაცემები

ცხენისწყალის სოფ. ლუჯთან, რცხმელურთან და ხიდთან წინა დღის დონეებს. მაგრამ თვით ეს დონე იმავე წლის წყლის მაქსიმალურ დონეზე ნაკლები იყო, ასევე ნაკლები იყო მრავალწლიურ წყლის მაქსიმალურ დონეებზე. იმავე ნახაზზე ნათლად ჩანს, რომ 22 აგვისტოს თავსებმა წვიმების ცენტრმა გადაინაცვლა მდ. ჭანჭახის სათავეებისაკენ. აქ, მამისონის უდელტეხილის მონაცემებით, ნალექების რაოდენობა წვიმების სახით შეადგენდა 50 მმ-ს, ქვემოთ კი ნალექები 20-30 მმ-ზე ნაკლები იყო. მაგრამ ამ წვიმებს დიდი ცვლილებები არ გამოუწვევია დონეების რეჟიმში; წყლის დონის მატება 20-30 სმ-ზე ნაკლები იყო, რაც წყალმოვარდნათაც არ ჩაითვლება; მოყვანილი მონაცემები ამტკიცებს, რომ აღნიშნულ მდინარეთა სათავეების შესაყარ რაიონში ადგილი ჰქონდა ძლიერ თავსებმა წვიმებს, რომლის მსგავსი არ ახსოვს უხუცეს ადამიანებსაც. ამას, თავის მხრივ, ადასტურებს 15 აგვისტოს წყალმოვარდნის კატასტროფული ხასიათი, რომლის მსგავსს ადგილი არ ჰქონია, ყოველ შემთხვევაში, 1725 წ - მეცე ვახტანგ მექანესა და მისი ათას ორასიანი ჯარის გავლის შემდეგ. უფრო მეტი ყოფილა ვიდრე 1895 და 1922 წწ ოქტომბერის წყალმოვარდნების წყლის მაქსიმალურ დონეებზე. ამაზე შედეგები მეტყველებენ. ადიდებულმა მდ. რიონმა დები-ონის მონაკვეთზე მწყობრიდან გამოიყვანა და სრულიად უგარგისი გახადა 30 კმ სიგრძის მაგისტრალური საავტომობილო გზა, დაანგრია სოფ. საგლოლოში, სოფ. გლოლასა და კურორტ შოვთან დამაკავშირებელი 5 კაპიტალური ხიდი, სოფ. დებში ორი ხიდი, ფარახეთსა და გომში თითო ხიდი. წალეპა და წაიდო ხუთი მაღალი ძაბვის ანა. საგლოლო-დების უბანზე კი 10 კმ სიგრძის ელექტროგადამცემი ხაზი. მოშალა 48 კმ სიგრძის კავშირგაბმულობის კომუნიკაციები, წაიდო 4 საცხოვრებელი სახლი სოფელ უამურეთში, 2 - სოფელ დებში, ასფალტის ქარხანა, საწყობები, მატერიალურ-ტექნიკური ბაზა თავისი საქმიანი ეზოებით და ორი სახერხი ქარხანა ქ. ონში; მოშალა და მწყობრიდან გამოიყვანა ქ. ონის უიურეგთის წყალსადენი, გაარდვია, გადაბრუნა და წაიდო უბანასკნელ წლებში ძვირადდირებული ჯებირი ჭიორას ჭალაზე. დატორა სოფელ ხიდიკარის სამკურნალო აბანო, წაიდო მისი სოფლის კოლმეურნეობის ფერმა. ადიდებულმა მდ. საკაურამ სოფ.

დების, ხიდეშლებისა და საკაოს მიდამოებში მოგლიჭა და
წილი 5 ხიდი. კრიხულამ ამბროლაურში დააზიანა
წყალსაღენი, ქუჩები, დაანგრია ნაპირ-სამაგრი ჯებირები,
დატბორა 60 – ბინიანი საცხოვრებელი სახლის პირველი
სართული და ეზო, საგზაო მშენებლობის საქმიანი ეზოები, მდ.
რიცეულამ მთლიანად გადარეცხა წესურების ტყეში
მისასვლელი გზები, დააზიანა სასოფლო სამეურნეო
სავარგულები. იგივე განმეორდა ლუხუმის წყლისა და ასკის
წყალმოვარდნის დროს.

მდინარე რიონის ხეობაში, მთავარი გზის პირას გაჩნდა
მეწყრების მრავალი უბანი; ზოგი სახლი და კარმიდამო
ხეობის ძირას ჩამოიტანა. მარტო სოფ. ლებში 30-ზე მეტი
ოჯახი დააზიანა, მდინარის პირას ათობით ჰექტარი
სავარგულები დამუშავებისათვის სრულიად უვარგისი გახდა.

მთლიანად სტიქიურმა უბედურებამ 19 მლნ დოლარის
ზარალი მიაყენა ონისა (17 მლნ დოლარი) და ამბროლაურის
რაიონების ეკონომიკას.

მესამე პერიოდი დაიწყო ნოემბერში; თვის ბოლო სამი
დღის განმავლობაში ადგილი პქონდა ინტენსიურ განუწყვეტელ
ორვას, რომლის შედეგად თოვლის საფარის სისქემ
საშუალოდ მიაღწია 185 სმ. მოებში კი გადააჭარბა 2 მ-ს. ამას
მოჰყვა კოკისპირული წვიმები, რამაც გამოიწვია თოვლის
საფარის ინტენსიური დნობა და ყოველივე ამან ბევრიან
წარმოშვა მეწყრები. აჭარაში, სოფელ განახლებაში მეწყრული
ზონიდან 10 ოჯახი გახიზნეს. ახალი მეწყერი გაჩნდა
ხიხაძირში, არგანეთის მთა კვლავ გაიბზარა და საფრთხე
შეუქმნა სოფ. თაგოს, ასეთივე მდგრმარეობა შეიქმნა სოფ.
კორტოხში. სოფ. აჭარისწყალში ისევ ჩამოვიდა მეწყერი 100000
მ³ მოცულობით და კვლავ გადაკეტა ცენტრალური გზა და მდ.
აჭარისწყალი. დაგუბების უბანში დაიწყო მდინარის წყლის
დონის ინტენსიური მატება. დატბორვა ემუქრებოდა მდინარის
მიმდებარე ტერიტორიაზე განლაგებულ სხვადასხვა სახის
სამეურნეო ობიექტებს, მაგრამ თვით მდინარემ გაარღვია
ჩახერგილი მეწყრული კაშხალი და ამით გადარჩა რაიონის
დოვლათი სტიქიისაგან, თუმცა მწყობრიდან გამოვიდა 200 მ
სიგრძის გზის მონაკვეთი, ელექტრო და სატელეფონო ხაზები.
მეორე ასეთ დიდ კერას ადგილი პქონდა ლექსუმში. როცა
განმეორდა მეწყრების ჩამოსვლა ცაგერში, იმ ადგილებში,

სადაც წლის დასაწყისში პქონდა ადგილი. ამასთან, გაჩნდა ახალი მეწყრები სოფ. ბარდნალაში, ლუხვანსა და თვით რაიონულ ცენტრში — ცაგერში. საერთოდ კი, მაშინ წვიმების შედეგად გაძლიერდა მეწყერები, რომლებიც შეეხო ცაგერის რაიონის თითქმის ყველა კუთხეს; ძლიერი მეწყერი იყო 9 სოფელში, სადაც მთლიანად დანგრეულ იქნა 7 საცხოვრებელი სახლი, საცხოვრებლად უფარგისი გახდა 300-მდე სახლი, ჩხუბელის, აღვის, წიფელის, ქვედა ცაგერის, ლაჯანას, ლაცორის, საათაგორის, დვრისის, წილამურისა და ზუბის სოფლებში. 27 ნოემბერს ქ ცაგერში მეწყერმა ჩააჭიდა სოფ. ზედა დვირისის სასაფლაო, რომელიც ასეული წლობით არსებობდა. მდინარის აღიდების შედეგად დაიტბორა ცაგერში საცხოვრებელი სახლების პირველი სართულები. აღიდებული მდ. ლაჯანური შეიჭრა სოფ. ლაჯანაში, ხოლო სოფ. ჩხუბელში აღიდებულმა დელებ იმსხვერპლა ადამიანის სიცოცხლე.

2. ნაზღვები მყალღიღობები და მყალმოგარდები საქართველოში

2.1. ნაზღვები მყალღიღობების და მყალმოგარდების შესრულების საერთო ცნობები

ნაზღვები წყალდიდობა და წყალმოვარდნა არის მდინარის წყლის რეზიმის ერთ-ერთი სახე, რომელიც გამოწვეულია მდინარის ხეობის ჩახერგვით, მისი დაგუბებითა და ჩახერგილი უბნის გარღვევით. თავისი ბუნებით ნაზღვლები წყალდიდობა და წყალმოვარდნა მიეკუთვნება საშიშ კატასტროფულ მოვლენათა კატეგორიას, რომელიც ისევე საშიშია მოსახლეობისათვის, როგორც მიწისძვრა, ქარიშხალი და სხვა. მას მთის მოსახლეობა უხსოვარი დროიდან იცნობს. განსაკუთრებით ყურადღების ცენტრში იყო მყინვარების პულსაციასთან დაკავშირებული ნაზღვლები წყალდიდობა, რომელიც ცნობილია ლიტერატურაში „ყაზბეგის ჩამონაქცევის“ სახელწოდებით. მას ადგილი ჰქონდა 1776, 1785, 1808, 1817, 1832, 1844 და 1854 წწ მყინვარ დევდორაკზე, რომელიც დღესაც გრძელდება: 2002 წწ მყინვარ კოლკაზე და 2007 წ 2 აგვისტო მყინვარ დევდორაკზე და სხვა. მაშინ ჩატარდა სპეციალური საველე კვლევა-ძიება მათი ბუნების შესწავლისათვის. ამას ხელს უწყობდა ის ვითარება, რომ მყინვარების პულსაციასთან დაკავშირებული გლაციალური მოვლენები გამოიჩინენ დიდი კატასტროფულობით და გავრცელების ფართო მასშტაბით. მიღებული შედეგები დროულად შუქდებოდა მრავალ გლაციოლოგიურ და საგზაო მშენებლობის ლიტერატურაში. ისინი არაერთხელ ყოფილ აღნიშნული მოვლენების განზოგადების საფუძველი. მათ დღესაც არ დაუკარგავთ თავისი მნიშვნელობა და წარმოადგენენ ერთ-ერთ წყაროს მყინვარების პულსაციასთან დაკავშირებული მოვლენების რესტავრაციისა და ანალიზისათვის.

შემდგომში მსგავს წყალმოვარდნებსა და წყალდიდობებს არაერთხელ ჰქონია ადგილი, მაგრამ საჭირო გამოხმაურება არ მიუღია ლიტერატურაში, რჩებოდა კვლევა-ძიების გარეშე,

რადგან თვლიდნენ მათ მთის ჩვეულებრივ მოვლენად. ამას ხელს უწყობდა ის ვითარება, რომ შენელდა მყინვარების პულსაციის პროცესები და თუ პქონდა ადგილი (1969 წ, მყინვარი კოლკა) მათთან დაკავშირებულ შედეგებს უვნებლად ჩაუვლიათ. ყოველივე ზემოთ ნათქვამის გამო არ დამუშავებულა და არ შედგენილა სპეციალური დაკვირვების, დამუშავებისა და სისტემატიზაციის მეთოდოლოგია. მაგრამ ბოლო 10-15 წ განმავლობაში გახსირდა კლდე-ზვავებითა და მეწყრებით მდინარის ხეობების ჩახერგვები, დაგუბებები, გარღვევები და კატასტროფული წყალმოვარდნები, რომლებმაც ასობით მიღიონ დოლარის ზარალი მოუტანა ქვეყნის ეკონომიკას. კვლავ გამახვილდა ყურადღება ზემოთ აღნიშნულ კატასტროფულ მოვლენებზე; მოეწყო არაერთი სპეციალური ექსპერიცია, რის საფუძველზეც დაგროვდა მდიდარი მასალა, რომელსაც დიდი თეორიული და პრაქტიკული მნიშვნელობა აქვს. უპირველეს ყოვლისა ისინი საჭიროა ნაზღვლევი წყალდიდობებისა და წყალმოვარდნების წინააღმდეგ ბრძოლის მეცნიერული კონცეფციის შემუშავებისათვის.

მაგრამ ნაზღვლევი წყალდიდობა და წყალმოვარდნა თავისი გენეზისით არ არის ერთგვაროვანი, რადგან თვით ეს პროცესი სხვადასხვაა და იგი დაკავშირებულია მიწისძვრასთან, მყინვარულ და გულკანურ მოქმედებებთან, ეგზოგენურ პროცესებთან, ასევე, მდინარის ყინულოვან მოვლენებთან. მათი ზეგავლენით წარმოშობილი ნაზღვლევი წყალმოვარდნები და წყალდიდობები მკვეთრად განსხვავდებიან ერთმანეთისგან თავიანთი ხასიათი, სიძლიერით, გაანგარიშება – პროგნოზირებით, მასშტაბებით და ბრძოლის მეთოდებით.

2.2. მყინვარული ნაზღვლევი წყალმოვარდნა

მყინვარულ ნაზღვლევ წყალმოვარდნას ადგილი აქვს მყინვარების წინ წასვლისა და უკან დახევის დროს. ამასთან დაკავშირებულია დაგუბებული ტბების წარმოშობა, რომლებიც ერთმანეთისაგან განსხვავდებიან თავიანთი სიძლიერით, ხანგრძლივობით, ხასიათით და სხვა თვისებებით. ამიტომ ცალკე გამოიყოფა მყინვარების წინ წამოსვლისა და უკან დახევის შედეგად წარმოშობილი დაგუბებული ტბები.

22.1. მყინვარების ფინამოსილის პროცესებთან დაკავშირებული დაბუღებული ჰპები

მყინვარის რეეიმში დამახასიათებელია მყინვარების წინ სვლა. ჩვეულებრივ პირობებში მათი გადაადგილება შეადგენს 35-60 მ-ს წელიწადში. მაგრამ არის შემთხვევები, როდესაც მყინვარები უეცრად ამოძრავდებიან და დიდი სიჩქარით (რამდენიმე წუთში) ძირს ეშვებიან 10-12 კმ. მათ მშფოთვარე (პულსაციური) მყინვარებს უწოდებენ. ძირს დაშვებული მყინვარები მარხავენ და ანგრევენ ყველაფერს, რაც კი შეხვდებათ გზაზე.

მსგავს მყინვარულ კატასტროფებს ხშირად აქვს ადგილი კავკასიონზე, მათ შორის საქართველოშიც. ამ მხრივ, განსაკუთრებით გამოირჩევა მყინვარწვერის გამყინვარების რაიონი (14-15, ნახ. 6) და ცნობილია ისტორიაში ყაზბეგის ჩამონაქცევის სახელწოდებით. მას, მყინვარ დევდორაკის პულსაციის (15, ნახ. 6) შედეგად, აღილი პქონდა 1776, 1785, 1808, 1817, 1832, 1842 და 1854 წწ. მაშინ მყინვარმა კატასტროფულად წინ წაიწია 3-5 კმ, შედეგად დაირღვა მყინვარის მასის მთლიანობა. აღნიშნულ მანძილზე ჩაიხერგა ხეობა ყინულისა და კლდის ლოდებით, მორენებით, ქვა-ლორდით. როგორც დარჩენილ, ასევე წინ წამოსული მყინვარის ენის გავრცელების ზონაში გაწნდა უამრავი ურთიერთგადახლართული ყინულოვანი ნაპრალები, ჩავარდნილი და ამოწეული რელიეფის ფორმები, ყინულში და ყინულქვეშ სიცარიელები. აღილი პქონდა ნადნობი წყლის დაგროვებას, რომელიც კიდევ უფრო აძლიერებდა წინ წამოსული მყინვარის კატასტროფულ მდგომარეობას. ხშირი იყო შემთხვევა, როცა დაგუბებული წყალი მაღალი წყლის ტემპერატურის გამო ადნობდა ყინულოვან ჯებირებს და აღწევდა ხეობის ძირას, სადაც იგი აღადგენდა ძველ მდინარეულ კალაპოტს. მხოლოდ იმ განსხვავებით, რომ იგი გადახურული იყო ყინულისა და მორენების მძლავრი ფენით. ამასთან, არის შემთხვევებიც, როცა ყინულოვანი ჯებირების დნობის პროცესი ჩამორჩება წყლის დაგროვებას. ამის გამო, ნადნობი წყალი ინტენსიურად გროვდებოდა აღნიშნული რელიეფის უარყოფით ფორმებში; ეს

უგანასკნელი კი დიდი დაწოლის გამო არღვევდა ყინულოვან ჯებირებს, რასაც მოსდევდა კატასტროფული წყალმოვარდნა. უძლიერესი კატასტროფული ხასიათი 1832 წ 20 აგვისტოს მომხდარმა წყალმოვარდნამ მიიღო. მაშინ, დევდორაკის წინწამოწეული ენის 12-13 მლნ.მ³ მოცულობის მასამ მთის ნაშალ მასალასთან ერთად ამოავსო მდ. დევდორაკისწყლის ხეობა, ზემოთ დაგუბდა წყალი, შემდეგ გაარღვია ყინულოვანი ჯებირი, წყალი დაემვა ძირს და მის გაგრძელებაზე მდინარე ამალი გადააქცია გლაციალურ დვარცოფად (15, ნახ. 6). ამ უგანასკნელმა დიდი (40-50 მ/წმ) სიჩქარით ჩამოიტანა უფრო დაბლა 15 მლნ.მ³ მოცულობის ნაშალი მასა, რომელიც ყინულის, თოვლის, ფირნის, ქვის ლოდებისა და ქვა-დორდისაგან შედგებოდა. მან ჩახერგა მდ. თერგი დარიალის ხეობაში, სოფ. გველეთის ქვემოთ, 2 კმ სიგრძეზე, 90-100 მ სისქით. 4 საათით შეჩერდა მდ. თერგის დინება. მის ზემოთ დაგუბდა წყალი, რომლის მოცულობამ მიაღწია 20-25 მლნ.მ³-ს, სიღრმემ 80-90 მ-ს, შემდეგ გაარღვია ყინულის ჯებირი. მას მოჰყვა კატასტროფული წყალმოვარდნა, რომელმაც დიდი ზარალი მიაყენა მდ. თერგის ხეობის მოსახლეობას, დარიალის ხეობის ქვემოთ თითქმის კასპიის ზღვამდე.

მსგავსი მოვლენა განმეორდა 1902 წ; ამჯერად მყინვარწერის ჩრდილოეთ ფერდობზე და ისტორიაში ცნობილია სამებას (გენალდონის) კატასტროფის სახელწოდებით. მყინვარი კოლკას პულსაციის შედეგად (14, ნახ. 6) წინ წამოსულმა თოვლის, ყინულის, ქვებისა და კლდის ლოდებით შემდგარმა ნაკადმა დიდი ზარალი მიაყენა მოსახლეობას, გაანადგურა კურორტი ტმენიკაუ; 12 კმ მანძილზე გენალდონის ხეობა აქცია საშინელ სანახაობად. ამ სიგრძეზე ხეობა ამოავსო 100-140 მ სისქის, 70-75 მლნ.მ³ მოცულობის ჩამოტანილი მასით, რომელმაც 10-12 წელი იარსება.

მყინვარების პულსაციას პერიოდული ხასიათი აქვს. მაგალითად, მყინვარმა კოლკამ 1969 წ 29 სექტემბერსა და 20 ნოემბერს ორი ტალღით გაიარა პულსაციის მორიგი ციკლი. [27,39,40,47]. მაშინ, წინ წამოსულმა მყინვარმა 4,5 კმ სიგრძით, 100-120 მ სისქით ამოავსო მდინარე გენალდონის ზემო წელის ხეობა. მაგრამ მყინვარის ამ პულსაციას კატასტროფული წყალდიდობა არ გამოუწევია. თოვლისა და მყინვარის ნადნობმა წყალმა ადგილად გაიკვლია გზა ჩახერგილი მასის

ძირას და წყლის დაგუბება არ მოყოლია, შენელდა დნობაც, ამით გენალდონის ხეობა გადაურჩა მორიგ კატასტროფას. მსგავსი მოვლენები ცნობილია სხვაგანაც. 1963 წ მაის-ივნისში მედვეჟის მყინვარმა (პამირი) უეცრად წინ წაიწია და გადაკეტა მდ. ვანჩას ზემო წყლის შენაკადი აბდუკაგორი, გამოიწვია მასში წყლის დაგუბება. წარმოიშვა 80 მ სიღრმის, 20-25 მლნ მ³ მოცულობის იმავე სახელწოდების ტბა [19,20]. ასევე 1840 წ მდ. ინდი (ჰიმალაი) 250 მ გადაკეტა წინწამოსულმა მყინვარმა.

მყინვარების პულსაცია შეიძლება გამოიწვიოს არა მარტო მყინვარების ენდოგენურმა, არამედ ვაზოგენურმა პროცესებმაც. ამის ტიპურ მაგალითს წარმოადგენს მყინვარი აბანო ყაზბეგის გამყინვარებიდან (16, ნახ. 6). აქ, 1909 წ ივნისის პირველ რიცხვებში მყინვარის მარცხენა მხარეზე, ყინულ ჩანჩქერთან ახლოს მდებარე მთა ბაგნას (4048 მ) მოსწყდა უზარმაზარი სამხრეთ ფერდობი, რომელიც კლდე-ზვავის სახით დაეცა მყინვარ აბანოს 3550-3560 მ სიმაღლეზე ზღვის დონიდან და დაიკავა მთელი მისი 350-400 მ სიგანის ზედაპირი [21,25,47]. ფაქტიურად, ეს იყო მყინვარით დაკავებული ხეობის კლდე-ზვავით ჩახერგვის ერთ-ერთი მაგალითი. დაცემამ მყინვარ აბანოს 1,82 კმ სიგრძის ენა ფაქტიურად მოსწყვიტა და წინ წაწია რამდენიმე ათეული მეტრით. ამ პროცესის გამო დაირღვა მყინვარ აბანოს მდგრადობის პირობები. გაჩნდა უამრავი ურთიერთშორის გადახლართული სხვადასხვა სიგრძის, სიღრმისა და სიგანის ნაპრალთა ქსელი, ჩავარდნილი და ამაღლებული აღგილები, ყინულშიდა და ყინულქვეშა სიცარიელები; შეიქმნა ყველა ის პირობა, რომელიც იწვევს წყლის დაგროვებას. გაჩნდა უამრავი პატარ-პატარა დია და დახურული ტბები. ამან თავის მხრივ კიდევ უფრო გააძლიერა მყინვარის კატასტროფული მდგომარეობა. დაახლოებით მექქსე დღეს, ე.ი. 1909 წ 6 ივნისს დაგუბებული წყლის დაწოლის შედეგად გაირღვა ჯებირები და ძირს დაეშვა წყლის ნაკადი, რომელსაც მოჰყვა გლაციალური ლვარცოფი. მან მდ. ჩხერის ხეობაში დიდი ზარალი მიაყენა სოფ. გერგეთს, ჩახერგა სამხედრო გზა, ხიდი და მდ. თერგი ყაზბეგთან. ჩახერგვა იმდენად ძლიერი იყო, რომ 2 საათით შეაჩერა მდ. თერგის დინება. ჩახერგილი უბნიდან 15 კმ ქვემოთ სოფ. გველეთის მცხოვრებნი განცვიფრებულნი იყვნენ მდინარის ასეთი უწვეულო „დაშრობის“ გამო; ორი

საათის შემდეგ გაირდვა ჯებირი და წყლის ნაკადი ძირს დაეჭვა წყალმოვარდნის სახით. მომდევნო დღეებშიც ადგილი პქონდა მყინვარის დნობას, მაგრამ წყალი თავისუფლად გაედინებოდა მყინვარიდან. ხოლო ნარჩენი წყალი ზამთრის დღეებში გაიყინა და გადაკეტა წყლის სადენი გზები. მომავალი წლის გაზაფხულზე კი მას ისევ მოჰყვა წყლის დაგროვება აღწერილ უარყოფით ფორმებში. წყლის ზედმეტ დაგროვებას კი კაშხლების გარღვევა. იგი განმეორდა 4-ჯერ - 14, 27, 29 ივნისს და 3 ივლისს [21,25,47]. ძირს დაშვებულმა წყალმა იმავე დღეებში გამოიწვია დიდი წყალმოვარდნები; უძლიერესი იყო ის 29 ივნისს, რომელმაც 1909 წ 6 ივნისის წყალმოვარდნის მსგავსად დიდი ზარალი მიაყენა სოფ. გერგეთს და ჩახერგა მდ. თერგი მდ. ჩხერის შესართავთან. სამწუხაროდ, სხვა ცნობები წყლის მაქსიმალური ხარჯების შესახებ არ გაგვაჩნია. მაგრამ გარდვევები რომ მომხდარი ყოფილიყო ერთხელ, მაშინ უფრო ძლიერ კატასტროფულ წყალმოვარდნას ექნებოდა ადგილი. საერთოდ კი, მიღებული შედეგები ადასტურებენ ბოლო წლებში გამოთქმულ დებულებას იმის შესახებ, რომ, რაც უფრო ხშირად ხდება დაგუბებული ტბის დაცლა, მით ნაკლებია მისი გარდვევების შედეგად წარმოშობილი წყალმოვარდნების წყლის მაქსიმალური ხარჯები და პირიქით. მაგალითად, ისლანდიის გრიმსეორის რაიონში დაგუბებული ტბის გარდვევას ადრინდელ წლებში ადგილი პქონდა ყოველ 9-12 წლის შემდეგ; მაშინ მის შედეგად წარმოშობილ წყალმოვარდნის წყლის მაქსიმალური ხარჯი აღწევდა 40000 მ³/წ. [18,19,26] მაგრამ ბოლო წლებში უფრო გახშირდა მისი გარდვევა და ადგილი პქონდა ყოველ 4-6 წლის შემდეგ. ასეთი ხშირი დაცლის გამო გამოწვეული წყალმოვარდნის წყლის მაქსიმალური ხარჯი გარდვევის ადგილას არ აღემატებოდა 10500 მ³/წ. [18,19,26].

2.2. მყინვარების უპანდახევასთან დაკავშირებული დაბუღაბული ფაები

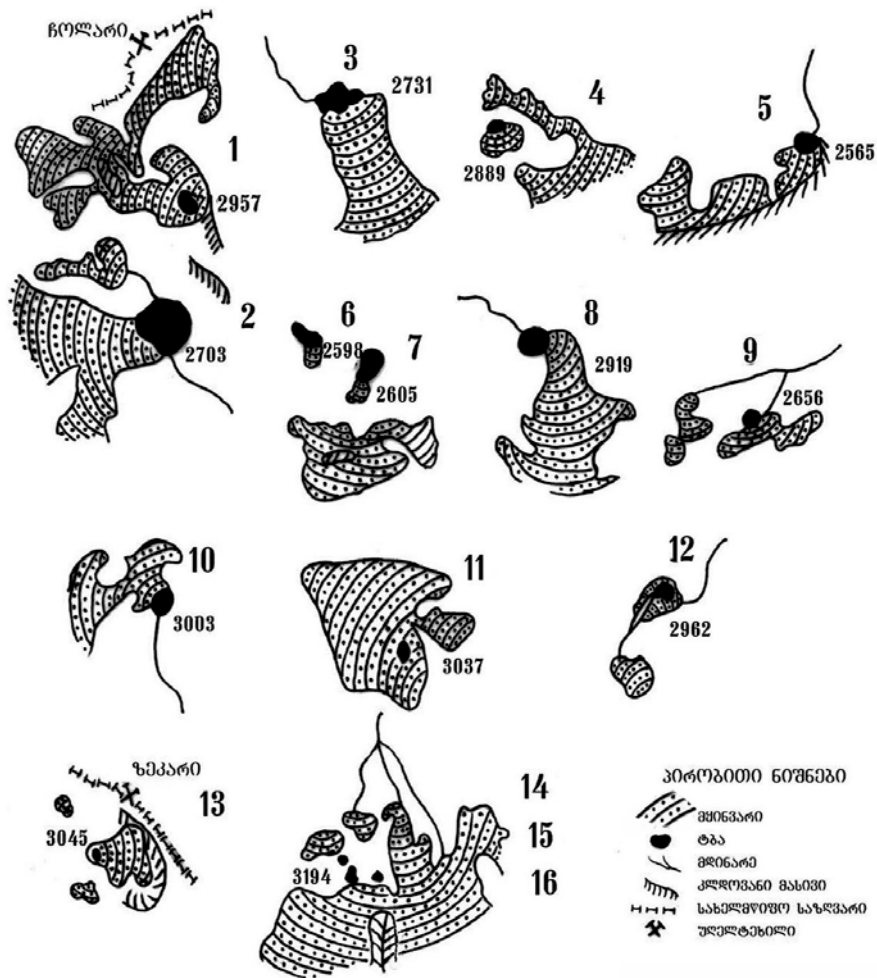
მყინვარებს ახასიათებს უკან დახევაც, (რომელიც ძირითადად დაიწყო „ფარნაუს“ სტადიოდან, 1850წ) რის შედეგადაც ისინი ტოვებენ მათ მიერ ჩამოტანილ ნაშალ

მასალას, ე.წ., ბოლო მორენებს. ასევე ჩნდებოდა რელიეფის უამრავი უარყოფითი ფორმები, სადაც გროვდებოდა წყალი და წარმოიქმნებოდა მორენული დაგუბებული ტბები. მათ ახასიათებთ ფართო გავრცელება დასავლეთი კავკასიონის ნივალურ-გლაციალურ ზონაში, უკავიათ უმნიშვნელო ფართობები (100-დან 10000 მ²-ნაკ) და სიღრმე (0,5-დან 10 მ-მდე) [1,22,23]. ისინი მყინვარის ენის დაბოლოებაზე არიან მიბჯენილი, ან უშუალოდ მყინვარში არიან მოთავსებულნი, ზოგიერთი მათგანის გარდვევას მნიშვნელოვანი წყალმოვარდნა და გლაციალური დგარცოფი მოყვება [1,22,23]. ამ კატეგორიას ეკუთვნის ცილის ტბათა ჯგუფი (18, ნახ. 6) წარმოშობილი იმავე სახელწოდების მყინვარის უკან დახევის შედეგად მდ. თერგის სათავეში; ასეთია კარდივაჩის ტბათა ჯგუფიც (2, ნახ. 6) მდ. მზიმთას ზემო წელში კარდივაჩის მყინვარების უკან დახევის შედეგად. ამ კატეგორიას ეპუთვნოდა მყინვარ მნას ენის ბოლოზე მდებარე იმავე სახელწოდების მორენული ტბა (17, ნახ. 6), რომელიც 1953 წ 18 აგვისტოს ინტენსიური თავსებმა წვიმის დროს (127 მმ) მყინვარის აუზიდან წამოსულმა წყალმა გაავსო. მორენულმა კაშხალმა ვერ გაუძლო წყლის დაწოლას; გაირდეა იგი და მირს დაეშვა წყალმოვარდნის სახით. მდინარე მნასხევი გადაიქცა 4-5 მ-ის სიმაღლის ღვარცოფულ ნაკადად, რომელიც მოადგა სოფელ მნას ზემოთ, მაგრამ წყალმა სოფელს გვერდით ჩაუარა და გადარჩა იგი. იმ დიდი თავსებმა წვიმის დროს მყინვარწვერის მყინვარების უკან დახევის შედეგად დატოვებული ნაშალი მასალა გახდა მიზეზი, რომ მდინარე თერგის შენაკადები გადაქცეულიყო ღვარცოფებად, შემზარავი გუგუნით, ქვა-დორდის ნაკადად დაეშვნენ მდ. თერგში. წყლის დონემ 3-4 მ აიწია, შენაკადებიდან შემოჭრილი ღვარცოფების ადგილას კი 5-6 მ-ით. ასეთმა გაძლიერებულმა წყლის ნაკადმა დაანგრია მდ. თერგის ნაპირები, ხიდები, სანაპირო ჯებირები, გზები, კესარას კანიონი გადააქცია გაუვალ ხეობად, თრუსოს დასახლება კი მოსწყვიტა ყაზბეგის რაიონის ცენტრს. [5,7,25,46].

ამ მაგალითიდან გამომდინარე შესწავლილ იქნა საქართველოს მყინვარებზე არსებული ტბები. მათ კალეგას საფუძვლად დაედო 1956-1964 წწ 1:25000 მასშტაბიანი ტოპოგრაფიული რუკები და ცალკეულ შემთხვევაში

აეროფოტოსურათები; უნდა აღინიშნოს, რომ მათი აღრიცხვიანობა ცვალებადია წლიდან წლამდე, რადგან მცირე ფართობები და პარამეტრები ახასიათებთ. [1] ამ მეთოდებით აღრიცხული იქნა 16 ტბი (ნახ. 12). ტბები უმეტესად განაწილებულია მდინარეების: კოდორის, ენგურის, რიონის და ოქონის აუზებში, რომლებიც გამოირჩევიან ძლიერი გამყინვარებით. აქედან ყველაზე მეტია მდ. ენგურის აუზში, რომელიც გამყინვარებით პირველ ადგილზეა (288,3 კმ² ფართობით) საქართველოს სხვა მდინარეთა აუზების გამყინვარებასთან შედარებით [13,16]. საერთოდ ძლიერი გამყინვარების რაონები გამოირჩევიან დაგუბებული ტბების სიმრავლით და სიმძლავრით. ყველა აღნიშნული ტბა უსახელოა, მდებარეობს ზღვის დონიდან 2565-3194 მ სიმაღლის ზონაში, საშუალო 2890 მ სიმაღლეზე. ტბების წყლის სარყის ფართობები შეადგენს 6,18 ჰა. განსხვავდებიან თავიანთი მორფომეტრიული მახასიათებლებით. ფორმის მიხედვით უმეტესი მათგანი წრიულია (ნახ.12). ამასთან მოცემულია მათი მორფომეტრიული მახასიათებლები, რომლებიც წარმოდგენილია ცხრ. 2 და 3- (ა-ბ) სახით.

16-ვე ტბის წყლიანობა დიდი არ არის; მათი მოცულობა დაახლოებით 35-40 მლ.მ³, რაც შეადგენს მყინვარების წყლის რესურსების 0,13-0,14%; მიუხედავად ასეთი უმნიშვნელო მარაგისა, მათი მნიშვნელობა, როგორც ფიზიკურ – გეოგრაფიული კომპონენტი, დიდია; ერთის მხრივ, ისინი აფიქსირებენ მყინვარების გავრცელების ქვედა საზღვარს 1955-1964 წწ დონეზე, ხოლო, მეორეს მხრივ, ისინი წარმოადგენენ პოტენციურად საშიშ ობიექტებს, რაღაც მათი მორფომეტრიული მახასიათებლები ძლიერ იცვალება. განსაკუთრებით ეს საშიშროება გაძლიერდა უკანასკნელ წლებში, რაც დაკავშირებულია მყინვარული დნობის პროცესების გააქტიურებასთან და ასევე მაღალმთიან რაიონებში გახშირებულ კოკისპირულ წვიმებთან [56].



ნახ. 12. მყინვარული დაბაბებული ფგები (ნუმერაცია ცხრ. 2-ს
მიხედვით)

ცხრილი 2
ცხრილი 3.

ბამდინარე და ბაუმდინარე ტპების მორფომეტრიული
მახასიათებლები

ა. მორფომეტრიული მახასიათებლები ფართობის მიხედვით

საელ	რაოდენ ობა	ფართობი, ჰა		სიგანე, მ	სიგრძე, მ
		ტბის წყლის სარკის	წყალშემცრები აუზი		
გამდინარე	8	21,73	534,1	1025	1325
გაუმდინარე	8	6,18	244,8	450	800

**ბ. მორფომეტრიული მახასიათებლები სიმაღლისა და ტბის წყლის
სარკის ფართობის მიხედვით**

ბამდინარე ტპები			ბაუმდინარე ტპები		
რიცხვი №	სიმაღლე, მ	წყლის სარკის ფართი(ები), ჰა	რიცხვი №	სიმაღლე, მ	წყლის სარკის ფართი(ები), ჰა
1	2	3	4	5	6
1	2703	10,6	2	2957	0,94
3	2731	3,75	6	2605	3,12
4	2889	0,38	7	2598	0,88
5	2565	1,5	11	3037	0,5
8	2919	2,25	13	3045	0,06
9	2656	0,56	14	3194	0,56
10	3003	1,75	15	3194	0,06
12	2962	0,94	16	3194	0,06
ჯამი	1	21,73			6,18
უდიდესი	2	3003	10,6	3194	3,12
საშუალო	3	2804	2,72	2978	0,77
უმცირესი	4	2565	0,38	2598	0,06

223. თოვლის ზეაგენით ბამოვეული ტყალმოვარდნები

ნაზღვლები წყალმოვარდნები შეუძლია გამოიწვიოს თოვლის ზვავებმა. 1986-87 წწ ზამთრის უჩვეულო დიდო თოვლობის დროს დიდი მითქმა-მოთქმა იყო მდ. ტეხურას შესახებ. დაბლობის მოსახლეობა შიშს გამოიქვამდა იმის შესახებ, რომ „თუ მთიდან თოვლი ჩამოვარდა, წამოვა დიდი წყალი,,. საშიშროების დასადგენად საჭირო გახდა სკეციალური საპარტო დაზვერვა. ასე რომ, თოვლის ზვავებით გამოწვეული წყალმოვარდნები კარგად ცნობილი მოვლენაა. 1902 წ ზამთრის დიდი უჩვეულო თოვლის დროს ჩამოვიდა „დიდი სასადილოს“ თოვლის ზვავი, რომელმაც ჩახერგა მდინარე რიონი 30 მ სისქის ნაზვავი თოვლის კაშხლით და ერთი თვით ჩაკეტა გზა. ასე მოხდა 1987 წ ზამთრის დიდი თოვლიანობის დროს, როდესაც მდ. ბაიდარას ფერდობებიდან წამოსულმა 15 თოვლის ზვაგმა გაჭედა მდ. ბაიდარას ხეობის 15 - 25 მ სიგანის ძირი, 3 მლნ.მ³ მოცულობის ნაზვავი თოვლით. 1989 წ ზამთარში პირიქითა ხევსურეთში უჩვეულო დიდი თოვლის შედეგად მდ. ასას ხეობის ფერდობებიდან მოწყვეტილმა უზარმაზარმა თოვლის ზვავებმა, ძირფესვიანად მოთხრილ და გადატეხილ 50-100 - წლიან ხეებთან ერთად ჩახერგა მდინარის ხეობა სოფ. ამდას მისადგომებთან და ხეობა 3 კმ-ის მანძილზე ახლად გაყვანილი გზით გაუვალი გახდა, იმავე წლის ივლისის ბოლომდე.

ნაზვავი თოვლის კაშხლების წარმოშობისას წყდება მდინარის დინება; მისი წყლის ხარჯი 2-3-ჯერ მცირდება ჩახერგამდე წყლის ხარჯთან შედარებით. ზემოთ კი ადგილი აქვს წყლის დონეების აწევას. მაგრამ ეს პროცესი დღე-დღენახევარი გრძელდება (ნახ. 13, 14). დაგუბებული წყალი თა-



ნახ. 13. თლიდონის ხეობის თოვლის ზვავის გამოზიდვის პონუსით
ჩახმარიში დიდი დიახვის ხეობა მდ. თლიდონის შესართავიან (1988
წლის 16 ოქტომბერი)



ნახ. 14. „მაიორშას“ თოვლის ზვავი კულაბინის ხიდის ზემოთ
(1978წ ჯვრის უდელბეილთა ახლოს)

ვისი სითბური ენერგიის ზემოქმედებით ადნობს ჩახერგილ
ნაზვავ თოვლს და ადვილად პოულობს გზას მის ქვეშ.
ჩახერგილი ნაზვავი თოვლის მასა კი დიდხანს რჩება თოვლის
ხიდებად. მას ყველგან შეხვდებით მთიანი მდინარეების ზემო

წელის ვიწრო ხეობებში. ხშირად, წყლის ინტენსიური დაგროვების შედეგად, დაგუბებული წყალი არღვევს ჩახერგილი ნაზვავი თოვლის კაშხალს და მის ქვემოთ ადგილი აქვს წყალმოვარდნას, რომელიც ზამთრის წყალმოვარდნითაა ცნობილი. ასევე არის შემთხვევები, როდესაც მდინარე შემოუვლის თოვლის ზვავის მიერ წარმოშობილ ჩახერგილ კაშხალს და ახალი კალაპოტის მეშვეობით განაგრძობს გზას, ამ შემთხვევაში ბუნებრივად იქნება აცილებული მოსალოდნელი წყალმოვარდნა. ამგვარ მოვლენას ადგილი ჰქონდა მდ. ცხენისწყლის ზემო წელში 2000 წ, როცა მან მარცხენა მხრიდან შემოუარა თოვლის კაშხალს და ახალი კალაპოტით დაეშვა ძირს.

წყალდიდობის დროს მდინარის წყლის დონე 1-1,5 მ, იშვიათ შემთხვევაში კი 4-5 მ აღწევს, მაგრამ მაღე, განიერ ხეობაში ჩამოსვლისას ეცემა 0,9-1,5 მ. წყალდიდობის მაქსიმუმის გავლის შემდეგ დონეები ეცემა, 2-3 დღის შემდეგ კი მდინარე აღადგენს ნორმალური დონებას.

2.2.4. მდინარეული ყინულოვანი მოვლენებით გამოწვეული ტყალდიდობები და ზყალმოვარდები

ზამთრის კატეგორიის წყალმოვარდნებს ეკუთვნის წყალმოვარდნები, რომლებიც გამოწვეული არიან მდინარის ყინულოვანი მოვლენებით - მდინარეში წყლის გაყინვის შედეგად წარმოშობილი ნაპირის ყინულების, ფსკერისა და ზედაპირის ყინულების, თოშისა და მცურავი ყინულების ჩახერგით. ჩახერგის შედეგად წარმოშობიან ყინულოვანი კაშხლები, ყინულხერგილები, რომლის ზემოთ გროვდება მდინარის წყალი და წყლის დონეები მატულობენ, ქვემოთ კი კლებულობენ. ყინულხერგილის გარღვევის შედეგად ადგილი აქვს წყალმოვარდნას. მაგალითად, მდ. ურაველზე, სოფ. ოხერასთან 1974 წ 11 და 13 იანვარს ყინულოვანი კაშხლის გარღვევას მოჰყვა წყალმოვარდნა, რომლის დონემ დაგუბების დროს არსებულ დონესთან შედარებით 200 სმ აიწია. აღსანიშნავია ის, რომ ამ დონემ მდინარისათვის აღებულ პუნქტზე გადააჭარბა თოვლისა და წვიმების წყლის წყალდიდობის მაქსიმალურ დონეებსა და ითვლება მრავალწლიურ უდიდეს დონედ. საერთოდ, ზამთრის

მოვლენები იწვევენ დონეების ხშირ რყევადობას, რაც ნათლად ჩანს ნახ. 15,16,17-ზე კომპლექსური გრაფიკებიდან.

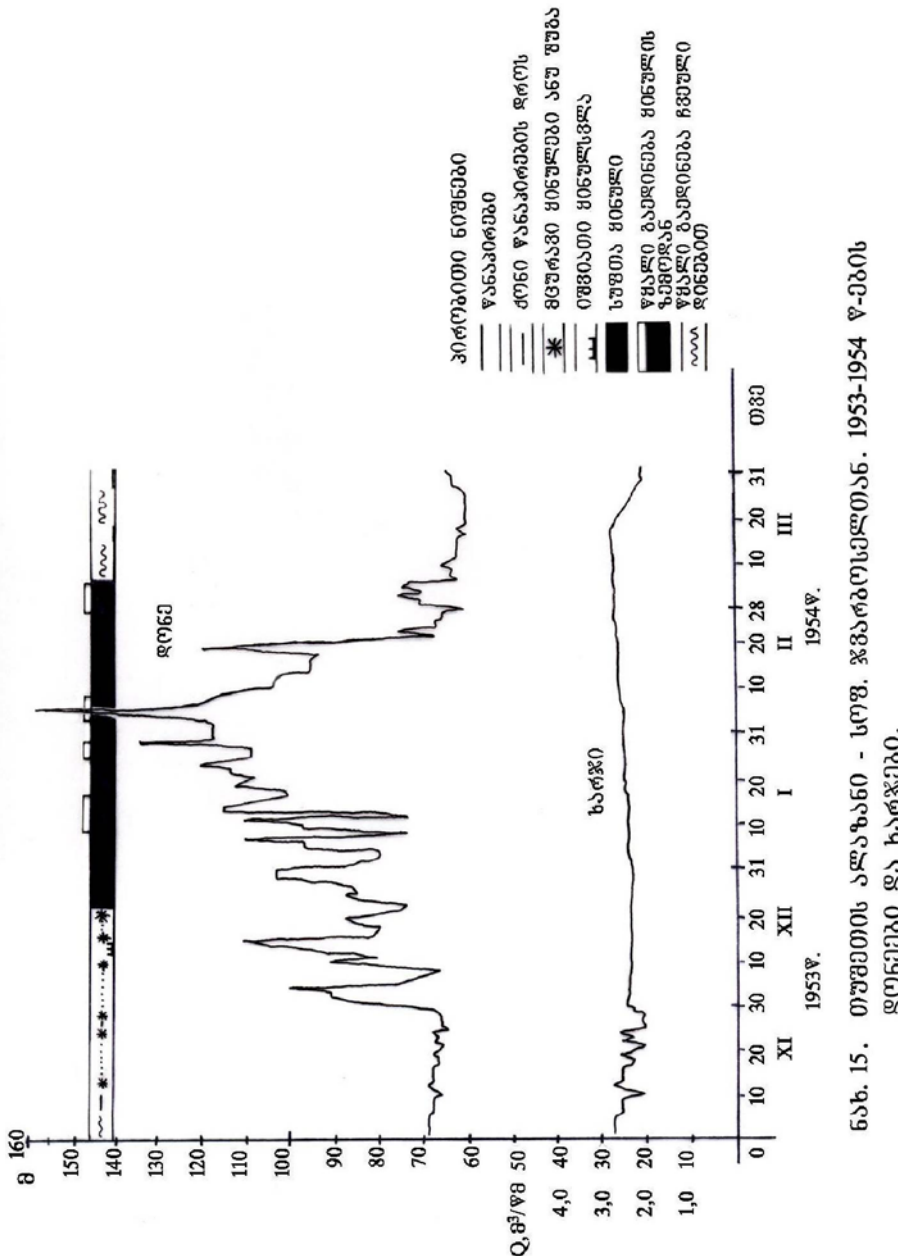
ასეთი ტიპის წყალმოვარდნები დამახასიათებელია მაღალმთიანი მდინარეებისათვის, როგორც საქართველოს ჩრდილო, ასევე სამხრეთ რაიონებისათვის, ზღვის დონიდან 1800-2200 მ-ზე და მაღლა. ხასიათდებიან სპეციფიკური თავისებურებებით, რაც დამოკიდებულია ადგილობრივ ფიზიკურ-გეოგრაფიულ პირობებზე. მათი რყევადობა არ ადემატება 2-2,5 მ-ს, ამ პროცესს შეიძლება ადგილი პქონდეს მთელი ზამთრის განმავლობაში, უფრო მეტად დაგმბერ-მარტის თვეებში. შედეგად გამოიყოფა დონეების რყევადობის სამი ტიპი:

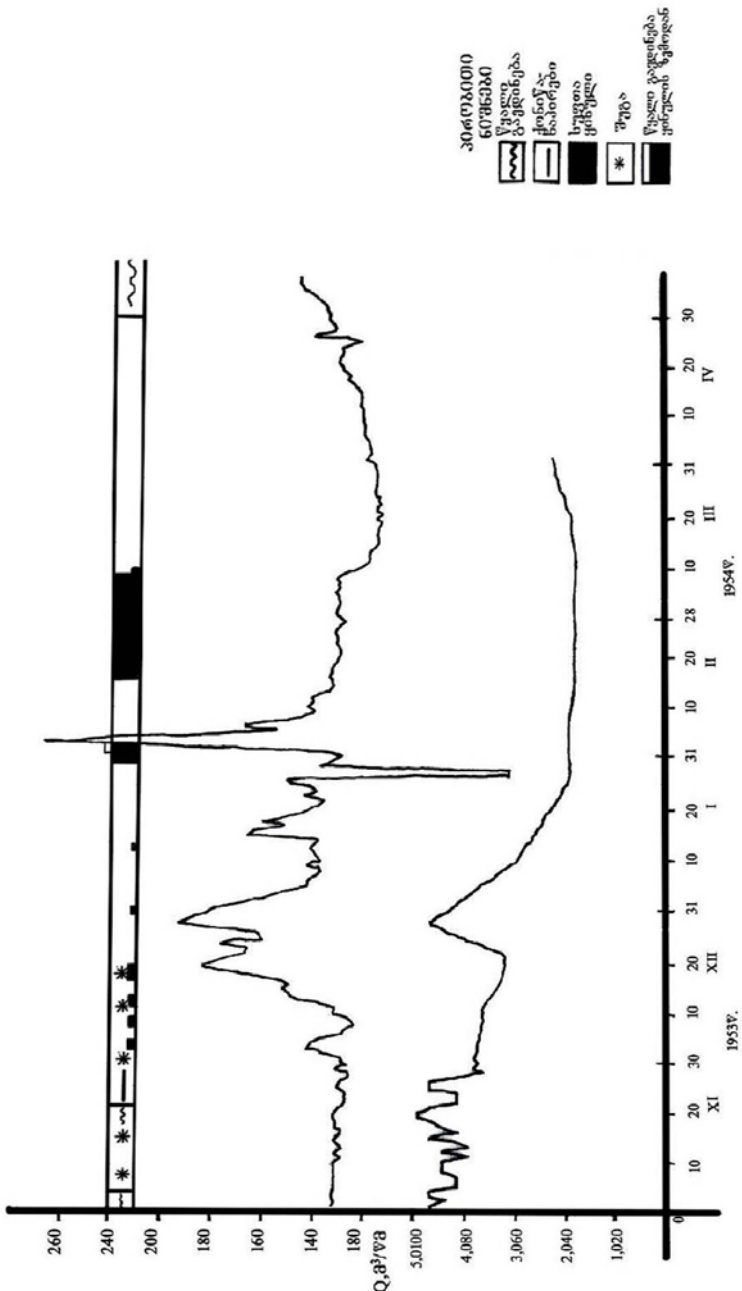
1. არამდგრადი დონეები ხშირი პიკების მორიგეობით (ნახ. 15);

2. 10-25 დღის პერიოდის მორიგეობით მაღალი დონეები (ნახ. 16);

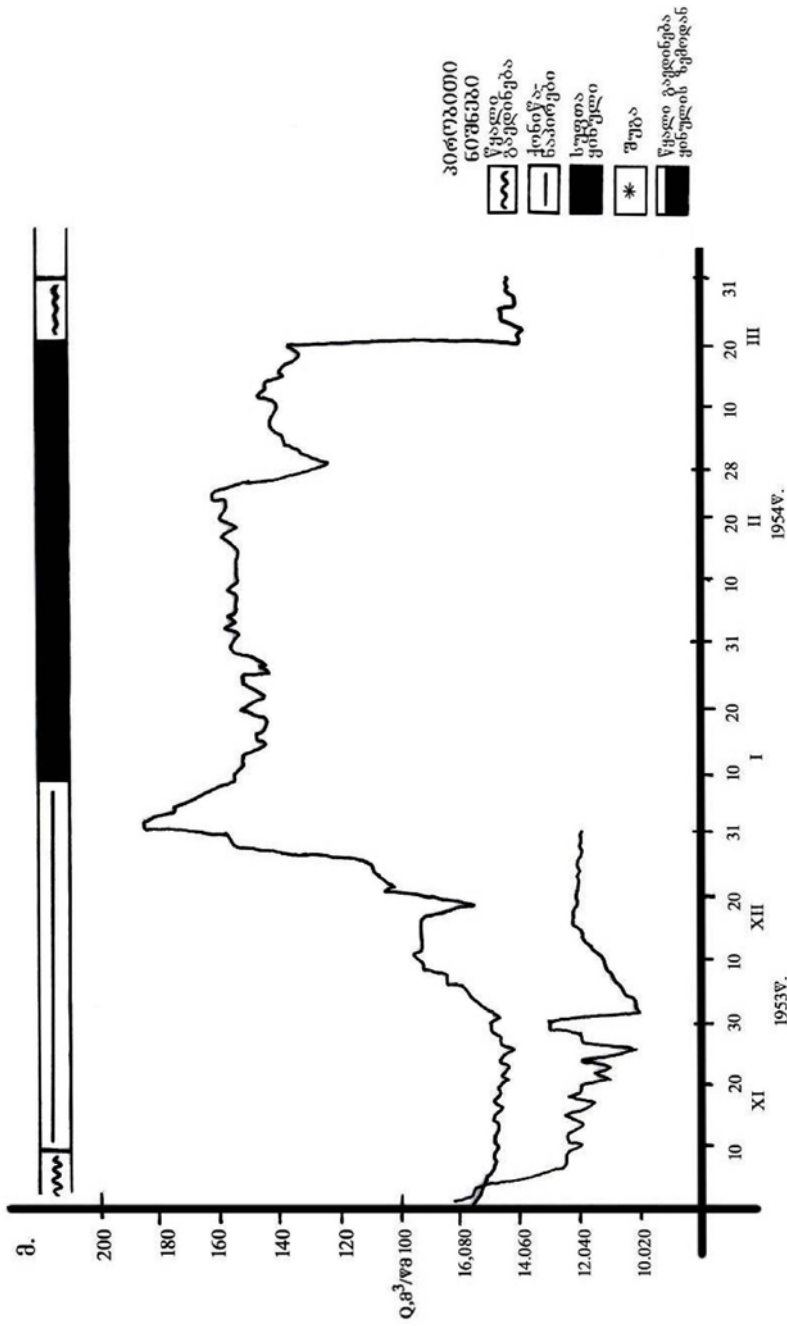
3. 80-90 დღის მდგრადი მაღალი დონეები, 5-10 სმ რყევადობით დღეში (ნახ. 17).

ზვავის გავრცელების ზონაში ხშირია ორივე პროცესის დამთხვევა. ტიპურ მაგალითს ადგილი პქონდა მდ. დიდ ლიანებზე. 1985 წ დიდთოვლობის დროს. იგი ძლიერ ჩაიხერგა სოფ. ედისის ქვემოთ არსებულ ვიწრობში. ნაზვავი თოვლის კაშხლის ზემოთ წყალი დაგუბდა, დაბალი ტემპერატურის გამო გაძლიერდა თოშის წარმოშობა, მცურავი ჟინულების შემოტანა, ამით კიდევ უფრო გაძლიერდა თოვლის კაშხალი და წყლის დაგუბებაც. წყლის ზედაპირზე გაჩნდა ჟინულსაფარი. კაშხალმა მომატებულ წყალს ვერ გაუძლო, გაირდვა იგი და ძირს დაეშვა წყლის დიდი მასა, 1,5-2,5 მ წყლის დონით, მოპქონდა დიდი რაოდენობით ნამსხვრევი ჟინულის ლოდები, რომლის ნაწილი გადმოყრილი იყო მდ. ლიანების ნაპირებზე და გამვლელ-მნახველები განცვიფრებული იყვნენ ჟინულის ლოდების სიდიდით, მათი სიგრძე 1-1,5 მ აღწევდა, სიგანე 0,6-1,0 მ, სისქე კი 0,2-0,4 მ. სამწუხაროდ, წყალმოვარდნამ გაიარა დაკვირვების ვადებს შორის და შეუმჩნეველი დარჩა დამკვირვებლისათვის ჯავასა და კეხვში.





ნახ. 16. გვ. პოლიტექნიკური ალაზანი - სოფ. დარიზო. 1953-1954 წ-ების
დონეები და ხარჯები.

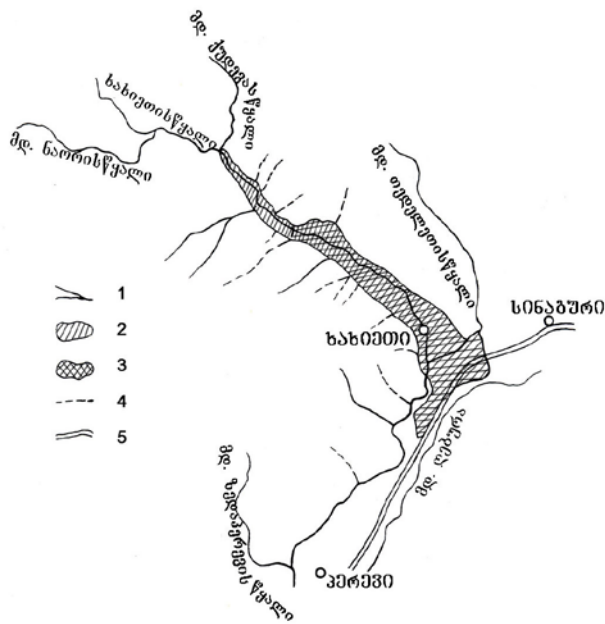


გან. 17. გლ. 01 უცხელის ალაზანი - სოფ. შენაც. 1953-1954 ვ-კვი. ლინეარული და სარჯები

აღწერილ ტიპურ შემთხვევებს ხშირად აქვს ადგილი და დღესაც გრძელდება. მარტო 2005 წ დიდოვნობამ, ნამქერიანობამ, წვიმებით და ჩახერგვებით გამოწვეულმა კატასტროფებმა ქვეყანას საერთო ჯამში მიაყენა 1,6 მილიარდი დოლარის მატერიალური ზარალი.

2.3. პლავ-ზეპუბისა და მეჭყრების მოვლენებიან დაგავშირებული ფალიდობები და ფალოვარდები

მყინვარული ნაზღვლები წყალმოვარდნების მსგავსად, დიდი სიძლიერით გამოირჩევიან წყალდიდობები და წყალმოვარდნები, რომლებიც დაკავშირებულნი არიან ხეობების კლდე-ზეგვებითა და მეწყრებით ჩახერგვასთან. მათ რიცხვს ეკუთვნის 250-300 წლის წინათ წარმოშობილი დიდი და პატარა რიწა მდ. ჯამპალის ხეობაში (4,5, ნახ. 6), 1991 წ წარმოშობილი ამტკელისა (8, ნახ. 6) და ქვედრულას (10, ნახ. 6) ტბები, შესაბამისად: მდინარეების ამტკელისა და ქვედრულას ხეობებში, 1954 წ წარმოშობილი ღორჯომის 4 ტბა (27, ნახ. 6) მდ. ღორჯომის წყლის ხეობაში (აჭარა), განმეორებით 1992 წ იმავე მდინარეში წარმოშობილი 1 ტბა; 1959 წ – მდ. ჩხერიმელას ხეობაში (22, ნახ. 6), 1963 წ წარმოშობილი აწგარის ტბა მდ. ჩხალთას ზემო წელში (7, ნახ. 6), 1978 წ - კელასურის ტბა მდ. კელასურის ზემო წელში (6, ნახ. 6), 1989 წ წარმოშობილი სხალთას ტბა, მდ. სხალთას ხეობაში (26, ნახ. 6), 1991 წ – ხახიეთისწყლის (11), ფაწას და ჯრუჭულას ტბები (9,11, ნახ. 6). იმავე სახელწოდების მდინარეების ხეობებში. ამ ჯგუფს ეკუთვნის მეზობლად მდებარე ტბები. მათ შორის, უძველესზე უძველესი კაზენოიამას ტბა 1870 მ სიმაღლეზე, დაღესტანსა და ჩერენო-ინგუშეთის საზღვარზე (18, ნახ. 6), 2500-3000 წლის წინათ წარმოშობილი აბრაუს ტბა 84 მ სიმაღლეზე, შავი ზღვის პირას ქ. ნოვოროსიისკოთან ახლოს (1, ნახ. 6), 1937 წ წარმოშობილი კებასოის ტბა მდ. შარო-არღუნის ხეობაში (19, ნახ. 6). აქედან, თავისი კატასტროფული შედეგებით გამოირჩევიან სხალთას (26, ნახ. 6), ხახიეთისა (11, ნახ. 6, ნახ. 18) და კაზენოიამას (19, ნახ. 6) ტბები, რომელთა წარმოშობის პერიოდში კლდე-ზეგვებმა და მეწყრებმა ჩამარხეს სოფლები წაბლანა, ხახიეთი და კაზენოიამა, ასევე მდ. კურკანჩაიზე წარმოშობილი გიოჭ-გელის ტბა (25, ნახ. 6).



ნახ. 18. მდ. ხახისისწყლის კლდეზვავით ჩახერგილი უბანი
1-მდინარე; 2-დაგუბებული წყლის უბანი; 3-კლდე-ზვავით
ჩახერგილი უბანი; 4-მშრალი ხვი; 5-გზა.

უნდა შევიზნოთ, რომ მათი წარმოშობა
დაკავშირებულია ძლიერ მიწისძვრასთან. ამ პერიოდში მათთან
ერთად ჩნდება მრავალი პატარა სხვადასხვა ზომის ტბები.
მაგალითად, 1991 წ 29 აპრილს მიწისძვრის გავრცელების
ზონაში დაფიქსირებული იყო ასეთი 35-მდე ტბა. აქედან, დიდი
იყო ფარას, ხახისისა და ჯრუჭულას ტბები, შესაბამისად 3,8,
2,1 და 0,375 მლნ მ³ წყლის მოცულობით. ამავე პერიოდში
მრავალ ადგილას გაჩნდა ნაკრალები (ნახ. 19), სადაც ადგილი
ჰქონდა ზედაპირული წყლის დაგროვებას, რის გამოც წყლით
გაჟღენთილი მასა ნელ-ნელა მოცოცავდა (მდ.
სირსელებერტდონი) და ხდებოდა განმეორებითი მეწყერების
მოქმედებები.

ასევე არსებობს ტბები, რომლებიც სუსტი მიწისძვრის
დროს წარმოშვნენ, მაგალითად, 1989 წ წარმოშობილი

სხალთის ტბა აჭარაში (27, ნახ. 6), 1968 წ იანვარში
წარმოშობილი ახტუს ტბა მდ. მზიმთას ზემო წელში (2, ნახ. 6)



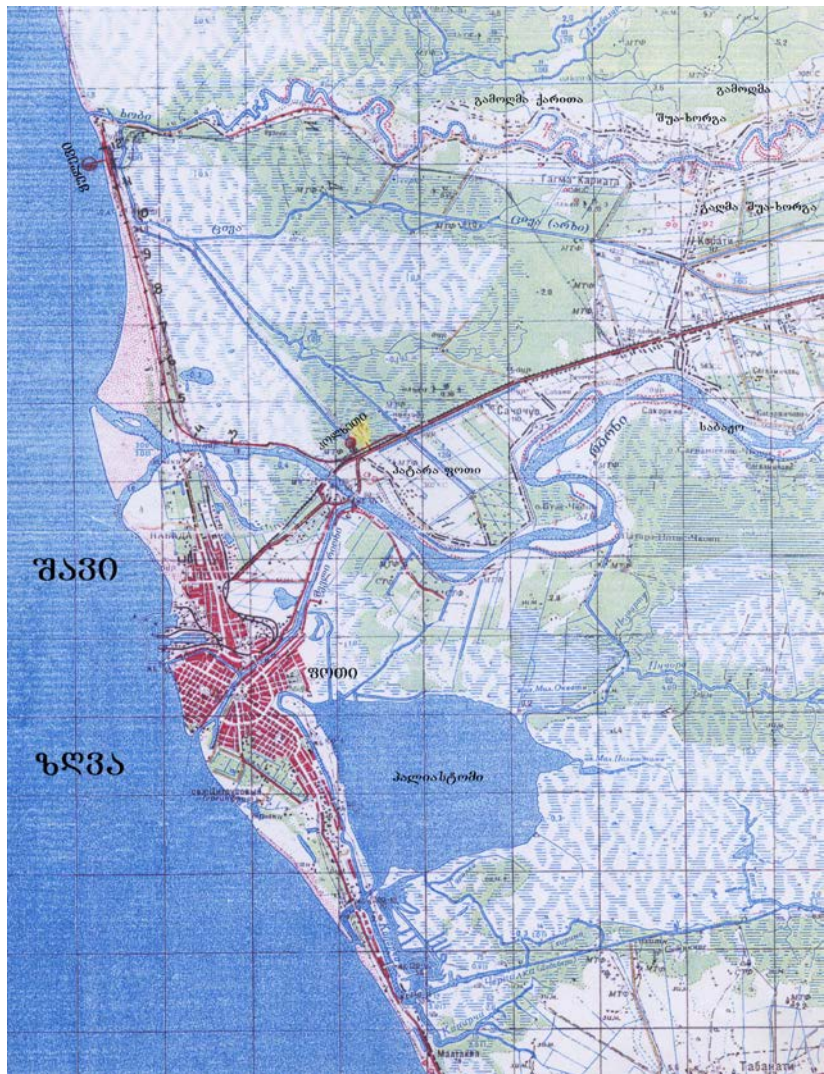
ნახ. 19. 1991 წ. 29 აპრილს მიწისძვრის შედეგად დანაპრალებული
ფერდობი ქ. ამბოლაურში

ორივე შემთხვევაში ადგილი პქონდა 2-4 – ბალიან მიწისძვრას,
მაგრამ დიდი სტიმულირების როლი ითამაშა თოვლის

საფარის ინტენსიურმა დნობამ, პირველ შემთხვევაში, და თაგსებმა წვიმამ, მეორე შემთხვევაში, რომლებმაც გააძლიერეს ნიადაგის საფარის ტენიანობა, შემდეგ კი – მეწყრების და კლდე-ზვავების ჩამოსვლა. მსგავს მოვლენას ადგილი ჰქონდა კაზენოიამაში (19, ნახ. 6).

2.4. შავი ზღვის სანაკირო ზონის ფრანზიტული მდინარეების კატასტროფული ფქალმოგარღების დატბორვასთან დაკავშირებული ნაზღლევი ფქალმოგარღენა

შავი ზღვის სანაკირო ზონის ცენტრალური ნაწილი მდინარეების ხობისა და რიონის შესართავებს შორის წარმოადგენს თითქმის ზღვის დონეზე, ზოგან კიდევ უფრო დაბლა მდებარე სუსტად დაქანებულ დაბლობს, გამოყოფილს შავი ზღვიდან ნაპირ გასწვრივ 2,5-4 მ სიმაღლის დიუნით (ნახ. 20). ნაბადას სახელით წოდებული დაბლობის კიდეებზე გაედინება ტრანზიტული მდინარეები ხობი ჩრდილოეთით და რიონი სამხრეთით. მათ შორის გაედინება თითქმის ხელოვნურად, ჭარბი წყლისაგან გამტვირთავი მდ. ცივა, მრავლი წყალგამყვანი არხების ქსელით. ნაბადას რელიეფში მნიშვნელოვანია აგრეთვე 2-3 მ ნაკარი მიწა, რომელზედაც გაყვანილია სენაკი-ფოთის სავტომობილო და რკინი გზები. ასევე მნიშვნელოვანია დასახელებული მდინარეების გასწვრივ 5-6 მ სიმაღლის ქვიშიანი დამბები, რომლებიც იცავენ ტრანზიტულ, მდინარეთა შორის მიმდებარე ნაბადას ტერიტორიას დატბორვისაგან. მაგრამ მაინც აქვს ადგილი დატბორვას. ისტორიაში განასკუთრებული ადგილი უკავია 1978 წ 31 იანვრის უჩვეულო კატასტროფულ წყალმოვარდნებს მდინარეებზე რიონსა და ხობზე; სადაც, (განასკუთრებით მდ. რიონზე), გაიარა 1000 წელიწადში ერთხელ განმეორადობის უდიდესმა კატასტროფულმა წყალმოვარდნამ, რომელმაც არა მარტო გაარღვია მარჯვენა დამბა, არამედ გადალახა 2-3 მ სიმაღლის რკინიგზა და სააგვიმობილო გზა და ამით გააძლიერა ნაბადას დაბლობის დატბორვა. წყალმოვარდნის წყლის შემონადენი იმდენად დიდი იყო, რომ მდ. ცივა უძლური აღმოჩნდა გაეტარებინა ჭარბად მოდენილი წყალი. დაიწყო წყლის დაგუბება და წარმოიშვა 200 კმ² ფართობის მქონე



ნახ. 20 მდ. რიონის პიდრობრავიკული ქსელის ტოპოგრაფიული რუკა
(კოლხეთის დაბლობი)

დაგუბებული ტბა (ნახ. 21-24); წყლის დონემ მიაღწია ნაპირგასწვრივ დიუნის სიმაღლეს და დაიწყო წყლის გადმოსვლა დიუნის თხემიდან; იგი გაირდება უცლევთან ახლოს 100-150 მ სიგანით, რის შედეგად წარმოიშვა ნაზღვლევი

წყალმოვარდნა და იქვე 500-700 მ გავლის შემდეგ შეუერთდა შავ ზღვას.



ნახ. 21. მდ. რიონის 1987 წ 31 იანვრის დატბორვის შედეგები სოფ. ძველონ-ჭალადიდის მონაკვეთზე



ნახ. 22. მდ. რიონები 1987 წ 31 იანვრის დატბორვის შედებები სოფ.
გვალონ-ჭალადიდის მონაკვეთზე



ნახ. 23. მდ. რიონები 1987 წ 31 იანვრის დატბორვის შედებები სოფ.
გვალონ-ჭალადიდის მონაკვეთზე



ნახ. 24. მდ. რიონებ 1987 წ 31 იანვრის დატბორვის შედებები სოჭ.
გვალეონ-ჰალადიძის მონაცემთა ცენტრის

25. აციროპოზური ფართორების გამოცელების ზონაში ცაზღვის ფალიდობები და ფალოვარდები

საქართველოს ტერიტორიაზე სამეურნეო საქმიანობისათვის ათვისებულ რაიონებში შესამჩნევად იზრდება ანთროპოგენური დატვირთვა. მასთან ერთად ტერიტორიის განვლადობაც. მაგრამ მას ხელს უშლის მრავალი მშრალი ხევები, ღელეები, სარწყავი და სადრენაჟო არხები, ტბორები და სხვა. განსაკუთრებით ძლიერდება მათი ზემოქმედება ტერიტორიის გავლაზე წვიმისა და თოვლის საფარის ინტენსიური დნობის დროს, როდესაც ისინი გადაიქცევიან ძლიერ ნიაღვრებად, მდინარეებად. ამიტომ ასეთ რაიონებში მრავალ ადგილას აგებენ მიწაყრილებს, რინაბეგონის კედლებს, რკინის მილის ხიდებს. ნიაღვრების დროს მათი მიმღები იხერგება მდინარეების მიერ მოგანილი ძირ-ფესვიანად მოთხრილი ბუჩქებით, ხეებით, უვარგისი საოჯახო ინვენტარებით; ადგილი აქვს წყლის დაგუბებას, შემდეგ მათ გარდვევას და მასთან დაკავშირებულ წყალმოვარდნებს. ასე იყო 1979 წ 31 აგვისტოს

შავი ზღვის სანაპირო მდინარეებზე [53]. 1983 წ ივნისის თვეში კახეთსა და მარნეულის მდინარეებსა და ლელეებზე; მათი შედეგები კარგად ჩანს ნახ. 25-29. საერთო ზარალმა შეადგინა 18 მლნ. დოლარი. ასევე აჭარის რეგიონის მდინარეებზე 2002 წ 13-14 ივლისში (ნახ. 28) მაშინ დანგრეული ხიდის ადგილას რკინის მილის ხიდი გაკეთდა, მაგრამ 2005 წ მაისში, ისევ განმეორდა წყალმოვარდნები და საბოლოოდ დაანგრია აღდგენილი ხიდი (ნახ. 29).



ნახ. 25. მდ. ორმოთულა ბურჯანიან ახლოს წყალმოვარდის შემდეგ



ნახ. 26. მდ. ჰერებისხევი უქალმოვარდის გეგმებ



ნახ. 27. მდ. ირმოტულა ბურჯანიან ახლოს უქალმოვარდის გეგმებ



ნახ. 28. მდ. სავრისწყალის 2002 წ 13-14 03ლ0ს0



ნახ. 29. მდ. სავრისწყალის 2005 წ მაისი. (განმეორებითი
წყალმოგარდნის შედეგები; წაიღო ახალი აშენებული
ხიდი)

ანთოროპოგენური მოქმედების კატეგორიას ეკუთვნის ეწერ-წყნეთის წყალსაცავი ქ. თბილისთან ახლოს. იგი აგებული იქნა მდ. ვერეს მარჯვენა შენაკადის მდ. ხევისწყლის ზემო წელში (ნახ. 30). 1948 წ მდინარე გადაკეტილი იყო შიწის ყრუ კაშხალით, რომლის სიმაღლე შეადგენდა 11 მ, სიგრძე 90 მ, თხემის სიგანე 3 მ. მდინარის დაგუბების შედეგად წარმოიშვა



ნახ. 30. მდ. ხევისწყლის ქრუ მიწის კაშხლის სქემა.

წყალსაცავი სიგრძით 170-190 საშუალო სიგანით 50 მ, საშუალო სიღრმით 3 მ; წყლის სარკის ფართობი შადგენდა 0,009 კმ², მოცულობა 27 ათასი მ³. 1980 წ 8 და 13 მაისის წვიმების შედეგად წყლის დონე მიუახლოვდა კაშხლის თხემს 0,8-1,0 მ. წყლის დაწოლის შედეგად დასკდა მოასვალტორებული თხემის ზედაპირი, რასაც მოჰყვა ჯებირის გარღვევა. წყალსაცავი ნახევარ საათში დაიცალა. ნაზღვლევმა წყალმოვარდნამ გაიარა თვით მდ. ხევისწყალის ხეობა და მოლიანად დატბორა იგი (ნახ. 31,32). ასევე დაიტბორა მის გზაზე შემხვედრი საცხოვრებელი სახლი (ნახ. 33), სადაც შეიწირა 7 ადამიანი სიცოცხლე.



გახ. 31. ტყალსაცავის კაშხალი ბარლვევის შემდეგ



ნახ. 32. მდ. ხევისრყელის ხეობის ძირი კაშხლის გარღვევასთან დაკავშირებული წყალმოვარდნის შემდეგ. (ზედა მარჯვენა მხარეზე ფერტრ ტონში მოჩანს წყნეთის წყალსაცავის მოლამული ძირი)



ნახ. 33. მდ. ხევისრყელის ხეობის ძირას მდებარე პირველი სახლ-პარი წყალმოვარდნის გავლის შემდეგ. (სახლის კედლის ფონზე მოშავო ფერის ზოლი გავლილი წყალმოვარდნის მიერ დატოვილი კვალი)

ანალოგიური შემთხვევები სშირია მსოფლიო პრაქტიკაში. მაგალითად, 2009 წ 26 მარტს ინდონეზიის დედაქალაქ ჯაკარტის მახლობლად სიტუ გინტუგის ტბა გადაპეტილი იყო ტანგერახის 10 მ სიმაღლის მიწაყრილით. ძლიერი წვიმის შედეგად 2 მდნ მ³ წყალით გადავსებულმა ტბამ გაარღვია მიწაყრილის ჯებირი და 4 მ სიმაღლის მძლავრმა ნაკადმა დატბორა ახლომდებარე სოფლები და 50-მდე ადამიანის სიცოცხლე შეიწირა.

3. ხეობების ჩახერგვების და მათ გარღვევებთან დაკავშირებული მოვლენების პიროვნობიში დახასიათება

3.1. ხეობის ჩახერგვების პროცესების გავლენა მფინარევებისა და მყინვარების რეზისუატებზე

მდინარეებისა და მყინვარების რეჟიმზე დიდ გავლენას ახდენს ხეობების ჩახერგვებით გამოწვეული პროცესები, რადგან ჩახერგვის ქვემოთ აღილი აქტს მდინარეების თითქმის “დაშრობას”, როგორც ეს მოხდა 1832 და 1909 წწ მდ. თერგის, 1978 წ მდ. კელასურის დაგუბებისას და სხვა. ამ პერიოდში პირველ ინფორმაციას მდინარის პირას მცხოვრები მოსახლეობა იძლევა. წყლის დაგუბება ხდება ჩახერგილი ხეობის ზემოთ. ამ დროს წყლის დონე 90-100 მ აღწევს, როგორც, მაგალითად, 250-300 წლის წინათ მდ. ჯამპალას [10], 1832 წ მდ. თერგის [21], 1891 წ წონის ქვაბულში წყლის დაგუბებისას [3]. ზოგ შემთხვევაში დაგუბებული წყლის დონე საშუალოდ შეადგენს 35-55 მ-ს, 5-10 მ-ზე ნაკლები არ ყოფილა. როგორც ეს იყო 1991 წ 29 აპრილს, მდ. ჯეჯორას, ჩეხურას, ჯრუჭულასა და მათი შენაკადების დაგუბებულ უბნებზე. აღნიშნული სიღრმეები დამახასიათებელია, უმეტესად, ჩახერგილ კაშხალობა ახლოს. ეს კაშხლები ერთ კვადრატულ მეტრზე 55 ტ წნევის ქვეშ იმყოფებიან. სწორედ ასეთი დაწოლის შედეგია მყინვარის რეჟიმის დარღვევაც. მას ადგილი პქონდა მყინვარ აბანოზე 1910 წ 14 ივნისამდე [21]. კლდეზვავის დარტყმის შედეგად წარმოშობილ ყინულოვან ნაპრალებში, ჩავარდნილ ადგილებში, ყინულშიდა და ყინულქეშა სიცარიელეებში დიდი რაოდენობით დაგროვილი წყლის დაწოლის შედეგად მყინვარმა კატასტროფულად წინ წაიწია 170-180 მ. წყლის დაწოლა რომ დიდი იყო, ადასტურებს ისიც, რომ დაგუბებული წყლისაგან დაცლილმა მყინვარის ენამ, რასაც ადგილი პქონდა 4-ჯერ (14, 27, 29 ივნისსა და 3 ივლისს), აგვისტო-სექტემბერში წინ წაიწია სულ 15-16 მ-ით, ე. ი. 11-12-ჯერ ნაკლები, ვიდრე დაგუბებული ტბის გარღვევამდე. კიდევ უფრო მეტი, შემდგომ მომდევნო 1911, 1912 და 1913 წწ დაგუბებული წყლისაგან დაცლილმა მყინვარის ენამ წინ

წაიწია 1910 წ შედარებით 41-42 პ. ეს, თავის მხრივ, მიგვითოთებს, რომ მყინვარის სტაბილური მდგომარეობა ისევ დამყარდა.

ისტორიაში ბევრი შემთხვევაა, როდესაც კლდე-ზვავებისა და მეწყრების გარვცელების ზონაში იცვლება ჰიდროგრაფიული ქსელი. მაგალითად, 1891 წ ყვირილას სათავეში კლდე-ზვავის მოქმედებისას ერთდროულად ადგილი ჰქონდა მდ. ჯეჯორას მიერ მდ. ყვირილას ძელი სათავის მოტაცებას [3]. ქვის ნაკადის წინ სვლამ მდ. სინაგურისწყლის ხეობაში მდ. დებურას შესართავი მოსწყვიტა მდ. ხანიუთისწყალს სოფ. ხანიუთიან და 4 კმ-ით ქვევით გადაიტანა [3]. ამით შეიცვალა მდ. ლებურასწყლის ჰიდროგრაფიული პარამეტრები (ნახ. 18).

აქედან გამომდინარე, მდინარეებისა და მყინვარული ხეობების რეჟიმზე, ჩამხერგავი პროცესების გავლენა, მათი განსაზღვრა, დაფიქსირება და შესწავლა მნიშვნელოვანი და აუცილებელია.

3.2. დაგუბეული ფაების ხანგრძლივობის თავისებურებანი

ხეობების ჩახერგვის შედეგად წარმოშობილი დაგუბებული ტბების არსებობის ხანგრძლივობა სხვადასხვაა, რაც მრავალ ფაქტორთან არის დაკავშირებული. უმეტეს შემთხვევაში ისინი მაღე ქრებიან. დაგუბებიდან 3-4 დღის შემდეგ გაქრა: 1832 წ 22 აგვისტოს, 1909 წ 6 ივლისს და 1963 წლის 16 ივნისს წარმოშობილი დაგუბებული ტბები მდ. თერგზე (14,15,16,17, ნახ. 6), მდ. წხალთაზე, აწგარაში (7, ნახ. 6). 6 დღის, 16 დღის შემდეგ კი 1991 წლის 29 აპრილს წარმოშობილი ფაწასა და ხანიუთის (14,11, ნახ. 6) დაგუბებული ტბები. 5 წლის შემდეგ გაქრა 1968 წ იანვარში, მდ. მზიმთას ზემო წელის ახწუს ხეობაში წარმოშობილი დაგუბებული ტბა (2, ნახ. 6); 16-20 წლის შემდეგ – 1957 წ მდ. ლორჯომისწყლის ხეობაში წარმოშობილი 4 დაგუბებული ტბა (27, ნახ. 6) (იმავე ადგილას 1992 წ. 14 აპრილს წარმოშვა დაგუბებული ტბა, რომელიც 1 დღის შემდეგ დაიცალა), ხოლო 40 წლის შემდეგ გაქრა 1937 წ. მდ. შარო-არღუნის ხეობის

ზემო წელში წარმოშობილი კებასოს დაგუბებული ტბა (18, ნახ. 6).

არის შემთხვევები, როდესაც დაგუბებული ტბის დაცლა ხდება მრავალჯერ, დროგამოშვებით. ამის ტიპურ მაგალითს წარმოადგენს დიულტიჩაის ტბა (20, ნახ. 6), იმავე სახელწოდების ხეობაში. ძლიერი თავსხმა წვიმის შედეგად ტბაში წყლის დონემ მკვეთრად აიწია და მისი დაწოლის გამო ჩახერგილი კაშხალი გაიღვა 1947 წ 11 სექტემბერს. გარდვევის შედეგად წყლის დონე 30 მ სწრაფად დაეცა. შემდეგ რამდენჯერმე განმეორდა ჩახერგილი კაშხლის გარდვევა, მაგრამ ყველაზე ძლიერ გარდვევას ადგილი პქონდა 1966 წ 25-28 ივნისს, თავსხმა წვიმების დროს. მაშინ დონე 18 მ კიდევ დაეცა; ამჟამად ეს ტბა აღარ არსებობს.

ამასთან ცნობილია ბეკრი ტბა, რომლებიც ასეული და ათასეული წლების განმავლობაში არსებობენ: 100-110 წელი – ამტყელის (8, ნახ. 6) და ქვედრულას (9, ნახ. 6), 250-300 წელი დიდი და პატარა რიწის (4,5), 3000 წელზე მეტი კაზხნოიამას (19, ნახ. 6) ტბები და სხვა. მაგრამ მრავალი მკვლევარი გამოთქვამს აზრს იმის შესახებ, რომ დღეს ბევრგან ირდვევა ტბების არსებობის პირობები, რაც ხელს უწყობს მათი გარდვევის საშიშროების გამძაფრებას. დეგრადაციას განიცდის ტყის საფარი, ფეხს იკიდებს ეროზიული პროცესები, რომლებიც დღემდე შეუმჩნეველია, მაგრამ დროთა ვითარებაში მოსალონდელია მათი გაძლიერება, რაც საშიში პიდროლოგიური მოვლენების წარმოშობის საშიშროებას წარმოადგენს. როგორც ეს მოხდა 1963 წ 7 ივნისს ისიკის ტბაში, სადაც შემოიჭრა 12 მ სიმაღლის დვარცოფული ნაკადი, რომელმაც გააღვია 800 წლიანი ჩახერგილი კაშხალი (ნახ. 34).

ყველივე ეს საფუძველი იყო, ჩახერგვის შედეგად წარმოშობილი დაგუბებული ტბების კატალოგის შედგენის. სადაც მოცემულია ინფორმაცია დაგუბებული ტბების არსებობის, ხანგრძლიობის, დაცლისა და მათი გავრცელების საშიშროების შესახებ. მოცემულია ცხრილები, ასევე რუკა – ჩახერგვების, დაგუბებებისა და ნაზღვლევი წყალმოვარდნების აქტივობის მიხედვით.



ნახ. 34. ისიპის ტბა (შუა აზია, 1963 წ. 5 ივლისი, ტბის ბარღვევამდე) (წინა პლანზე ჩახერგილი კაშხლის თხევზე საზღვაო ბაქანი და გლაციოლოგები გ. ცომაია (მარცხნივ), ს. ზაკივვი, 1962 წ. 4 ნოემბერი)

3.3. დაგუბებული ფაენის დაცლის თავისებურებანი

დაგუბებული ტბების დაცლა თანდათანობით, ზოგჯერ კი უკცრად მიმდინარეობს. თანდათანობითი დაცლის ტიპურ მაგალითს წარმოადგენს კელასურის ტბა. წყლის ჩახერგილი კაშხლის თხევიდან გადმოსვლისას დაიწყო გადარეცხვის პროცესი, მოსცილდა ფხვიერი ნაშალი მასალა და დარჩა მხოლოდ დიდი ლოდები, რომლის ძირას მდინარემ გაიკვლია გზა. იგივე მოხდა მდ. მზიმთას ახწუს ხეობაში; წყლის ეროზიის შედეგად გადარეცხვილი, ჩახერგილი კაშხლის ადგილას დარჩა ვეება ქვის ლოდებისაგან შემდგარი პირამიდა, რომლის ფსკერზე მოედინება მდ. ახწუ და ოვით ეს პირამიდა თავისი გრანდიოზულობით იპყრობს ტურისტების კურადღებას [22].

უეცარი გარღვევის დროს ბევრია შემთხვევა, როდესაც ჩახერგილი კაშხალი ირღვევა ნაწილობრივ, როგორც ეს

მოხდა ფაწასა (13, ნახ. 6) და ხახიეთისწყლის (11, ნახ. 6) ხეობაში. მაშინ გარღვევის სიღრმე შეადგენდა, შესაბამისად, 11-12 და 20-22 მ, სიგანე 35-50 და 80-100 მ. სხვა შემთხვევაში ადგილი ჰქონდა ჩახერგილი კაშხლის მთლიან გარღვევას. ეს განსაკუთრებით დამახასიათებელია დაგუბებული ტბის ფარგლებში ზედაპირული წყლის დიდი რაოდენობით შემოსვლის პერიოდში, რაც ხშირად ემთხვევა თავსხმა წვიმებს. მაგალითად, 1953 წ 18 აგვისტოს ძლიერი თავსხმა წვიმის შედეგად მყინვარ მნას წყალშემკრები მყინვავრული აუზიდან წამოსულმა წყლის ძლიერმა ნაკადმა გაარღვია მისი ენის ბოლოს არსებული მორენული ტბის მორენული ჯებირი (17, ნახ. 6) და ძირს დაშვებულმა წყალმა ერთი ოთხად გააძლიერა მდ. მნახწყლის წყალმოვარდნა, რომელიც 4-5 მ სიღრმის და 80-100 მ-ის სიგანის წყლის ნაკადათ მოადგა სოფ. მნას მისადგომებს. ფერდობზე წყლის ტალღა 13-14 მ სიმაღლეზე ავიდა, მხოლოდ 1 მ წინააღმდეგობა ვერ გადალახა და დაეშვა ხეობის ძირისაკენ. იგივე მოხდა, როგორც ზემოთ აღნიშნეთ, დიულტიჩაის ტბის ჩახერგილი კაშხლის გარღვევისას.

3.4. დაგუგებული ტბების გარღვევასთან დაკავშირებული ტყალღოვარდნების წყლის მაშინალური ხარჯები

ზემოთ მოყვანილი მონაცემებიდან გამომდინარე, უნდა შევნიშნოთ, რომ დაგუბებულმა ტბებმა, რომლებიც უკვე აღარ არსებობენ, თავისი კვალი მაინც დატოვეს. ჩახერგილი ჯებირების გარღვევის შედეგად ძირს დაშვებული წყალი უდიდეს კატასტროფულ წყალმოვარდნას იწვევს, ასევე დიდია ზარალი, რომელიც ამ მოვლენებს მოჰყება; მაგალითად: 1832 და 1909 წწ მდ. ოერგზე, 1902 და 2002 წწ მდ. გენალდონზე, 1947 და 1961 წწ მდ. დიულტიჩაიზე და სხვა. სამწუხაორდ, არ გაგვაჩნია ცხობები ამ წყლების მაქსიმალურ ხარჯებზე. ამ მხრივ, თუ დავეყრდნობით მსოფლიოს სხვადასხვა ქვეყნების მონაცემებს, შევნიშნავთ, რომ მაქსიმალური წყლის ხარჯები ძალიან დიდია (ცხრ. 4) და დიდ ფარგლებში მერყეობს. მაგალითად, 200-230 მლნ.მ³ მოცულობის მეცბახერისა (შეა აზია) და ტულსეკვას (ბრიტანეთი) დაგუბებული ტბების გარღვევისას წარმოშობილი წყალმოვარდნის წყლის

მაქსიმალური ხარჯი შეადგენდა 1000 (პირველ შემთხვევაში) და 1570 მ³/წ (მეორე შემთხვევაში). ასევე 1500 და 1700 მლნ. მ³ მოცულობის გრენალუნის (ესპანეთი) და ლოვივჯორჯის (ალიასკა) დაგუბეტული ტბების გარღვევის შედეგად წყალმოვარდნის წყლის მაქსიმალურმა ხარჯებმა მიაღწიეს შესაბამისად 5000 და 10000 მ³/წ. როგორც შენიშნავს ა. კრენცნე [26], ეს 100-ჯერ აღმატება მსოფლიოში ყველაზე უდიდეს მდ. ამაზონის წყლის მაქსიმალურ ხარჯს შესართავთან. მოყვანილი მონაცემებიდან ჩანს, რომ წყლის მაქსიმალური ხარჯების სიდიდეები დამოკიდებულებაში არიან ტბების წყლის მოცულობებთან, მაგრამ ეს დამოკიდებულება

ცხრილი 4.

დაბუბნებული ტბების გარღვევებითა დაკავშირებული
წყალმოვარდნების წყლის მაქსიმალური ხარჯები

ტბის დასახელება	რაიონი	ტბის წყლის მოცულობა, მლნ. მ ³	მაქსიმალური		სიდიდე, მ.
			წყლის სარჯი, მ ³ /წ	წყლის ხინჯარები, მ ³ /წ	
მეცბარეხი	შუა აზია	200	1000		
ტუდსეკვა	ბრიტანეთი	230	1570		
გრენალოუნი	ესპანეთი	1500	5000		
კი-ჯორჯი	ალიასკა	1700	10000	10	
მისსულა	ჩრდამერიკა	2200000	21000000	20	
ბაშაუსა	ალტაი		880000	30	85–106
წუსიკურაისკი	ალტაი		1000000	20	150
კატუნი	ალტაი		560000	14	
შანტა	ჩილი			25–30	60–120
კოლკამაილი	მყინვარწერი			50	80–120

არ არის ცალსახა. მაგალითად, მეცბახერისა და ტუდსეკვას, ან გრენალუნისა და ლეიკჯორჯის შედარებისას წყლის მოცულობები უმნიშვნელოდ განსხვავდებიან ერთომეორისაგან. წყლის მაქსიმალური ხარჯი გაიზარდა 1,5-2,0-ჯერ. ტუდსეკვასა და მისსულას შედარებისას წყლის მოცულობა გაიზარდა თითქმის 10000-ჯერ, წყლის მაქსიმალური ხარჯის სიდიდე კი 21000-ჯერ. ეს აისხება იმით, რომ მოყვანილი წყლის ხარჯები გაზომილია არა ტბების გარღვევის აღგილას, არამედ

რამდენიმე ათეული ან ასეული კილომეტრის ქვემოთ და, ფაქტიურად, წყლის ეს ხარჯი არის ნაკადის გაშლის პროცესების ზეგავლენის შედეგად ტრანსფორმირებული წყლის ხარჯები. თვით წყლის ეს ხარჯები არის მაქსიმალური ხარჯები. ამაზე მეტყველებს ზემოთ მოყვანილი წყაროებიდან ამოკრეფილი ცნობებიც. ასე მაგალითად, მისეულას დაგუბებული ტბის გარღვევისას, რასაც ადგილი აქს ყოველ წელიწადში ან პერიოდულად, წყლის მაქსიმალური ხარჯი მერყეობს 2,7 მლნ-დან 13,7 მლნ.მ³/წმ-ძღვ; მეცბახერის დაგუბებული ტბის გარღვევის შედეგად მდ. ინილჩევის შესართავთან (60-70 კმ გავლის შემდეგ) წყლის მაქსიმალური ხარჯი შეადგენდა 1963 წლს 650 მ³/წმ, 1964 წ - 480 მ³/წმ, 1965 წლს 420 მ³/წმ [18,19]. ეს დამოკიდებულია ჩახერგილი კაშხლის გარღვევის სიდიდეზე, მასში ჩაჭრილი კალაპოტის მორფომეტრიულ მახასიათებლებზე. მეტად საინტერესოა ამ მხრივ 1991 წ 29 აპრილის მიწისძვრის შედეგად წარმოშობილი ხახიეთის და ფაწას დაგუბებული ტბების გარღვევით გამოწვეული წყალმოვარდნის წყლის მაქსიმალური ხარჯები.

1991 წ 4 მაისს, 6 საათზე დაიწყო ფაწას დაგუბებული ტბიდან წყლის გადმოსვლა კაშხლის მარჯვენა მხარეს ფერდობთან, კონტაქტის ადგილას, სადაც გაიკეთა 4-5 მ სიგანის კალაპოტი. კაშხლის გარღვევა მოხდა იმავე დღის 18 საათსა და 45 წუთზე, ძირს დაეშვა დაგუბებული წყალი, რომლის დონემაც მაქსიმუმს მიაღწია 19 საათზე. შემდეგ კი დაიწყო დონეების დაცემა და 5 მაისის სამი საათისათვის ადგადა მდ. ფაწასწყლის ჩვეულებრივი დონე. კაშხლის გარღვევა მოხდა ნაწილობრივ. დარჩენილი დაგუბებული ტბის სიღრმე გახდა 20-22 მ. წყალმოვარდნის წყლის მაქსიმალური ხარჯი გაზომილ იქნა მდ. დიდი ლიახვის - სოფ. კეხვის ჰიდროლოგიურ პეტში გავლილი წყლის ნიშნულის გაზომვის მეთოდით. გამოთვლისათვის გამოყენებულ იქნა ნიველირებით გადაღებული მდინარის განივავეთის პროფილი გავლილი წყალმოვარდნის ტალღის მაქსიმალურ ნიშნულამდე, შემდეგი მორფომეტრიული მონაცემების გამოყენებით: მდინარის სიგანე 39მ, საშუალო სიღრმე $h=5,82$ მ, კალაპოტის საშუალო დახრილობა $i=11\%$ და კალაპოტის მქისაობის კოეფიციენტი $n=0,05$

[34]. მოყვანილი მონაცემების საფუძველზე გამოსათვლელი ფორმულით

$$Q_s = \frac{\omega^{2/3} t^{1/2}}{n}, \quad (1)$$

კაშხლის გარღვევის ადგილიდან 20 კმ-ის ქვემოთ მიღებულ იქნა წყალმოვარდნის წყლის მაქსიმალური ხარჯი $Q=1543 \text{ მ}^3/\text{წ}\cdot\text{მ}$, რაც 6,5-ჯერ აღემატება ჩვეულებრივი წყალმოვარდნის წყლის მაქსიმალურ ხარჯს ($238 \text{ მ}^3/\text{წ}\cdot\text{მ}$, 1967წ. 6 აგვისტო).

განსხვავებულ კითარებაში პქონდა ადგილი ხახიეთის დაგუბებული ტბის გარღვევას. გარღვევა დაიწყო მოგვიანებით, 16 მაისს. მაშინ ადგილი პქონდა წვიმებს; ნალექების რაოდენობა მეტეოსადგურ საჩხერეს მონაცემებით შეადგენდა 8 საათისათვის 2,2 მმ-ს, 20 საათისათვის 29 მმ და დაახლოებით 19-20 საათზე შემოსულმა წყალმა, მისი წყლის მოცულობის ზრდის შედეგად, დაიწყო კლდე-ზვავის კაშხლიდან გადმოსვლა. წყალმა ჩაჭრა კაშხალი სიგანით 58 მ ზემოთ და 10 მ ქვემოთ, 13-14 მ-ის სიღრმეზე.

გარღვევიდან, ნაკადმა 15 წუთში გაირჩინა 3 კმ და სოფ. პერევში, გაზომვების შედეგად ზემოთ მოყვანილი მეთოდით, წყლის მაქსიმალურმა ხარჯმა მიაღწია $806 \text{ მ}^3/\text{წ}\cdot\text{მ}$. შემდეგ დაიწყო წყლის დონეების დაცემა, მაგრამ დაცემა მიმდინარეობდა ნელი ტემპით 17 მაისის 3-4 საათამდე, რადგან გაძლიერდა ზედაპირული ჩამონადენი წვიმების გაძლიერების გამო. ნალექების რაოდენობა 17 მაისის 8 საათისათვის შეადგენდა 21,7 მმ.

მსგავს კითარებაში მოხდა მდ. ჯრუჭულას დაგუბებული ტბის გარღვევაც. მაშინ ადგილი პქონდა ინტენსიურ წვიმებს, ნალექების რაოდენობამ საჩხერის მეტეოროლოგიური სადგურის მონაცემებით შეადგინა 21 მმ. ჯრუჭულას დაგუბებული ტბის გარღვევა მოხდა 1992 წ 17 მაისს, 17 საათსა და 20 წუთზე. გაირღვა კაშხალი და ძირს დაეშვა 375000 მ³ მოცულობის წყლის ნაკადი, რომელიც მოედინებოდა ტალღების სახით და გაიარა ძირითადად 40-45 წუთის განმავლობაში 135-155 მ³/წ[·]მ წყლის საშუალო ხარჯით. მისმა წყლის მაქსიმალურმა ხარჯმა 1 კმ-ის ქვემოთ, გარღვევის

ადგილიდან გაზომილი გავლილი წყლის ნიშნულის მიხედვით ნიველობის მეოთვით, მიაღწია 1075 მ³/წმ. წყალმოვარდნის ძირითად მახასიათებლებს წარმოადგენენ სიგანე 71 მ ზემოთ და 52 მ ქვემოთ, საშუალო სიღრმე 3,2 მ, დახრილობა 62, ქვაღორღიანი და ლოდებიანი კალაპოტი, მქისაობის კოეფიციენტით 0,61.

ზემოთ მოყვანილი მონაცემებიდან ჩანს, რომ წყლის მაქსიმალური სარჯი ერთგვარ დამოკიდებულებაშია დაგუბებული წყლის მოცულობასთან; მართლაც, ფაწას დაგუბებული ტბის მოცულობის 3,8 მლნ.მ³ გარდევებისას წყლის მაქსიმალურმა სარჯმა მიაღწია 1543 მ³/წმ: 2,1 მლნ.მ³ მოცულობის სახიეთის დაგუბებული ტბის გარდევებისას 806 მ³/წმ: 0,375 მლნ.მ³ ჯრუქსულას დაგუბებული ტბის გარდევებისას კი 1075 მ³/წმ. სხვადასხვაობას მაინც აქვს ადგილი. ეს დამოკიდებულია იმაზე, თუ რა მანძილის დაშორებით გაიზომა წყლის მაქსიმალური სარჯი, როგორია კალაპოტის აგებულება, მისი დახრილობა და მასთან დაკავშირებული კალაპოტის მქისაობის კოეფიციენტი. ყოველივე ეს ერთად აღებული წარმოადგენს წყლის მაქსიმალური სარჯების სიღრმეებზე გაშელართვის (გაშლის) პროცესების შედეგს.

3.5. დაგუბებული ტბების გარღვევასთან დაკავშირებული წყალმოვარდნების გაგლობა მდინარეების ზეშიმზე

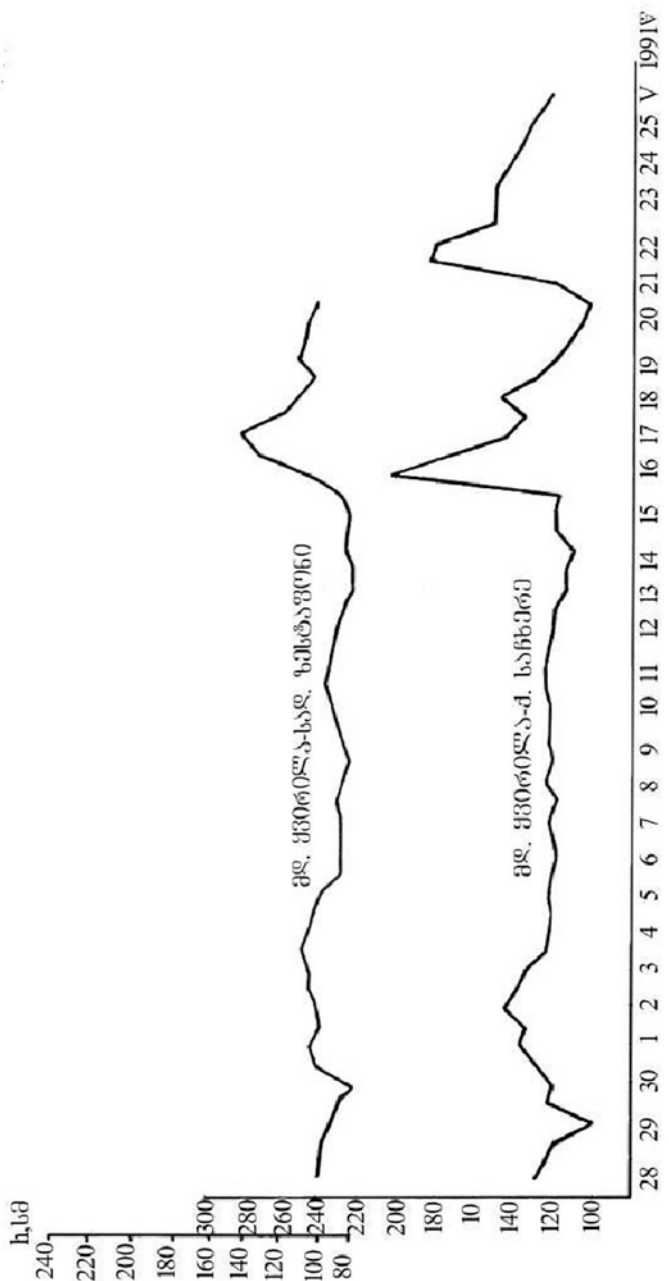
დაგუბებული ტბების გარღვევის ადგილიდან წყალმოვარდნის ნაკადი გაივლის თვით მდინარეს, სადაც მოხდა მისი დაგუბება, შემდეგ კი მის გაგრძელებაზე სხვა მდინარეებს. მაგალითად, ფაწას დაგუბებული ტბის გარღვევის შედეგად წყალმოვარდნის ნაკადმა გაიარა მდ. ფაწა, შემდეგ მისი შესართავის ქვემოთ მდ. დიდი ლიახვი, მისი შესართავის ქვემოთ კი მდ. მტკვარი; ასევე სახიეთისწყლის დაგუბებული ტბის გარღვევის შედეგად წამოსულმა წყალმოვარდნის ნაკადმა გაიარა მდ. სახიეთისწყალი, შემდეგ მის გაგრძელებაზე მდ. ყვირილა, შემდეგ კი მდ. რიონი. ყველა მოქმედ ჰიდროლოგიურ საგუშაგოზე მოხერხდა წყალმოვარდნის ნაკადის დონეების და გავლის დროის ფიქსირება. ეს მასალები წარმოდგენილია ჰიდროგრაფების

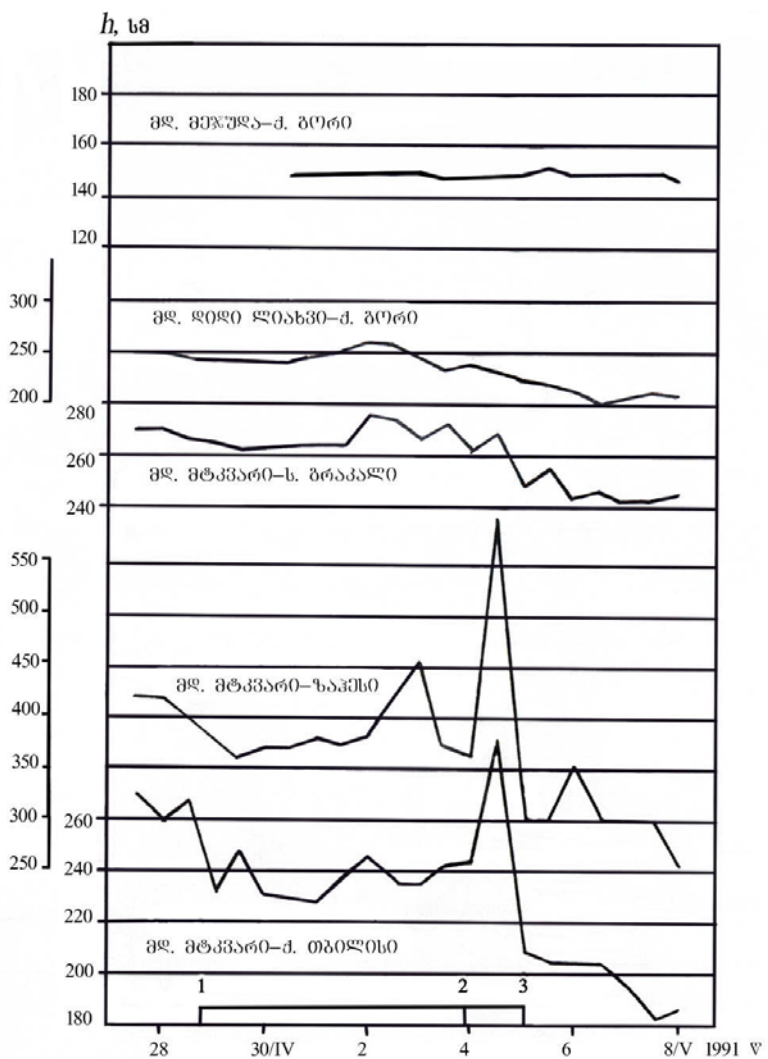
(ნახ. 35 და 36) სახით. აქვე ნაჩვენებია მდ. მეჯუდას პიდროგრაფი ქ. გორთან (ნახ. 36), სადაც ადგილი არ პქონდა მდინარის დაგუბებას. უნდა შევნიშნოთ, რომ ქ. გორისა და გრაკალის პიდროლოგიურ კვეთებში წყალმოვარდნის დონეები დამკირვებელს არ აღუნიშნავს, რადგან წყალმოვარ დნის ნაკადმა გაიარა დაკვირვების ვადებს შორის. პიდროგრაფებიდან კარგად ჩანს, რომ წყლის დონეთა და სარჯოთ ჩვეულებრივ მსვლელობაში მკვეთრად გამოიყოფა დაგუბებული ტბების გარღვევასთან დაკავშირებული წყალმოვარდნის მაქსიმუმები, რომლებსაც ადგილი პქონდა დაგუბებული ფაწას ტბის გარღვევიდან 4 საათის შემდეგ ქ. გორში, 8 საათის შემდეგ ზაჟესში და 9 საათის შემდეგ ქ. თბილისში, ხოლო დაგუბებული სახიეთის ტბის გარღვევიდან 3 საათის შემდეგ ქ. საჩხერეში და 12 საათის შემდეგ ქ. ზესტაფონში, შესაბამისი გავლილი მანძილები კი შეაღგენენ 54, 123, 133, 25 და 54 კმ-ს. მაგრამ პიდროგრაფები ფაწისა და სახიეთისწყლის ტბების გარღვევამდე და გარღვევის შემდეგ დიდად განსხვავდებიან ერთმანეთისაგან.

საყურადღებოა წყალმოვარდნის შემდეგ მდ. მტკვარზე წყლიანობის შემცირება დაახლოებით 50 მ³/წმ-ით ზაჟესსა და ქ. თბილისთან. ეს აისხება იმით, რომ წყალმოვარდნის ტალღამ, რომელსაც დიდი სიჩქარე ქონდა, ააჩქარა მდ. მტკვრის დინება და ამით მდინარის კალაპოტიდან განდევნა წყალი. შემოსული წყალი მდ. მტკვრის კალაპოტში მდ. დიდი ლიახვის შეერთების ზემოთ მიედინებოდა ჩვეულებრივი სიჩქარით, ამით იგი ვერ დაგწია წყალმოვარდნის ტალღისაგან განდევნილ წყალს, რამაც გამოიწვია მდინარის წყლიანობის შემცირება.

მდ. ყვირილაზე, 29, 30 აპრილს შეიმჩნეოდა წყლის დონეთა დაცემა წინა დღის დონეებთან შედარებით, რაც გამოწვეული იყო მდინარეების 30-35 ადგილას დაგუბებით, მიწისძვრის დროს ჩამოსული კლდე-ზვავების ჩახერგვით. 16, 17 მაისს, შესაბამისად, ქ. საჩხერესა და ზესტაფონში მოხდა წყლის დონეთა ინტენსიური მატება 86 და 56 სმ-ით, რაც გამოწვეული იყო სახიეთის დაგუბებული ტბის გარღვევის შედეგად წამოსული წყალმოვარდნით. მაგრამ ეს დონეები, თავის მხრივ, გაძლიერებული და დეფორმირებული იყო წვიმებით გამოწვეული ზედაპირული ჩამონადენით. წყალმოვარდნის ტა-

Ապրիլ ամիսում առաջանալու ամենաբարձր ջեղագիտությունը կազմում է 100-120 մ/վր.
Մայիս ամիսում առաջանալու ամենաբարձր ջեղագիտությունը կազմում է 120-140 մ/վր.
Հունիս ամիսում առաջանալու ամենաբարձր ջեղագիտությունը կազմում է 140-160 մ/վր.

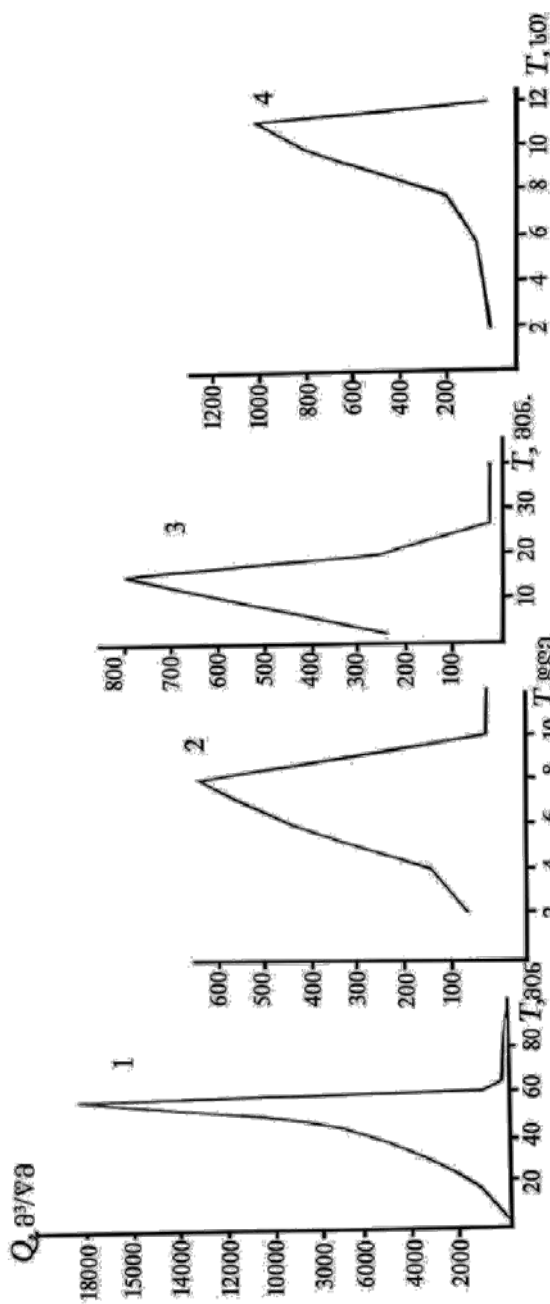




- ნახ. 36. მდ. ვარას დაბუგეული ტეის გარდვევის შედებად
გამოვალები უყალდიღობის გაცლენა მდ. ლილი
ლიახვისა და მტკვრის პილოტის
1. მიწისძვრა და ფაწაზე წყლის დაგუბების დაწყება;
 2. მდ. ვარას ჩახერგილი კაშხლის გარდვევისა და ნაზღვლევი
წყალმოვარდნის დაწყება;
 3. ნაზღვლევი წყალმოვარდნის დამთავრება;
 4. ნაზღვლევი წყალმოვარდნის ტალღაზე გაიარა 23-02
სათებს შორის

ლლის გავლის შემდეგ წყლის დონეები ასევე ინტენსიურად შემცირდა, რაც გაგრძელდა 1-1.5 დღე-დამეს, მაგრამ დონეების ისეთი სახით დაცემას ადგილი არ ჰქონია, როგორც ეს მოხდა მდ. მტკვარზე, ფაწას დაგუბებული ტბის გარდვევის შემდეგ. ეს აისხება მდ. ყვირილას ზემო წელში მოსული წვიმებით, რამაც გამოიწვია მდინარის წყლიანობის გაზრდა და შენარჩუნებულ იქნა წყლის მაღალი დონეები.

უნდა აღვნიშნოთ, რომ წყალმოვარდნის პიდროგრაფების მატების ფაზის ხანგრძლივობა, როგორც ეს ნათლად ჩანს ნახ. 36-ზე წარმოდგენილი პიდროგრაფიდან, ორჯერ ნაკლებია დაცემის ფაზის ხანგრძლივობაზე; ეს, საერთოდ, დამახასიათებელია ყველა იმ წყალმოვარდნისათვის, რომლთა წარმოშობა დაკავშირებულია ჩახერგილი კაშხლის ნაწილობრივ გარდვევასთან. მსგავსი მაგალითები ბევრია შუა-აზიაში [20]. განსხვავებული ხასიათი აქვს იმ წყალმოვარდნის პიდროგრაფებს, რომელთა წარმოშობა დაკავშირებულია ჩახერგილი კაშხლის მთლიან გარდვევასთან. კერძოდ, პიდროგრაფის მატების ფაზის ხანგრძლივობა თითქმის ორჯერ მეტია დაცემის ფაზის ხანგრძლივობაზე. ეს კარგად ჩანს ნახ. 37 წარმოდგენილი პიდროგრაფებიდან (პიდროგრაფები 2-4-ზე).



Гар. 37. Графіки залежності Q від T : 1. 80, 2. 40, 3. 60, 4. 80.

Пояснення до гар. 37: 1. відрізок 20-40; 2. відрізок 40-60; 3. відрізок 60-80; 4. відрізок 80-100.

4. მდინარის ხეობების ჩახერბვასთან დაკავშირებული ჰიდროლოგიური მოვლენების შეზასხვის მეთოდი

4.1. დაგუგებული ფენის პარამეტრების გასაზღვრა

მდინარის ხეობის ჩახერგვის შემდეგ მის ზემოთ ხდება მდინარის დაგუბება, რის შედეგადაც წარმოიშობა ტბა. მისი მორფომეტრიული პარამეტრების დადგენისათვის მსხვილ მასშტაბიან ტოპოგრაფიულ რუკაზე (1:25000-1:100000) აღილზე დააქვთ ჩახერგილი კაშხლის თხემის მდებარეობა $a-b$ (ნახ. 38); შემდეგ იზოხაზების საშუალებით განსაზღვრავენ ჩახერგილი კაშხლის თხემის სიმაღლეს (H) $0-a-b$, (იგივეა რაც იზოხაზი 1850 მოცემულ მაგალითზე), ჩახერგილი კაშხლის სიგანეს (B) $a-b$ რუკაზე გაზომვით და დაგუბებული ტბის სიგრძეს (L) - ჩახერგილი კაშხლის თხემიდან იზოხაზი 1850-ის მდინარის კალაპოტზე გადაკვეთის წერტილამდე (C) $C-0-b$ რუკაზე გაზომვით და გრძივი პროფილის აგებით (ნახ. 39). H , L და B -ს მონაცემებით განსაზღვრავენ მოსალოდნელი წყალსატევის მოცულობას (W), რომელიც მიახლოებით გამოითვლება ფორმულით:

$$W = \frac{LBH}{K}, \quad (2)$$

სადაც K არის ტოპოგრაფიული კოეფიციენტი; იგი იცვლება 2,7-3,3-ის ფარგლებში [8]; გამოთვლებისათვის საშუალოდ ვიღებთ $K=3,0$.

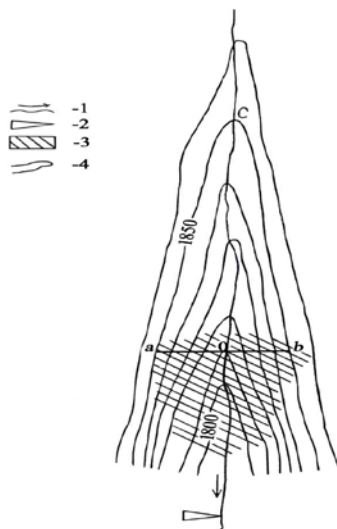
წყლის მოცულობა შეიძლება გამოთვლილ იქნას კიდევ იზობათების მეთოდით, ტოპოგრაფიული რუკის გამოყენებით თუ იზოხაზები ტბის ძირიდან კაშხლის თხემის სიმაღლემდე საკმარისად ასახავენ რელიფის ხასიათს და მოცემული სიზუსტით უზრუნველყოფენ საჭირო იზობათების გატარებას. გატარებული იზობათების საფუძველზე განსაზღვრავენ ბათიგრაფიული მრუდის კოორდინატებს: წყლის დონეების (H_i) შესაბამის წყლის სარკის ფართობებს (f_i) და წყლის მოცულობებს (W_i) ტოპოგრაფიაში ცნობილი გამოსათვლელი ფორმულით:

$$W = \frac{H_1 + H_2}{2} f_1 + \frac{H_2 + H_3}{2} f_2 + \dots \frac{H_{n-1} + H_n}{2} f_n , \quad (3)$$

სადაც f_1, f_2, \dots, f_n არის იზობათებს შორის ფართობები; H_1, H_2, \dots, H_n – იზობათების სიმაღლე. f_1, f_2, \dots, f_n გამოითვლება პლანიმეტრიულის მეთოდით, რომლის თანახმად:

$$f_i = KN_i , \quad (4)$$

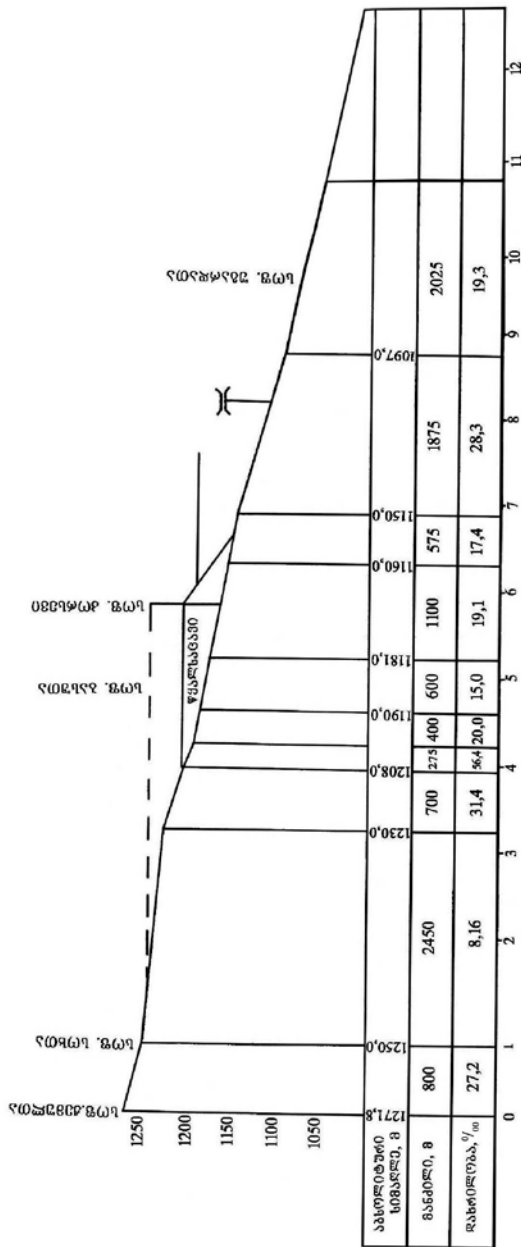
სადაც K არის პლანიმეტრის ერთი დანაყოფის ფასი; N – პლანიმეტრის ორი ანალიზის სხვაობის საშუალო სიდიდე - i .



ნახ. 38. მდინარის ხეობის კლდე-ზავით (მემკრით, მყინვარის გამონატანით) ჩახმატილი უბნის სტეპა.

1-ძღვინარებ, 2-პიდოროლოგიური საგუშავო, 3-ჩახერგილი უბანი, 4-ჩახერგილი კაშხლის თხემი, 0-ჩახერგილი კაშხლის თხემის ვერტიკალურ გადაკვეთის წერტილი კალაპოტან, $a-b$ -ჩახერგილი კაშხლის თხემის თხემის სიმაღლე. 1850-ჩახერგილი კაშხლის თხემის თხემის იზოხაზი, 1810- ჩახერგილი კაშხლის თხემის თხემის კალაპოტან გადაკვეთის იზოხაზი.

6.9b. 39. Բնակչութեան գումարու գումարը բնակչութեան ու բնակչութեան պահանջման համար առավելագույն գումարը է 2025 տարեաւուն դեպքուն



ჩახერგილი უბნის სქემასთან ერთად აგებენ მდინარის ჩახერგილი უბნის გრძივ პროფილს (ნახ. 39). იგი გვაძლევას საშუალებას დიდი სიზუსტით დავიტანოთ ჩახერგილი კაშხლის თხემის სიმაღლე და ამ სიმაღლეზე გავატაროთ დაგუბებული ტბის წყლის ჰორიზონტი. მისი გადაკვეთით კალაპოტის გრძივი პროფილზე განვსაზღვრავთ დაგუბებული ტბის სიგრძეს.

4.2 დაბუბნეულ უბნებზე წყალსატეპის შემსხაის ხანგრძლივობის პროგნოზი

დაგუბებულ უბნებზე წყალსატეპის შევსების ხანგრძლივობის (T) პროგნოზი შეიცავს ორ მხარეს:
 — შევსების პერიოდში მიმდინარე პიდროლოგიური პროცესების გათვალისწინებასა და
 — მოსალოდნელი ძლიერი თავსემა წვიმების გათვალისწინებას.

4.2.1. წყალსატეპის შემსხაის ხანგრძლივობის პროგნოზი მიმდინარე პიდროლოგიური პროცესების გათვალისწინებით

მიმდინარე პიდროლოგიური პროცესების გათვალისწინება გულისხმობს ხეობის ჩახერგვის დროს წყალსატეპში შემდინარე მდინარეების წყლის ჯამური ხარჯის (ΣQ) გამოთვლას. მისი გამოთვლა ხდება ორი მეთოდით.

— თუ დაგუბებულ მდინარეზე გვაქვს პიდროლოგიური საგუშავო, მაშინ

$$\Sigma Q = \frac{Q}{F} F_{\phi}, \quad (5)$$

— თუ არ გვაქვს, მაშინ ანალოგიის მეთოდი.

$$\Sigma Q = \frac{1}{n} \left(\frac{Q_1}{F_1} + \frac{Q_2}{F_2} + \dots + \frac{Q_n}{F_n} \right) F_{\phi}, \quad (6)$$

სადაც Q არის დაგუბებული მდინარის წყლის ხარჯი პიდროლოგიურ საგუშავოზე; Q_1, Q_2, \dots, Q_n - ანალოგი მდინარეების წყლის ხარჯები; F_{ϕ} - მდინარის ჩახერგილ

უბნამდე წყალშემკრები აუზის ფართობია; F_1 , $F_2 ანალოგი მდინარეების წყალშემკრები აუზის ფართობები.$

მიღებული ΣQ საფუძველზე წყალსატევის შევსების ხანგრძლივობის (T) პროგნოზი გამოითვლება ფორმულით

$$T = \frac{W}{\Sigma Q}, \quad (7)$$

სადაც W და ΣQ განხომილებებია შესაბამისად მ^3 და $\text{მ}^3/\text{წ}$; T -სი კი – წამები, რომლებიც შემდეგ გადაიყვანება წუთებში, საათებში, დღებში, თვეებში ან წლებში სათანადო გადამყვან კოეფიციენტებზე გამრავლებით.

ამრიგად, (ფორმულა 7) მიღებული სიდიდე გამოხატავს დაგუბებული ტბის ავსების ხანგრძლივობას იმ პიდრომებების მიზნით, რომელსაც ადგილი აქვს შევსების დროს. მაგრამ ხშირია შემთხვევები, როცა მიმდინარე პიდრომებების მიზნით პროცესები ირდვევა; ადგილი აქვს თავსხმა წვიმებს. ეს კი აჩქარებს შევსების პროცესს. მაგალითად, მდ. ხახიეთისწყლის დაგუბებული ტბის ავსების მიმდინარე პიდრომებების მიზნით პირობებში, როცა $\Sigma Q=1,5 \text{ მ}^3/\text{წ}$ და ფილტრაციის შედეგად $Q_f=0,5 \text{ მ}^3/\text{წ}$, დასჭირდებოდა

$$T=W/(\Sigma Q - Q_{ფილ})=2100000/(1,5-0,5)=2100000 \text{ წ}=\!24,3 \text{ დღე},$$

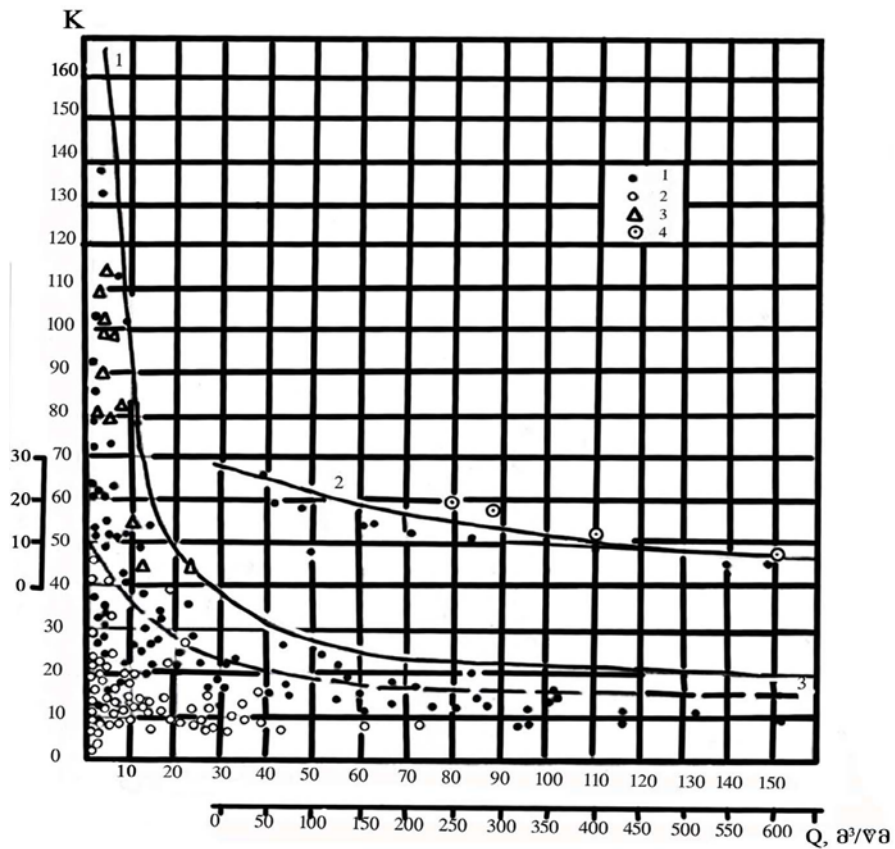
მაგრამ, ტბა გაირდვა დაგუბებიდან (29/IV) მე-17 დღეს. იგი გამოწვეული იყო წვიმებით; ამიტომ, როგორც პრაქტიკაში გვიჩვენა, საჭიროა გამოვითვალოთ, ჩვეულებრივ, პიდრომებების მიზნით შევსების ხანგრძლივობასთან ერთად (T), შევსების ყველაზე ადრე დამთავრების დროც. ეს დაკავშირებულია ძლიერ და ინტენსიურ წვიმებთან. მათ მიერ გამოწვეული წყალმოვარდნების წყლის მაქსიმალური ხარჯები, როგორც 1982-1992 წლების პიდროლოგიურ დაკავშირებათა მასალები გვიჩვენებენ, უახლოვდებიან 1%-იან უზრუნველყოფის წყლის მაქსიმალურ ხარჯებს. ამიტომ შევსების ყველაზე ხანგრძლე პერიოდი უნდა იქნეს გამოთვლილი 1%-იანი უზრუნველყოფის წყლის მაქსიმალური ხარჯისათვის (Q_1).

**4.22. მყალსატევის შეგხების ხანძრალიგობის
პროგნოზი მყლის მაქსიმალური ხარჯის 1%-იანი
უზრუნველყოფისათვის ($Q_{1\%}$)**

წყლის მაქსიმალური ხარჯის ($Q_{1\%}$) გამოსათვლელად გამოიყენება ნახ. 40-ზე წარმოდგენილი საანგარიშო მრუდები [53], მრუდების გამოსაყენებლად წინასწარ უნდა დადგინდეს მდინარის წლიური ჩამონადენის ნორმა (Q_0) ფორმულების (5) და (6) გამოყენებით მხოლოდ იმ განსხვავებით, რომ Q , Q_1 , $Q_2 ნაცვლად გამოიყენება წლიური ჩამონადენის ნორმები შესაბამისად; დადგენილი Q -ს შესაბამისი კოეფიციენტის (K) მნიშვნელობას ავიღებთ ნახ. 40-ზე მოყვანილი მრუდიდან აუზის საშუალო სიმაღლის გათვალისწინებით. მიღებულ K -ს ვამრავლებთ Q_0 -ზე, როთაც გამოითვლება წყალმოვარდნის უდიდესი წყლის მაქსიმალური ხარჯი (Q); მიღებული Q მნიშვნელობის 0,7-ზე (თუ აუზის საშუალო სიმაღლე <2000 მ) ან 0,8-ზე (თუ აუზის საშუალო სიმაღლე >2000 მ) გამრავლებით მივიღებთ 1%-იანი უზრუნველყოფის წყლის მაქსიმალურ ხარჯს.$

$Q_{1\%}$ წყლის მაქსიმალური ხარჯის საფუძველზე გამოითვლება შესაბამისი წყლის მოცულობა [$W(Q_{1\%})$], რომელიც უნდა შემოვიდეს დაგუბებულ ტბაში. მისი მნიშვნელობა გამოითვლება ფორმულა (5) თანახმად.

ტბებისა და მათი შევსების პარამეტრების გამოთვლის თანმიმდევრობა, მდინარეების ჯრუჭულას, ხახიეთისწყლისა და ფაწას დაგუბებული ტბების მაგალითზე, ნაწვენებია ცხრ. 5. ცხრილიდან ჩანს, რომ ავსების დროს მოსალოდნელი წყალმოვარდნისა ($Q_{1\%}$) და მიმდინარე პიდრომეტეოროლოგიური პირობების (ΣQ) გათვალისწინებით, ავსების ხანგრძლივობა შესაბამისად შეადგენს 1,3-2,3, 3,6-16,5 და 1,4-5,2 დღეებს. ამასთან, უნდა აღვნიშნოთ, რომ ჩვეულებრივი პიდრომეტეოროლოგიური პირობების გათვალისწინების შედეგად მიღებული ავსების ხანგრძლივობა შესაბამისად 2,3, 16,5 და 5,2 დღეებს შეადგენდა, რასაც ადგილი პქონდა ფაქტიურად.



ნახ. 40. ამინერკავკასიის მდინარეების წყლის მაქსიმალური ხარჯის ზღვრული მნიშვნელობის (K) დამოკიდებულება წლიური წყლის ხარჯის ნორმასთან (Q).

1. მდინარეები, რომელთა წყალშემცრები აუზის ფართობის ხაშუალო სიმაღლე < 2000 მ და წლიური წყლის ხარჯის ნორმა $< 50 \text{ } \text{dm}^3/\text{წ}$; 2. მდინარეები, რომელთა წყალშემცრები აუზის ფართობის ხაშუალო სიმაღლე > 2000 მ და წლიური წყლის ხარჯის ნორმა $> 50 \text{ } \text{dm}^3/\text{წ}$; 3. $Q_{\text{წუნ}}\text{-ის } \text{უნიტუნელყოფის } \text{წყლის } \text{მაქსიმალური } \text{ხარჯები}, \text{ან } \text{მდინარეები, } \text{რომელთა } \text{წყალშემცრები } \text{აუზის } \text{ხაშუალო } \text{სიმაღლე } < 2000 \text{ მ}; 4. \text{მდ. } \text{რიონის } 1982 \text{ წლის } I-2 \text{ აპრილის } \text{წყლის } \text{მაქსიმალური } \text{ხარჯი } \text{ქვემო } \text{წელში}.$

აქ ცხრილი 5?

**4.3. დაგუბებული ტბების გარღვევასთან დაკავშირებული
ნაზღვები უყალმოგარდნის პარამეტრების გაცემდღრე**
(პროგნოზი)

ჩახერგილი კაშხლის გარღვევასთან დაკავშირებული წყალმოვარდნის მახასიათებლების გაანგარიშება ხდება ჩახერგილი კაშხლის მთლიანი გარღვევის შემთხვევისათვის სამი მეოდის გამოყენების საფუძველზე: წყლის დონის, წყლის ხარჯისა და წყლის მოცულობის მეოდებით.

4.3.1. დაბუბნებული ფასის გარღვევასთან დაპატირებული ფასის მასიმალური დონის გამოთვლა კაშხლის გარღვევის აღზიდას

წყალმოვარდნის წყლის მაქსიმალური დონის გამოთვლა კაშხლის გარღვევის ადგილას ემყარება შოკლიზის [17] ფორმულას, რომელიც მიღებულია გერცეს პიდრავლიკურ ლაბორატორიაში ექსპერიმენტული კვლევის ჩატარების შედეგად. დადგინდა, რომ მაქსიმალური დონე (H_i) დამოკიდებულია დაგუბებული ტბის სიგანეზე კაშხლთან (B) და თვით წყალმოვარდნის ნაკადის მიერ ჩაჭრილ კალაპოტის სიგანეზე (b) [17,33].

$$H_i = H / 10^{0.3B/b}, \quad (8)$$

ჩახერგილი კაშხლის მთლიანი გარღვევის შემთხვევისათვის $B=b$, მაშინ

$$H_i = 0.5H, \quad (9)$$

რასაც პრაქტიკაში ხშირი გამოყენება აქვს.

4.3.2 დაბუბნებული ფასის გარღვევასთან დაპატირებული ნაზღვლები ფასის მასიმალური ხარჯის გამოთვლა კაშხლის გარღვევის აღზიდას

კაშხლის მთლიანი გარღვევის შემთხვევაში ნაკადის მიერ გაჭრილ კალაპოტს უმეტესად ტრაპეციის ფორმა აქვს. იგი მასში გამავალი წყლის ნაკადით ემსგავსება პიდრომეტრიაში კარგად ცნობილ „წყალსაშეს“. ამიტომ, მის მიერ გატარებული წყლის ხარჯი გამოითვლება პიდრავლიკაში ცნობილი ფორმულით [33]

$$Q = m\pi \sqrt{2gH}, \quad (10)$$

სადაც π არის წყალმოვარდნის ნაკადის მიერ ჩაჭრილი კალაპოტის ცოცხალი კვეთის ფართობი; m — წყლის ხარჯის კოეფიციენტი; g — სიმძიმის ძალის აჩქარება; H — შეტბორვის დონე.

სიდიდე $m\sqrt{2g} = 1.9$ და თუ $\pi = bH$, სადაც b არის დაგუბებული ტბის სიგანე ჩახერგილ კაშხალთან, მაშინ Q -ს გამოსათვლელი ფორმულა მიიღებს შემდეგ სახეს

$$Q=1.9bH\sqrt{H}=1.9bH^{1.5}, \quad (11)$$

ხშირად გამოიყენება აგრეთვე კაშხლიდან გადენილი ნაკადის ხვედრითი ჩამონადენი ტბის სიგანის ერთ მეტრზე, ე.ი. როცა $b=1$, მაშინ

$$q=1.9H^{1.5}\text{მ}^3/\text{წმ} \text{ 1მ-ზე}, \quad (12)$$

მოყვანილი ფორმულების თანახმად, მდ. ხახიეთისწყლისა და ფაწას დაგუბებული ტბების გარღვევის ადგილას წყლის ხარჯები შეადგენენ შესაბამისად 18106 ($H=30$ მ, $b=58$ მ) და 38453 მ³/წმ ($H=40$ მ, $b = 80$ მ), ხოლო ნაკადების ხვედრითი ჩამონადენი შესაბამისად 312 და 480 მ³/წმ 1 მ.

4.4. წყალმოვარდნის ჰიდროგრაფის პარამეტრების თავისებურებანი ჩახერგილი კაშხლის გარღვევის ადგილას და მათი გამოთვლის შედეგი

ჰიდროგრაფის პარამეტრები წარმოადგენენ თვით ჰიდროგრაფის თავისებურებათა განმსაზღვრელ მახასიათებლებს. მათი საშუალებით შეიძლება განვსაზღვროთ სხვა მახასიათებლები, რომელთა შესახებ არ გაგვაჩნია სათანადო ცნობები. ამ მხრივ, განსაკუთრებით გამოირჩევა დაგუბებული ტბების გარღვევასთან დაკავშირებული წყალმოვარდნების ჰიდროგრაფები. ამიტომ ქვემოთ შევწერდებით გარღვევასთან დაკავშირებული წყალმოვარდნების ჰიდროგრაფების პარამეტრებზე. მათ რიცხვს, ჩვეულებრივი ჰიდროგრაფების მსგავსად, მიეცუთვნება [34].

- წყალმოვარდნის წყლის მაქსიმალური ხარჯი $Q_{\text{გაქ}}$,
- წყალმოვარდნის წყლის საშუალო ხარჯი $Q_{\text{ხაშ}}$
- წყალმოვარდნის საერთო ხანგრძლივობა T ,
- წყალმოვარდნის მატების ფაზის ხანგრძლივობა $T_{\text{გ}}$,
- წყალმოვარდნის დაცემის ფაზის ხანგრძლივობა $T_{\text{დ}}$,
- დაგუბებული წყლის საერთო მოცულობა W ,
- წყალმოვარდნის მატების ფაზის წყლის მოცულობა $W_{\text{გ}}$,
- წყალმოვარდნის დაცემის ფაზის წყლის მოცულობა $W_{\text{დ}}$,
- წყალმოვარდნის ჰიდროგრაფის ასიმეტრიის კოეფიციენტი,

$$\gamma_1 = T_d/T_m, \quad (13)$$

$$\gamma_2 = W_d/W_m, \quad (14)$$

$$\gamma_3 = W_m/W, \quad (15)$$

- წყალმოვარდნის ჰიდროგრაფიის სისრულის კოეფიციენტი მატების ფაზისათვის

$$\alpha_1 = W_{\text{გ}}/Q_{\text{გაქ}}T_{\text{გ}}, \quad (16)$$

დაცემის ფაზისათვის

$$\alpha_2 = W_{\text{დ}}/Q_{\text{გაქ}}T_{\text{დ}}, \quad (17)$$

მოლიანი ჰიდროგრაფიისათვის

$$\alpha_3 = W/Q_{\text{გაქ}}T, \quad (18)$$

- წყალმოვარდნის ჰიდროგრაფის ფორმის კოეფიციენტი

$$f_1 = Q_{\text{გაქ}}/Q_{\text{ხაშ}} \quad f_2 = Q_{\text{გაქ}}T_{\text{გ}}/W = f_1 T_{\text{გ}}/T, \quad (19)$$

ზემოთ მოყვანილი f_1 და f_2 გამოსახულების ურთიერთ ჩასმით ვდებულობთ

$$Q_{\text{вс}} = W/T, \quad (20)$$

ხოლო f_2 -ან

$$f_1 = Q_{\text{вс}} T/W, \quad (21)$$

რაც წარმოადგენს წყალმოვარდნის პიდროგრაფის მთლიანი სისრულის კოეფიციენტის შებრუნებულ სიდიდეს.

ქვემოთ მოგვყავს გამოთვლის შედეგები მდინარეების ფაზასა და ხახიეთისწყლის დაგუბებული ტბებისა და მათ გარღვევასთან დაკავშირებული წყალმოვარდნების მახასიათებლები (პარამეტრები) (ცხრ. 6).

გამოთვლებიდან ჩანს, რომ ასიმეტრიის კოეფიციენტი მუდმივია ყველა იმ წყალმოვარდნის პიდროგრაფებისათვის, რომელთა წარმოშობა დაკავშირებულია ჩახერგილი კაშხლის მთლიან გარღვევასთან. ასეა სხვა ნებისმიერ T_m , W_m -ის მნიშვნელობების დროს აღებული შემთხვევის წყალმოვარდნის პიდროგრაფებისათვის.

ამრიგად, თუ ცნობილია დაგუბებული ტბის წყლის მოცულობა, შეგვიძლია გამოვთვალოთ წყლის მოცულობა პიდროგრაფის მატების ფაზაში

$$W_{\text{вс}}=0.67 W_o, \quad (22)$$

და წყლის მოცულობა პიდროგრაფის დაცემის ფაზაში.

$$W_{\text{вс}}=0.33 W_o, \quad (23)$$

პიდროგრაფიის სხვა დანარჩენი კოეფიციენტები, როგორიცაა პიდროგრაფის სისრულის და პიდროგრაფის ფორმის კოეფიციენტები იცვლებიან $Q_{\text{вс}}$ -ს და W_o -ის ცვალებადობის მიხედვით; მათგან პიდროგრაფის სისრულის კოეფიციენტს აქვს კლებადობის ხასიათი და წყალმოვარდნის

ცხრილი 6
დაბუბნებული ტბებისა და მათ გარღვევებისან
დაკავშირებული წყალმოვარდნების პარამეტრთა გამოიყლის
გადებები

№	დაგუბებული ტბისა და წყალმოვარდნების პარამეტრების დასახელება	განსაზღვრულის გ	დაგუბებული ტბა		
			მდ. გაწვა მდ.	მდ. გაწვა მდ.	
1	2	3	4	5	6
1	დაგუბებული ტბის სიგრძე		$L, \text{ მ}$	2,85	1,8
2	დაგუბებული ტბის სიგანე		$B, \text{ მ}$	80	100
3	დაგუბებული ტბის შეტბორვის დონე		$h, \text{ მ}$	40	35
4	დაგუბებული ტბის წყლის მოცულობა:	მთლიანი	$W, \text{ მ}^3$	$3,8 \cdot 10^6$	$2,1 \cdot 10^6$
		მატების ფაზაში	$W, \text{ მ}^3$	$2,53 \cdot 10^6$	$1,4 \cdot 10^6$
		დაცემის ფაზაში	$W, \text{ მ}^3$	$1,27 \cdot 10^6$	$0,7 \cdot 10^6$
5	წყალმოვარდნის წყლის:	მაქს. ხარჯი	$Q_{\text{მაქ}}, \text{ მ}^3/\text{წ}$	38453	18106
		საშუალო ხარჯი	$Q_{\text{საშუალო}}, \text{ მ}^3/\text{წ}$	586	415
6	წყალმოვარდნის ხანგრძლივობა:	მთლიანი	$T, \text{ წ}$	6480	5061
		მატების ფაზაში	$T_{\text{მატ}}, \text{ წ}$	4320	3374
		დაცემის ფაზაში	$T_{\text{დაც}}, \text{ წ}$	2160	1687
7	პიდროგრაფის ასიმეტრიის კოეფიციენტი:	მატების ფაზაში	γ_1	0,50	0,50
		დაცემის ფაზაში	γ_2	0,50	0,50
		მთლიანი	γ_3	0,67	0,67
8	პიდროგრაფის სისრულის კოეფიციენტი:	მატების ფაზაში	α_1	0,015	0,023
		დაცემის ფაზაში	α_2	0,015	0,023
		მთლიანი	α_3	0,015	0,023
9	პიდროგრაფის ფორმის კოეფიციენტი:		f_1	65,02	43,60
			f_2	43,70	29,10

წყლის მაქსიმალურ ხარჯთან გამოიხატება ასეთი
დამოკიდებულებით

$$\alpha = 0,03 - 375 \cdot 10^{-9} Q_{\text{მაქ}} \quad (24)$$

ეს კი გვაძლევს საშუალებას გამოვითვალოთ წყალოვარდნის მთლიანი ხანგრძლივობა, რომლის გამოსათვლელი ფორმულის (7) თანახმად ფორმულას აქვს შემდეგი სახე.

$$\frac{W}{Q} = \frac{L \cdot B \cdot H}{3(0,03 - 375 \cdot 10^{-9} Q_{mag}) Q_{mag}} \quad (25)$$

შემოწმების შედეგები მდ. ფაზას მაგალითზე:

$$T = \frac{2850 \cdot 100 \cdot 40}{3(0,03 - 375 \cdot 10^{-9} \cdot 38453) \cdot 38453} = 6330(6480)$$

განსხვავება სულ 150 წმ. ასევე მდ. ხახიერისწყლის მაგალითზედაც:

$$T = \frac{1800 \cdot 100 \cdot 35}{3(0,03 \cdot 375 \cdot 10^{-9} \cdot 18106) \cdot 18106} = 5000(5061)$$

აქაც განსხვავება 61 წმ (ცდომილება შეადგენს 1-2%)

ასევე შეგვიძლია გამოვითვალოთ T_ϑ და T_φ ; მართლაც თუ ფორმულების მარცხენა მხარეები ტოლია ($\square = \square$), მაშინ მარჯვენა მხარეებიც ტოლი იქნება, ე.ი.

$$T_\varphi / T_\vartheta = W_\varphi / W_\vartheta \quad (26)$$

გარდაქმნით ვღებულობთ

$$T_\varphi W_\vartheta = T_\vartheta W_\varphi$$

$$(T - T_\vartheta) W_\vartheta = T_\vartheta W_\varphi$$

$$\begin{aligned}
 TW_{\partial} - T_{\partial} W_{\partial} &= T_{\partial} W_{\varphi} \\
 TW_{\partial} &= T_{\partial} W_{\varphi} + T_{\partial} W_{\partial} \\
 T_{\partial} &= TW_{\partial} / (W_{\varphi} + W_{\partial}) = TW_{\partial} / W_0 = 0.67T,
 \end{aligned} \tag{27}$$

აქედან ვი

$$T_{\varphi} = 0.33T \tag{28}$$

ამრიგად, ფორმულები (23), (24) და 27-28-ით გამოითვლება W_{∂} , W_{φ} , T , T_{∂} და T_{φ} , რომლებიც, თავის მხრივ, წარმოადგენენ პროგნოზულ სიდიდეებს.

4.5. ჩახერგილი კაშხლის გარღვევის აღგილას მის მთლიან გარღვევასთან დაკავშირებული წყალმოგარენის ჰიდროგრაფის გაანგარიშება

ჩახერგილი კაშხლის მთლიან გარღვევასთან დაკავშირებული წყალმოგარდნის პიდროგრაფი, როგორც ზემოთ აღნიშნეთ, ხასიათდება წყლის ხარჯების (დონეების) ინტენსიური მატებით და ასევე ინტენსიური დაცემით, ისე რომ მისი მატების ფაზის ხანგრძლივობა ორჯერ მეტია მისი დაცემის ფაზის ხანგრძლივობაზე. ეს კარგად ჩანს ზემოთ მოყვანილ ნახ. 37-ზე წარმოდგენილი პიდროგრაფებიდან.

პიდროგრაფების ასეთი მოდელი დაედო საფუძვლად კაშხლის მთლიან გარღვევასთან დაკავშირებულ წყალმოგარდნის პიდროგრაფების გაანგარიშებას.

გამოყენებულ იქნა საფეხურიანი პროექსიმაციის მეთოდი, რომლის თანახმად წყალმოგარდნის მატებისა და დაცემის ფაზების ხანგრძლივობა იყოფა საფეხურებად ΔT -ს ბიჯით. მაშინ მატების ფაზის (T_{∂}) პირველ საფეხურზე გვექნება $T_{\partial 1} = \Delta T$; მეორე საფეხურზე $T_{\partial 2} = \Delta T + \Delta T$ და ა.შ. მანამ, სანამ $T_{\partial i}$ არ გახდება $T_{\partial} -$ ს ტოლი. ასევე, დაცემის ფაზაში პირველ საფეხურზე გვექნება $T_{\varphi 1} = \Delta T$, მეორე საფეხურზე $T_{\varphi 2} = \Delta T + \Delta T$ და ა.შ. მანამ, სანამ $T_{\varphi i} = T_{\varphi}$.

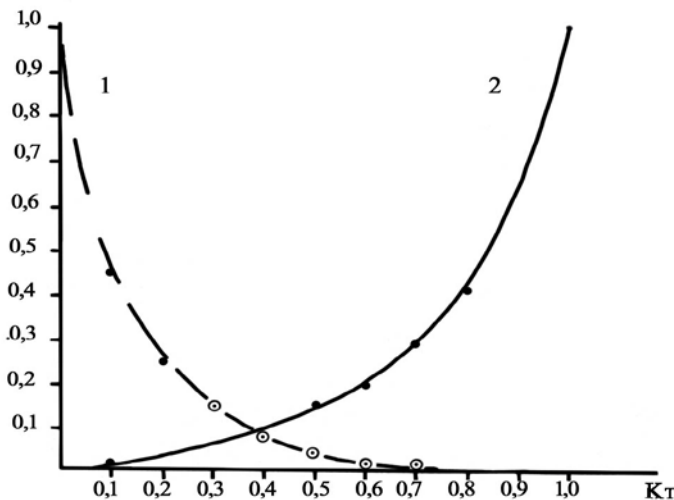
ჰიდროგრაფის მოდელიდან (ნახ. 41) დადგენილი საფეხურებისათვის გამოითვლება შესატყვისი წყლის ხარჯები (დონეები).

მიღებული სიდიდეების საფუძველზე გამოითვლება ხანგრძლივობისა და შესატყვისი წყლის ხარჯების კოეფიციენტები.

$$K_T \partial_i = T \partial_i / T \partial, \quad K_T i_{\varphi} = T_{\varphi i} / T_{\varphi}, \quad (29)$$

$$K_Q \partial_i = Q \partial_i / Q \partial \partial, \quad K_Q i_{\varphi} = Q_{\varphi i} / Q_{\varphi \partial}, \quad (30)$$

ასეთი გზით გამოთვლილი K_T და K_Q -ს მნიშვნელობები მოცემულია ცხრ. 7 და ნახ. 41-ის სახით.



ნახ. 41. ჩახერგილი კაშხლის ბარლვავასთან დაკავშირებული წყალმოვარდნის ჰიდროგრაფის პოლიონიატების მრუდები დაცემის ვაზისათვის (მრუდი 1) და მატების ვაზისათვის (მრუდი 2).

ცხრილი 7.

საანგარიშო პიდრობრავის T_i/T და $Q_i/Q_{\text{აუ}}/Q_{\text{აუ}}$ პოლიდინატები

$T_{\text{ა}}/T_{\text{ა}} (T_{\text{ა}}/T_{\text{ა}})$	$Q_{\text{ა}}/Q_{\text{აუ}}$	$Q_{\text{ა}}/Q_{\text{აუ}}$
1	2	3
0.0	0.0	1.0
0.1	0.01	0.45
0.2	0.03	0.25
0.3	0.07	0.15
0.4	0.10	0.08
0.5	0.15	0.05
0.6	0.20	0.02
0.7	0.29	0.02
0.8	0.41	0.015
0.9	0.62	0.015
1.0	1.00	0.0

ამრიგად, თუ ცნობილია წყალმოვარდნის პიდროგრაფის მატების ხანგრძლივობა ($T_{\text{ა}}$) და ხანგრძლივობის ბიჯის (ΔT) შესატყვის მატების ხანგრძლივობა i დროისათვის ($T_{\text{ა}}^i$), მაშინ, ცხრ. 7 ან ნახ. 41-ის საშუალებით მივიღებთ $T_{\text{ა}}^i / T_{\text{ა}} = T_{\text{ა}}^i / T_{\text{ა}}^0$ შესაბამის $Q_{\text{ა}}/Q_{\text{აუ}}^i$ -ის მნიშვნელობას. მისი $Q_{\text{აუ}}^i$ -ზე გამრავლებით კი მივიღებთ პიდროგრაფის კოორდინატს წყლის ხარჯის მატებისა და დაცემის ხანგრძლივობის i დროისათვის. მაგალითად, გამოვითვალოთ ხახიეთის დაგუბებული ტბის გარღვევასთან დაკავშირებული წყალმოვარდნის პიდროგრაფი ჩახერგილი კაშხლის მთლიანი გარღვევის ადგილას.

მოცემული გვაქვს დაგუბებული ტბის სიგანე 60 მ ჩახერგილ კაშხლთან და შეტბორვის დონე 30 მ. გამოთვლილ იქნა (იხ. ცხრ. 6) $Q_{\text{აუ}}^i = 18106 \text{ m}^3/\text{წ}$, პიდროგრაფის მატების ფაზის ხანგრძლივობა $3374''(56')$ და დაცემის ფაზის ხანგრძლივობა $1687''(28')$. პიდროგრაფის გამოთვლის სქემა ნაჩვენებია ცხრ. 8. პიდროგრაფის კოორდინატების საფუძველზე აგებული ხახიეთის წყლის დაგუბებული ტბის მთლიან, გარღვევასთან დაკავშირებული პიდროგრაფი ნაჩვენებია ნახ. 37 (მრუდი 1), სადაც მოყვანილია პიდროგრაფი-ანალოგი (მრუდები 2-4). გაანგარიშებული პიდროგრაფი ასახავს ზემოთ გამოთქმულ დებულებას იმის შესახებ, რომ განხილული კატეგორიის წყალმოვარდნისათვის პი-

დოროგრაფების მატების ფაზის ხანგრძლივობა ორჯერ მეტია დაცემის ფაზის ხანგრძლივობაზე. გაანგარიშებული პიდროგრაფი, ძირითადად, ეთანხმება ფაქტიურ პიდროგრაფებს და ეს დამთხვევა ლაპარაკობს ცხრ. 7 მოყვანილი პიდროგრაფის T_i / T და $Q_i / Q_{\text{მაქ}}$ კოორდინატების პრაქტიკული გამოყენების შესაძლებლობაზე.

ცხრილი 8

მდ. ხახიეთის დაბუბნებული ტპის გარღვევასთან დაკაგვირებული წყალმოგარღნის პიდროგრაფის კოორდინატების გამოთვლა ჩახერბილი კაშხლის გარღვევის ადგილას

წყალმოგარღნის ხანგრძლივობა, წუთი	კოორდინატები $K_i = T \partial i / T \vartheta$	კოორდინატები $K \varrho i = T \varrho i / T \vartheta$	დანერგული წყლის ხარჯის კოორდინატები $K \varrho i Q_{\text{მაქ}}$
0	0	0	0.0
5	5	0.089	0.010
10	10	0.179	0.030
15	15	0.268	0.058
20	20	0.357	0.080
25	25	0.446	0.113
30	30	0.536	0.168
35	35	0.625	0.222

40	40		0.714		0.307	5558
45	45		0.804		0.418	7568
50	50		0.893		0.595	10773
56	56		1.000		1.000	18106
61		5		0.179	0.290	5251
66		10		0.357	0.120	2173
71		15		0.536	0.034	616
76		20		0.714	0.020	362
81		25		0.893	0.015	272
84		28		1.00	0	0

4.6. მდინარის ხეობის ჩახერგილი კაშხლის მდგრადობის შეფასება

ჩახერგილი კაშხლის წარმოშობისას ხშირად იბადება კითხვა: მდგრადია, თუ მოსალოდნელია კაშხლის გარღვევა. ამიტომ, კაშხლის მდგრადობის შეფასებას პრაქტიკული მნიშვნელობა აქვს. კაშხლის მდგრადობაზე მრავალი ფაქტორი მოქმედებს. მათ შორის მთავარია წყალი. იგი მოქმედებს თავისი წონით, რომლის მაქსიმუმს ადგილი აქვს კაშხლის ფსკერზე და გამოითვლება ფორმულით [33]:

$$W = \gamma \frac{H^2}{2}, \quad (31)$$

სადაც W არის წყლის წნევა ($\text{გ}/\text{მ}^2$); \square — წყლის ხვერითი წონა ($\text{გ}/\text{მ}^3$); H — შეტბორვის დონე (მ).

მაგრამ კაშხალი, თავის მხრივ ეწინააღმდეგება წყლის დაწოლას და ეს წინააღმდეგობის ძალა არის ხახუნის ძალა P , რომელიც გამოითვლება ფორმულით:

$$P = f \Sigma P, \quad (32)$$

სადაც f არის ხახუნის კოეფიციენტი; ΣP — ვერტიკალური ძალების ჯამი, რომელიც თავის მხრივ გამოითვლება ფორმულით

$$\Sigma P = v + N, \quad (33)$$

სადაც \square არის ჩახერგილი კაშხლის წონა; N — წყლის წევა, რომელიც მიმართულია ქვევიდან ზევით.

მოყვანილი ფორმულებიდან ნათლად ჩანს, რომ თუ წყლის წევა (W) მეტია კაშხლის ხახუნის ძალაზე (P), კაშხალი არამდგრადია და პირიქით; სხვანაირად რომ ვთქვათ, თუ შეფარდება

$$P/W < 1$$

კაშხალი არამდგრადია, თუ შეფარდება:

$$P/W > 1$$

კაშხალი მდგრადია. ამ შეფარდებას მდგრადობის კოეფიციენტს უწოდებენ (K).

ამრიგად, მდგრადობის კოეფიციენტი გამოითვლება ფორმულით

$$K = P/W = f(v-N)/W, \quad (34)$$

ფორმულა (34)-ში შემავალი პარამეტრები გამოითვლება (2) ფორმულის თანახმად: მაგალითად, ხახიეთისწყლის ხეობის ჩახერგილი კაშხლის მოცულობა $W_b = 20 \cdot 10^6$, $2,5 = 50 \cdot 10^6$ ტდაგუბებული წყლის მოცულობა $W = 2,1 \cdot 10^6$ მათი შეფარდება

$$P/W = 50 \cdot 10^6 / 2,1 \cdot 10^6$$

როგორც ჩანს, ეს ფარდობა მეტია 1-ზე; ამის გამო კაშხალი მდგრად მდგომარეობაში იყო. ასეთ თანაფარდობას ადგილი ჰქონდა მდ. ფაწას ხეობაში ჩახერგილი კაშხლის მდგრადობისას:

$$P/W = 1,8 \cdot 10^6 \cdot 2,5 / 3,8 \cdot 10^6 = 1,18,$$

მაგრამ კაშხლები მაინც გაირდა: 10-11 და 20-22 მ სიღრმით, 50-60; 80-92 მ. სიგანით, შესაბამისად. ეს გარდვევა

მდ. ხასიერის წყალზე გამოწვეული იყო დინამიური წნევის გამო, რომელიც დაქმატა სტატისტიკურ წნევას. ეს კი გამოწვეული იყო თავსება წვიმის წყალმოვარდნის ჩამონადენის შედეგად, მაგრამ ჩამონადენი დიდი არ იყო — 5-6-ჯერ ნაკლები, ვიდრე წყლის მაქსიმალური ხარჯი. მაშინ გაირღვა მხოლოდ თხემთან ახლოს მდებარე კაშხლის ნაწილი. ასევე, გაირღვა იმავე რაიონში მდებარე მდ. ჯრუჭულას ჩახერგილი კაშხალი, მაგრამ ეს მოხდა თითქმის ერთი წლის შემდეგ, მთლიანი გარღვევით. ეს კი გამოწვეული იყო უფრო მეტი წნევის გავლენით, ვიდრე იმ დინამიკური წნევისა, რომელსაც ადგილი ჰქონდა მდ. ხასიერის წყლის დაგუბებული ტბის გარღვევისას 1991 წ 16 მაისს. სულ სხვა ვითარებაში მოხდა მდ. ფაწას დაგუბებული ტბის გარღვევა. გამოირკვა, რომ სამხედრო სპეციალისტებს, რომლებიც აკვირდებოდნენ ტბის ავსების რეჟიმს, გამოუყენებიათ აფეთქებები ჩახერგილი კაშხლის გარღვევისათვის. ფაქტიურად, აფეთქებებმა გააფხვიერა ჩახერგილი კაშხლის ზედა წყება, რომელიც დაგუბებულმა წყალმა ადვილად გაარღვია. რაკი წყალმოვარდნის შედეგი აღმოჩნდა სავალალო, სამხედრო სპეციალისტებმა დუმილი ამჯობინეს.

სხვა მრავალი მაგალითის მოყვანა შეიძლება, მაგრამ შევჩერდებით ერთ მათგანზე. 1967 წ 16 ივნისს მდ. ჩხალთას ხეობა მთა აწგარასთან ჩაიხერგა კლდე-ზვავით, რომელსაც ჰქონდა სიგრძე 2 კმ, სიგანე 400 მ, მოცულობა 3 მლნ.მ³ [22]. კლდე-ზვავმა გადაკეტა მდ. ჩხალთა და წარმოიშვა დაგუბებული ტბა, რომელმაც 3 დღის შემდეგ გაარღვია ჩახერგილი კაშხალი და დაიცალა [22]. თუ მივიღებთ მდ. ჩხალთას იმ დღეების წყლის საშუალო ხარჯს 20 მ³/წმ (ანალოგის მეთოდის გამოყენებით მდ. ჩხალთა — სოფ. ჩხალთას მონაცემების საფუძველზე), მაშინ წყლის მოცულობა მესამე დღის ბოლოს მიაღწევდა 9,23 მლნ.მ³. ფორმულა (34)-ის გამოყენებით მივიღებთ:

$$K=P/W=2.5 \cdot 3000000/9230000=0.8 .$$

როგორც ჩანს, ჩახერგილი კოეფიციენტი	<1-ზე, რაც	კაშხლის მდგრადობის გვიჩვენებს კაშხლის
---------------------------------------	------------	--

არამდგრადობას. ის უნდა გაერღვია წყალს მისი დიდი წნევის გამო. მართლაც, კაშხალი გაირღვა, ამასთან, მთლიანად.

4.7. დაგუგული ტბის გარღვევასთან დაკავშირებული წყალმოვარდნის ზოგის მასიმალური ძოვებისა და სარჯების განსაზღვრა მდინარის ფრანზიტულ უბანზე

დაგუგული ტბების გარღვევის შედეგად ძირს დაშვებული წყალი ჩაედინება მდინარეში. ამ მხრივ ეს მდინარე წარმოადგენს ტრანზიტულ მდინარეს. ასე მაგალითად, მდ. ფაწაუე, 1991 წ 29 აპრილს მიწისძვრის შედეგად წარმოშობილი დაგუგული ტბის გარღვევასთან დაკავშირებულმა წყალმოვარდნამ გაიარა ჯერ მდ. ფაწა, შემდეგ დიდი ლიახვი და ბოლოს მდ. მტკვარი; გამოიწვია დონეების მატება სოფ. ფაწასთან 7-8 მ, სოფ. კეხვთან 5-6 მ, ქ. ცხინვალთან 3-4 მ, ქ. გორითან 1,2 მ და ქ. თბილისთან 0,5 მ. ასევე, მდ. ხახიეთისწყალზე, იმავე მიწისძვრის შედეგად წარმოშობილი დაგუგული ტბის გარღვევასთან დაკავშირებულმა წყალმოვარდნამ გაიარა თვით მდ. ხახიეთისწყალი, შემდეგ მდ. ყვირილა, რომლებიც ტბის გარღვევის ქვემოთ წარმოადგენდნენ აღნიშნულ წყალმოვარდნისათვის ტრანზიტულ მდინარეებს. წყალმოვარდნის ნაკადის დონე მცირდებოდა გავლილი მანძილის ზრდასთან ერთად და შეადგენდა 3-4 მ სოფ. პერევთან, 0,8 მ. ქ. საჩხერესთან და 0,6 მ-ს ქ. ზესტაფონთან. ასეთი შემცირების ხასიათი პქონდა წყლის ხარჯებსაც. იგი შეადგენდა 1543 მ³/წმ სოფ. კეხვთან, 230 მ³/წმ ზაჟესთან, 202 მ³/წმ ქ. თბილისთან, 803 მ³/წმ და 548 მ³/წმ სოფ. პერევთან, 98 მ³/წმ ქ. საჩხერესთან და 37 მ³/წმ ქ. ზესტაფონთან, ჩახერგვის გარღვევის ადგილიდან, შესაბამისად, 15, 123, 133, 3, 4, 28 და 82 კმ-ის გავლის შემდეგ. მსგავსი, სხვა მრავალი მაგალითის მოყვანა შეიძლება, მაგრამ ზემოთ აღნიშნული სრულიად საკმარისია იმის თვალსაჩინოებისათვის, რასაც ადგილი აქვს მდინარის ტრანზიტულ უბნებზე წყალმოვარდნების წყლის მაქსიმალური ხარჯების ტრანსფორმაციის დროს.

ტრანსფორმაციის მთავარ ფაქტორებს წარმოადგენენ მდინარის ნაკადის გაშლის პროცესები, რომელიც ადგილი აქვს მდინარის კალაპოტისა და მიმდებარე ჭალების ფარგლებში. ისინი თავისთავად ხასიათდებიან კალაპოტის სიგანის, სიგრძის, დახრილობის, აგებულების, ზედაპირის უსწორმასწორობის, მქისეობის, წყლიანობისა და სხვა მრავალი ფაქტორის დიდი სხვადასხვაობითა და ცვალებადობით. საკმარისია აღვნიშნოთ, რომ მათემატიკური მოდელის სქემისათვის მდინარეს ყოფებ უძნებად, თითოეულ უბანს კი თავის მხრივ მარცხნა, შეა და მარჯვენა ნაწილებად. ყველა ამ უბანის ნაკადის გაშლის პროცესების ფაქტორთა რაოდენობა 22-28-მდე აღწევს. მაგრამ სხვა სირთულეს მაინც აქვს ადგილი, რადგან ზოგიერთ შემთხვევაში არ არის სათანადო ინფორმაციაც; საერთოდ, საჭიროა სპეციალური გაზომვები და დაკვირვებები. ამიტომ, მრავალი მკვლევარი ცდილობს შეიმუშაოს მარტივი მეორედი, რომელიც უზრუნველყოფს ტრანსფორმირებული წყალმოვარდნის მახასიათებლების გამორვლის დამაკმაყოფილებელ შედეგებს. ამ მხრივ ყურადღებას იმსახურებს ი.გოგლიძის, მ.კუჩმინის, ი.სოკოლნიკოვის, ბ.პოლიაკოვის ფორმულა [17,33].

$$h = H^{-\frac{\beta^L}{T}}, \quad (35)$$

ნ.რუხაძისა და ი.ხერხეულიძის ფორმულა [41]

$$h = 0.5(h - 0.05\sqrt{LH^2}\beta), \quad (36)$$

სადაც h არის წყალმოვარდნის წყლის მაქსიმალური დონე საანგარიშო კვეთზე; H — დაგუბებული ტბის (წყალსაცავის) წყლის დონე კაშხალთან; L — მანძილი კაშხლიდან საანგარიშო კვეთამდე; β — ნაკადის გაშლის ინტენსივობის კოეფიციენტი; T — წყლის კაშხალიდან გადინების სანგრძლივობა საათებში.

β -ს მნიშვნელობა მერყეობს ძალიან დიდ ფარგლებში: 0,075-დან 0,90-მდე, მაგრამ ი.გოგლიძისა და მისი თანაავტორების თანახმად [17,33] ეს ცვალებადობა არ არის

დამოკიდებული ტბის (წყალსაცავის) მორფომეტრიაზე. მისი დადგენა შეიძლება სპეციალური დაკვირვებების საფუძველზე. ეს კი აძლევებს (35) ფორმულის პრაქტიკულ გამოყენებას. უფრო მეტ საფუძველს ემყარება ნ. რუხაძისა და ი. ხერხეულიძის ფორმულა, რომლის თანახმად β არის საწყისი (b) და საანგარიშო (B) კვეთების სიგანეების შეფარდება შემდეგი სახით [41]:

$$\beta = (b/B)^{0.7} \quad (37)$$

მსგავსი ფორმულები, გამოიყენება მდინარის ტრანზიტულ უბანზე ტრანსფორმირებული წყალმოვარდნის წყლის მაქსიმალური დონის გამოსათვლელად. უნდა შევნიშნოთ, რომ ტრანზიტულ უბანზე დონეების შემცირების ტენდენციასთან ერთად, როგორც ეს ფორმულებიდან ჩანს, ადგილი აქვს მის მატებას, როცა $B < b$, ან მდევრები უბანზე, როცა B_i ნაკლებია წინ მდებარე უბნის B_{i-1} -ზე. ამიტომ დიდ უპირატესობას ანიჭებენ წყლის ხარჯებს, რომლებიც დონეების ცვალებადობისაგან განსხვავებით ხასიათდებიან მხოლოდ შემცირების ტენდენციით. ამ მხრივ საინტერესოა იზოქრონული თეორიის ორი ეტაპობრივი სქემის ანალიზის საფუძველზე ზ. მესხიას [2,6] მიერ შედგენილი მდინარის ტრანზიტულ უბანზე წყლის ხარჯის გამოსათვლელი ფორმულები:

$$Q_1 = Fq = 2L_1 h_{31}^2 = 2L_1 b_1 q = 2L_1 \frac{F}{2L_1} = Fq, \quad (38)$$

$$Q_1 = Fq = 2L_2 h_{32}^2 = 2L_2 b_2 q = 2L_2 \frac{F}{2L_2} = \frac{L_1}{L_2} Fq, \quad (39)$$

$$Q_1 = Fq = 2L_3 h_{33}^2 = 2L_3 b_3 q = 2L_3 \frac{F}{2L_3} = \frac{L_1}{L_3} Fq, \quad (40)$$

და ა.შ.

სადაც 1 არის მდინარის კვეთი, რომლის ზემოთ ფორმირდება მდინარის ჩამონადენი; 2, 3 და ა.შ. არის ტრანზიტულ უბანზე მდინარის კვეთის რიგითი ნომერი, სადაც უნდა გაიაროს პირველი კვეთიდან გავლილმა წყალმა, შესაბამისად

Q_1 , Q_2 და Q_3 წყლის ხარჯებია; L_1 , L_2 და L_3 მდინარეების
 სიგრძეებია სათავიდან კვეთამდე; F — წყალშემკრები აუზის
 ფართობი; q და h — შესაბამისად ჩამონადენის მოდული და
 ჩამონადენის ფენის სიმაღლე; ფორმულების თანახმად ტრა-
 ნზიტულ უბანზე, თუ ადგილი არ აქვს ნაკადის გაშლის
 პროცესების გავლენას, წყლის ხარჯი მდინარის სიგრძეზე არ
 უნდა იცვლებოდეს. მართლაც, ფორმულების მარჯვენა
 ნაწილის პირველი წევრი (Fq) უცვლელია კველა კვეთისათვის,
 მაგრამ იგი ცვალებადია. მისი მნიშვნელობის შეცვლით მეორე
 წევრით, შემდეგ მესამე, მეოთხე და მეხუთე წევრებით,
 მივიღებთ, რომ პირველ კვეთზე ჩამონადენი უდრის პირველ
 წევრს, მეორე, მესამე და ა.შ. კვეთებზე კი შემცირებულ წყლის
 ხარჯებს L_1/L_2 -ზე გამრავლებული მეორე კვეთზე, L_1/L_3 -ზე
 გამრავლებული მესამე კვეთზე და ა.შ. ასე რომ, მდინარის
 ტრანზიტული უბნებისათვის ტრანსფორმირებული მაქსიმა-
 ლური ხარჯების გამოსათვლელ ფორმულებში წევრების
 შეცვლის შედეგად გაჩნდა ახალი წევრი — მდინარის სიგრძის
 რელუქციის კოეფიციენტი: L_1/L_2 მეორე კვეთისათვის, L_1/L_3 —
 მესამე კვეთისათვის და ა.შ. მათ უპირატესობაზე ლაპარაკობს
 გამოთვლის შედეგები. სამწუხაოროდ არ გვაქვს სპეციალური
 დაკვირვების მასალა; მიუხედავად ამისა, აღებულ იქნა
 რამდენიმე შემთხვევა. ასე მაგალითად, 1968 წ 18-21 აპრილს
 მდ. მტკვარზე გაიარა კატასტროფულმა წყალმოვარდნამ,
 რომლის მაქსიმალურმა ხარჯმა ხერთვისის, მინაძის, ლიკანის,
 გრაკალის, ძეგვის, თბილისის, კირზანისა და ხულუფის
 პიდროლოგიურ საგუშაგოებზე მიაღწია 742, 1100, 1520, 1900,
 2170, 2450, 2710, 2720 $\text{მ}^3/\text{წ-ს}$. როგორც ჩანს, მაქსიმალური
 ხარჯი იზრდებოდა მდინარის სიგრძის ზრდასთან ერთად.
 მაგრამ აშკარად შეიმჩნევა ტრანსფორმაციის ნიშნები;
 განსაკუთრებით მან თავი იჩინა თბილისის ქვემოთ, რაც
 წარმოადგენს წყალმოვარდნის ნაკადის გაშლის (გართხმის)
 პროცესების ზემოქმედების შედეგს მდინარის კალაპოტისა და
 მიმდებარე ჭალების ფარგლებში. ანალოგიური შემთხვევა
 განმეორდა მდ. არაქსზე, სადაც 1969 წ. 1-11 მაისს ადგილი
 ჰქონდა კატასტროფულ წყალმოვარდნას, რომლის წყლის
 მაქსიმალური ხარჯი იზრდებოდა მდინარის სიგრძის
 ზრდასთან ერთად და მიაღწია სოფ. სურმალუში (ფართობი
 22100 კ^2) 1690 $\text{მ}^3/\text{წ}$, სოფ. კიზილვანკში (ფართობი 54300 კ^2)

— 2230 მ³/წ [54]. ეს მატება გაგრძელდა მდ. არაქსის შესართავის ქვევითაც და მიაღწია მაქსიმუმს მდ. მტკვრის პიდროლოგიურ საგუშაგოსთან სოფ. სურაში (35 კმ გავლის შემდეგ) 2680 მ³/წ. ამის ქვემოთ მდ. მტკვრის უშენაკადო უბანზე იწყება წყლის მაქსიმალური ხარჯის შემცირება და 121 კმ-ის გავლის შემდეგ ეს ხარჯი გახდა 2350 მ³/წ, ე.ი. შემცირდა. 330 მ³/წ-ით წყლის მაქსიმალური ხარჯის ასეთი შემცირება აიხსნება ნაკადის გაშლის პროცესების ზემოქმედებით. ანალოგიურ შემთხვევას, პქონდა ადგილი მდ. ქსანზე, 1987 წ. 11 ივნისს. კატასტროფულმა წყალმოვარდნამ, დიდი ზარალი მიაყენა ქსნის ხეობის მოსახლეობას. წყლის მაქსიმალური ხარჯის დასადგენად 1989 წ. ივნის-სექტემბერში ჩატარდა საეციალური გაზომვები მაღალი დონის ნიშნულის მიხედვით და 22 კვეთზე გამოოვლილ იქნა წყლის ხარჯები [55]. დადგინდა, რომ ეს ხარჯები იზრდებოდა მდინარის სიგრძეზე, მიაღწია მაქსიმუმს 606 მ³/წ სოფ. ქსოვრისის ქვემოთ 2 კმ-ზე (სათავიდან 69-ე კმ-ზე); შემდეგ ადგილი პქონდა მის შემცირებას და შესართავთან შეადგენდა 516 მ³/წ. ასე რომ, მდ. ქსნის მომდევნო 15 კმ-იანი უბანი წარმოადგენდა აღნიშნულ წაყლმოვარდნისათვის ტრანზიტულ უბანს.

ჩამოთვლილი მდინარეების ტრანზიტული უბნებისათვის გამოთვლილი წყლის მაქსიმალური ხარჯების შედეგები მოყვანილია ცხრ. 9.

ცხრ. 9-დან ჩანს, რომ ტრანსფორმირებული წყლის მაქსიმალური ხარჯების სიღიდეები კარგად ეთანხმებიან ფაქტიურს; განსხვავება არ აღმატება 12,5%-ს, საშუალოდ კი შეადგენს 6,5%-ს, რაც 2,5-3-ჯერ ნაკლებია წყლის მაქსიმალური ხარჯების გაზომვის სიზუსტეზე.

ეს საშუალებას გვაძლევს (38-40) ფორმულები გამოვიყენოთ მდინარეთა ტრანზიტულ უბნებზე გარღვევასთან დაკავშირებული წყალმოვარდნის წყლის მაქსიმალური ხარჯის გამოსათვლელად. იმ პირობით, რომ L_1 -ის მნიშვნელობად აღებულია არა მდინარის სიგრძე, არამედ თვით დაგუბებული ტბის სიგრძე, ხოლო L_2 , L_3 და ა.შ. მანძილებია კაშხლის გარღვევის აღგილიდან მდინარის ტრანზიტული უბნების ნებისმიერ კვეთამდე L_1 ჩათვლით, ე.ი. აღნიშნული მდინარეების მოქმედ პიდროლოგიურ და ზოგიერთ ექსპედიციურ კვეთებზე გაზომილ იქნა გარღვევასთან დაკავშირებული ნაზღვლევი

წყალმოვარდნების წყლის მაქსიმალური ხარჯები. მათ საფუძველზე, როგორც საიმედო წყლის ხარჯები, (41) ფორმულის დახმარებით გამოთვლილ იქნა თვით ის ხარჯი, რომელსაც ექნებოდა აღგილი ჩახერგილი კაშხლის გარღვევის ადგილას (*Q_გ*). ამ შემთხვევაში, გამოყენებულ იქნა შებრუნებული შეფარდება, ე.ი. L_2/L_1 მეორე კვეთისათვის, L_3/L_1 მესამე კვეთისათვის და ა.შ., საჭირო მონაცემები და გამოთვლების შედეგები მოყვანილია ცხრ. 9-ში. როგორც ჩანს, გამოთვლილი წყლის ხარჯები ჩახერგილი კაშხლის გარღვევის ადგილას ერთმანეთთან ბალიან ახლოს არიან 70%-ის ფარგლებში. პრაქტიკული მნიშვნელობისათვის ვიღებთ საშუალო სიდიდეს, რომელიც შეადგენს ხახიეთის დაგუბებული ტბის კაშხლის გარღვევის ადგილას 2439 მ³/წ, ხოლო ფარას დაგუბებული ტბის კაშხლის გარღვევის ადგილას 12530 მ³/წ. ამ სიდიდეთა დასადასტურებლად მიღებული შედეგები შედარებულია ფორმულით (11) მიღებულ

ცხრილი 9

მდინარეთა ტრანზიტულ უბნებზე წყალმოვარდნების ტრანსორმირებული ზყლის მაშინმას ური ხარჯების გამოთვლის შედეგები

მდინარე-პუნქტი	მდინარის ხიდრების სათავიდან კუნძულებულე (L, კმ)	წყლის ხარჯი, მ ³ /წ			მაქსიმალური (Q _გ)	დენააღმიანვებული (L _D)	მაქსიმალური (L _D)	ფაქტორი	რეგულირების გოეფიცენტი L_2/L_1+L_3	ტრანსფორმირებული წყლის ხარჯი	სხაფაობა
		1	2	3							
მტკვარი-ქ. თბილისი	474	2450			2450						
მტკვარი-სოფ. კირზანი	625	2710	708	2002	0.76	1858	144	7.2			
მტკვარი-სოფ. ხელუეთი	687	2720	794	1926	0.69	1690	236	12.5			
მტკვარი-სოფ. კირზანი	625	2710		2710							
მტკვარი-სოფ. ხელუეთი	687	2720	86	2634	0.91	2465	169	6.4			
არაქსი-(მტკვარი-სოფ. სურა)	1107	2680		2680							
არაქსი-(მტკვარი-სოფ. სალიანი)	1228	2350		2350	0.90	2412	62	2.6			
ქსანი-2ქმ ქვემოთ სოფ.ქსოვრისი	69	606		606							

შესართავი	84	516		516	0.82	497	19	3.7
საშუალო								6.5

$$\begin{aligned} Q_1 &= L_1 / L_I Q_{\partial \sigma f} \\ Q_2 &= L_2 / L_I Q_{\partial \sigma f} \\ Q_3 &= L_3 / L_I Q_{\partial \sigma f} \\ \text{და } \text{ა.მ.} \end{aligned} \quad (41)$$

შედეგებთან: 2429 მ³/წმ მდ. ხახიეთისწყლის დაგუბებული ტბის კაშხლის გარღვევის ადგილას და 13771 მ³/წმ მდ. ფაწას დაგუბებული ტბის კაშხლის გარღვევის ადგილას. ეს სიღიღები, როგორც ჩანს, კარგად ემთხვევიან ერთმანეთს 2-3%-ის ფარგლებში.

მიღებული შედეგები საშუალებას გვაძლევს შევადგინოთ წყლის მაქსიმალური ხარჯის გამოსათვლელი ფორმულა კაშხლის გარღვევის ადგილისათვის წყლის იმ ხარჯების საფუძველზე, რომლებიც გაიზომა კაშხლის ქვემოთ მდებარე პიდროლოგიურ საგუშაგოებზე ნაზღვლევი წყალმოვარდნის გავლის დროს. ფორმულას აქვს შემდეგი სახე:

$$Q_{\partial \sigma f} = [(L_2 + L_I)Q_2 + (L_3 + L_I)Q_3 + \dots + (L_n + L_I)Q_n] / nL_I, \quad (42)$$

სადაც n პიდროლოგიური კვეთების რაოდენობაა. დანარჩენი აღნიშვნები იგივეა, რაც (40) ფორმულაში.

შემოწმების თვალსაზრისით მოგვყავს გამოთვლის შედეგები დაგუბებული ფაწას ტბის გარღვევასთან დაკავშირებული წყალმოვარდნისათვის:

$$Q_{\partial \sigma f} = [(15+2)1543 + (123+2)230 + (133+2)202] 3*2 = 13708 \text{ მ³/წმ},$$

რაც ემთხვევა **ცხრ. 12-ში** მოყვანილ გასაშუალებულ სიღიღეს 13771 მ³/წმ.

იმავე ფორმულით გამოთვლილი იქნა წყნეთის წყალსაცავის კაშხლის გარღვევის ადგილას მაქსიმალური წყლის ხარჯი 0,04, 0,11 და 7,5 კმ ქვემოთ (ხახ. 42) გაზომილი იმავე წყალმოვარდნის წყლის მაქსიმალური ხარჯების საფუძველზე, კერძოდ,

$$Q_{\partial \sigma f} = [(0.04+0.18)329 + (0.11+0.18)350 + (7.5+0.18)30] / 3 * 0.18 = 748 \text{ მ³/წმ}$$

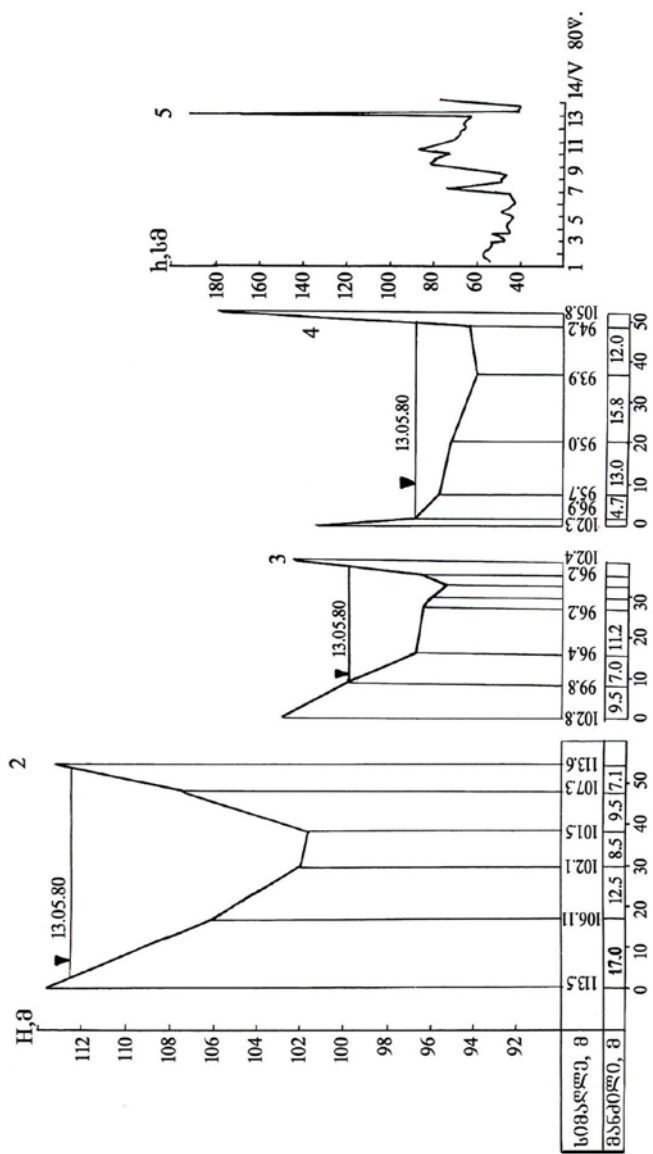
ე.ი. წყლის მაქსიმალური ხარჯი კაშხლის გარღვევის ადგილას შეადგენს 748 მ³/წმ. მისი სისწორის დასამტკიცე-

ბლად მოგვევავს მეტად საჭირო კაშხლის გარღვევის სიგანის გამოსათვლელი ფორმულა, რომელიც (1) ფორმულის თანახმად

$$B=Q_{\text{ას}}/1.9H^{3/2}=748/1.94^{3/2}=50, \quad (43)$$

ე.ო. კაშხლის გარღვევის სიგანე შეადგენს 50 მ. ეს კი თითქმის ემთხვევა ადგილზე ნიველობით გაზომილ სიგანეს, რაც შეადგენდა 55 მ.

ამრიგად, მივიღეთ თეორიისათვის და პრაქტიკისათვის უაღრესად საჭირო ახალი ფორმულა, რომელიც საშუალებას გვაძლევს გამოვითვალოთ ტბის გარღვევასთან დაკავშირებული წყალმოვარდნის წყლის მაქსიმალური ხარჯი და კაშხლის გარღვევის სიგანე გარღვევის ადგილას ამავე წყალმოვარდნის წყლის მაქსიმალური ხარჯების გაზომვის საფუძველზე ტრანზიტულ უბნის პიდროლოგიურ კვეთებზე – საგუშაგოებზე.



სახ 42. გვ. ბეგოვანის დეპოზიტის გელიკანური დანართი.

**4.8. ღამუაგული ფბების გარღვევასთან
დაკავშირებული წყალმოგარღვების წყლის მაქსიმალურ
დონეთა და ხარჯთა გამოსათვლელი (საპროგნოზო)
ვორმულება**

ზემოთ მიღებული დამაკმაყოფილებელი შედეგები საშუალებას გვაძლევს, ჰიდრავლიკისა და რედუქციის კანონების გამოყენებით, შევაღინოთ წყალმოვარდნის წყლის მაქსიმალური დონების ($h_{\text{მაქ}}$) და ხარჯების ($Q_{\text{მაქ}}$) გამოსათვლელი ფორმულები:

- წყალმოვარდნის წყლის მაქსიმალური დონისათვის

$$h_{\text{მაქ}} = H / 10^{0.3b/B} (1 + 0.15L_i), \quad (44)$$

- წყალმოვარდნის წყლის მაქსიმალური ხარჯისათვის

$$Q_{\text{მაქ}} = mLBH^{1.5} (L + L_i), \quad (45)$$

სადაც H არის შეტბორვის დონე, m — კოეფიციენტი, რომელიც ტრაპეციული ფორმის კალაპოტის შემთხვევისათვის უდრის 1,9; L არის დაგუბებული ტბის სიგრძე; L_i — მანძილი ჩახერგილი კაშხლის გარღვევის ადგილიდან გამოსათვლელ პუნქტამდე, მდინარის დინების მიმართულებით.

თუ

$$L_i = 0,$$

მაშინ

$$h_{\text{მაქ}} = 0.5H,$$

$$Q_{\text{მაქ}} = 1.9BH^{3/2}, \quad (46)$$

მივიღეთ $h_{\text{მაქ}} = 0.5H$ და $Q_{\text{მაქ}} = 1.9BH^{3/2}$ მნიშვნელობების გამოსათვლელი ფორმულები ჩახერგილი კაშხლის გარღვევის ადგილას, რაც კარგადაა ცნობილი ჰიდრავლიკაში (ი. ფორმულები 10 და 11).

4.9. ნაზღვლები წყალმოვარდნების ფაზის მაქსიმალური ხარჯების გამოსათვლელი ფორმულების საჭარხო შემოწმების შედეგები

ნაზღვლები წყალმოვარდნების ავტორისეული გამოთვლის დადებით შედეგებს ადასტურებს გამოთვლების საწარმო შემოწმების შედეგებიც, რომლებსაც საფუძვლად დაედო ლიტერატურული წყაროებიდან აღებული მონაცემები.

4.9.1. მდ. გენალიონი.

კ. როტარევისა და მის თანავტორთა ჯგუფის შრომაში [27,39,40] მოყვანილია მყინვარ კოლკას (ყაზბეგის გამყინვარება) 1969 წ. 29 ოქტომბრის პულსაციის შედეგები. მაშინ მყინვარული გამონატანის ჩახერგვით დაგუბდა მდ. გენალდონი და მის 12 კმ-ის მონაკვეთზე აღებულ იქნა 8 გარდი-გარდმო პროფილი; ასევე გაზომილ იქნა 50-ჯერ წყლის ხარჯი. გაზომვების საფუძველზე დაადგინეს, რომ ნაზღვლები წყალმოვარდნის წყლის მაქსიმალური ხარჯი არის $1550 \text{ } \text{მ}^3/\text{წ}\text{წ}$, ხოლო 50 კმ-ის გავლის შემდეგ მდ. გიზელდონის შესართავში – $474 \text{ } \text{მ}^3/\text{წ}\text{წ}$. მიღებული მონაცემების საფუძველზე:

$$Q_f = Q_g(l_1 + l_2)/l_1 = 474(22+50)/22 = 1551 \text{ } \text{მ}^3/\text{წ}\text{წ}$$

ან პირიქით, როცა ვიცით კაშხლის გარღვევის ადგილას Q

$$Q_f = Q_g L_1 / (l_1 + l_2) = 1551 * 22 / (22 + 50) = 474 \text{ } \text{მ}^3/\text{წ}\text{წ}$$

შედეგები ადასტურებენ შემოთავაზებული გამოთვლების სიმარტივესა და დიდ უპირატესობას.

4.9.2. მდ. რანბუ (ჩაზახეთი).

1983 წ. 10 აგვისტოს მდინარის შესართავიდან ზემოთ, 3,5 კმ-ზე ხეობის მარჯვენა ფერდობიდან ჩამოვიდა მეწყერი [45], რომელმაც ჩახერგა მდინარე; მისი მოცულობა 5 მლნ. მ^3 იყო. ჩახერგილი კაშხლის სიმაღლე 71 მ, სიგრძე 300 მ, სიგანე 90-100 მ. ჩახერგის შედეგად მდინარე დაგუბდა. წყლის დაგუბება გაგრძელდა 10 აგვისტოს 16 საათსა და 50 წუთამდე. დაგუბებული ტბის მოცულობამ შეადგინა 123 მლნ. მ^3 , ხოლო დაგუბებული ტბის წყლის სარკის ფართობი იყო $1,26 \text{ } \text{კმ}^2$. ჩახერგილი კაშხლის გარღვევის დაწყებიდან 10 წთ-ში დონემ

დაიკლო 1,5 მ, რომელიც გაგრძელდა 11 აგვისტოს 9 სთ-მდე, შედეგად დონემ დაიკლო სულ 67 მ და აღდგა მდინარის ნორმალური დინება. წყლის მაქსიმალურმა ხარჯმა გაიარა გარღვევიდან 1სთ-სა და 10 წთ-ის შემდეგ; ამ დროისათვის გარღვევის სიღრმე შეადგენდა 18 მ-ს, რომლის შესაბამისი წყლის მაქსიმალური ხარჯი გარღვევიდან 5გმ-ს ქვემოთ – 3280მ³/წმ. (11) ფორმულების [26] გამოყენებით ვდებულობთ:

$$Q_{\vartheta}=1,9*B\sqrt{H^3}=1,9\bullet 95\bullet \sqrt{18^3}=13784 \text{ მ}^3/\text{წმ},$$

$$Q_{\vartheta}=\frac{l+l_1}{l}\cdot Q_s=\frac{1,5+5,0}{1,5}\cdot 3280=14213\text{მ}^3/\text{წმ}$$

სხვაობა შეადგენს 429 მ³/წმ, ანუ 3,1%, რაც დიდი მიღწევაა პიდროლოგიაში, ამ მხრივ, საკმარისია მოვიყვანოთ ი. ვინოგრადოვის [12] მონაცემები ისიცვულის (ყაზახეთი) ტბის გარღვევის შესახებ. აქ, ეს ხარჯი შეფასებული იყო 6000 მ³/წმ ± 3000 მ³/წმ სიზუსტით, ე.ი. 50 % ცდომილებით. აშკარად ჩანს შემოთავაზებული მეოთხის უპირატესობა, რომელიც თავისი დადებითი შედეგებით ადასტურებს ზემოთ გამოთქმულ მოსაზრებას იმის შესახებ, რომ ჩახერგილი კაშხლის უბანზე ნაზღვლევი წყლის მაქსიმალური ხარჯი გამოითვლება დიდი სიზუსტით.

4.9.3. მდ. ალაზანი.

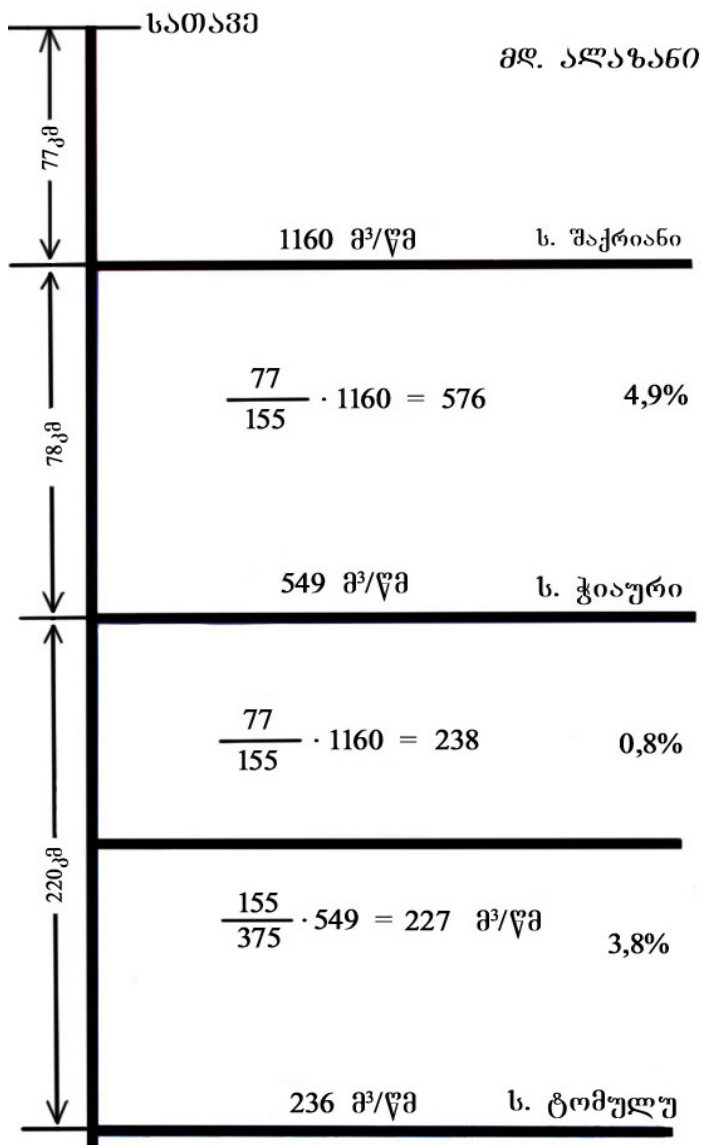
კიდევ უკეთესი შედეგები გამოვლინდა მდ. ალაზნის 1948 წ 5 ივნის წყალმოვარდნის მაგალითზე, რომლის შედეგები აღებულ იქნა 1948 წლის პიდროლოგიური ცნობარიდან. მაშინ გაიარა წყალმოვარდნამ, რომლის წყლის მაქსიმალურმა ხარჯმა სათავიდან 77 კმ გავლის სემდეგ სოფ. შაქრიანთან მიაღწია 1160 მ³/წმ, რაც დადგემდე ცნობილია უდიდეს წყალმოვარდნად. ქვემოთ შესასრთავამდე წყალმოვა-რდნის წყლის ხარჯმა განიცადა ტრანსფორმაცია. 78 კმ გავლის შემდეგ სოფ. ჭიაურთან ეს ხარჯი შემცირდა და გახდა 549 მ³/წმ (ნახ. 43), კიდევ ქვემოთ 220 კმ გავლის შემდეგ სოფ. ტობულოსთან – 326 მ³/წმ. (წყლის ეს ხარჯი გაძლიერებული იყო წვიმებით, რომელიც მოვიდა ლაგოდეხის რაიონში). გამოთვლებით ვდებულობთ სოფ. შაქრიანის მიმართ:

$$Q_{\text{ჯოაური}} = \frac{77}{77+78} \cdot 1160 = 576 \text{ ბ}^3/\text{წ} \text{ (549 ბ}^3/\text{წ})$$

ან კიდევ სოფ. ჭიაურის მიმართ:

$$Q_{\text{ტობული}} = \frac{155}{155+220} \cdot 549 = 227 \text{ ბ}^3/\text{წ} \text{ (236 ბ}^3/\text{წ})$$

ფრჩხილებში მოყვანილია ცნობარის მონაცემები, რომელიც თავისი დადგებითი შედეგებით ადასტურებს ზემოთ გამოთქმულ მოსაზრებას იმის შესახებ, რომ ჩახერგილი კაშხლის უბანზე ნაზღვლევი წყალმოვარდნის წყლის მაქსიმალური ხარჯი გამოითვლება დიდი სიზუსტით.



ნახ. 43. მდ. აღაზანი – ს. შორაპიან 1948 წ 0360სში გავლილი კატასტრული მყალმოვარდნის მასის მასიმალური ხარჯები ტრანზიტულ უგენებზე: ს. ჭიაურში და ს. ტებულოვში, განაწილების სჩემა

4.9.4. დარიალის კატასტროფა

2007 წ 2 აგვისტოს მყინვარ დევდორაკის აუზის ფარგლებში (მყინვარწვერის გამყინვარების აღმოსავლეთ სექტორი), ადგილი პქონდა ძლიერ თავსხმა წვიმას, აღინიშნებოდა ჰაერის მაღალ ტემპერატურა, რამაც იქ არსებულ ყველა ხევში გამოიწვია ძლიერი დვარცოფული ნაკადები. მათ შორის უძლიერესი იყო მყინვარ დევდორაკის ენის ბოლოს, მარჯვენა ფერდობის, ოთხი ხევის დვარცოფული ნაკადი.

ისინი ქვემო წელში შეერთდნენ და მყინვარ დევდორაკის ენას, ქვემოდან ერთ მთლიან ნაკადათ შემოუარეს. მყინვარის ტროგული ხეობის ძირი 20 მ სისიქის დვარცოფული გამონაგანით ჩახერგეს. წარმოიშვა 30 მ სიგანის დაგუბებული ტბა. იგი მაღალ გაირდვა და ნაზღვლევი წყალმოვარდნის სახით ძირს დაეშვა. ნაკადს წინ უძლოდა ჰაერის ტალღის მიერ ატაცებული ქვა-ლოდები, ვიწრო ხეობიდან გამოსვლისას ნაკადი შეუერთდა მდ. ამალის ნაკადს, გაყვა მას შესართავამდე. გაძლიერებულმა ნაკადმა დარიალის ხეობაში, ჩახერგა მდ. თერგი, და მარჯვენა კლდოვანი ფერდობის ძირას 400-500 მ სიგრძეზე გადარეცხა სამხედრო გზა. რის შედეგადაც ამ მონაკვეთში შეწყდა მოძრაობა (ნახ. 44). ნაზღვლევი წყალმოვარდნის წყლის მაქსიმალური ხარჯი ჩახერგილი კაშხლის გარღვევის ადგილას გამოითვლილი იქნა ფორმულა (11) და მივიღეთ:

$$Q_{\text{აუზ}} = 1,9 \cdot 30 \cdot 20\sqrt{20} = 5098 \text{ მ}^3/\text{წ}$$

ასეთი წყლის ხარჯი დადგენილი იქნა ჯერ კიდევ 1977 წ წყლის ტემპერატურის გათვალისწინებით, მ. გლაზირინის [15] ფორმულათა სისტემის გამოყენების საფუძველზე, შეადგინა 4589 მ³/წ (ვ. ცომაიას ექსპედიციის სამეცნიერო ანგარიში, თბილისი, 1977წ). მათი გადახრა ურთიერთ შორის შაედგენს საშუალოდ 10%, რაც 2-ჯერ ნაკლებია გაზომვის სიზუსტეზე.

ასევე გამოსათვლელად გამოყენებული იქნა, ფორმულა (41), რომლითაც ნაზღვლევი წყალმოვარდნის წყლის მაქსიმალური ხარჯი მდ. დევდორაკისწყლის შესართავთან (მყინვარის ენიდან 1,7 კმ გავლის შემდეგ (11) და

წყალმოვარდნის ფორმირების სიგრძის 5,8 კმ
გათვალისწინებით არის (ნახ. 45):

$$Q_{\text{ძალ}} = \frac{5,8}{5,8 + 1,7} \cdot 5098 = 3942 \text{ მ}^3/\text{წმ}$$

მდ. ამალის შესართავთან, 4 კმ გავლის შემდეგ:

$$Q_{\text{ძალ}} = \frac{5,8}{5,8 + 1,7 + 4,0} \cdot 5098 = 2571 \text{ მ}^3/\text{წმ}$$

მიღებული შედეგების გამოთვლების სისწორეს ადასტურებს სრულიად სხვა დამოუკიდებელი ფორმულის გამოყენება [38], რომელიც აგებულია წყალმოვარდნის გავლის შემდეგ დატოვებული ნიშნულის პარამეტრების გამოყენებით. მდ. ამალის შესართავთან წყლის საშუალო სიღრმე $h = 0,90$ მ. $B -$ მდინარის კალაპოტის სიგანე, საშუალოდ შეადგენს 35 მ. (ნახ. 45) $X -$ პარამეტრია, რომელიც წყლის სიღრმის 3 მ-ზე მეტის შემთხვევაში მუდმივია და შავდგენს 0,166; $1/n -$ მქისაობის კოეფიციენტია, რომელიც მოცემულ უბნისათვის მიღებულია 20-ის ტოლათ; კალაპოტის საშუალო დახრილობა $i = 0,125$; პარამეტრების ჩასმით მივიღებთ:

$$Q_{\text{ძალ}} = 20 \cdot 35 \cdot 4 \cdot 4^{0,166} 4^{0,5} \sqrt{0,125} = 2487 \text{ მ}^3/\text{წმ}$$

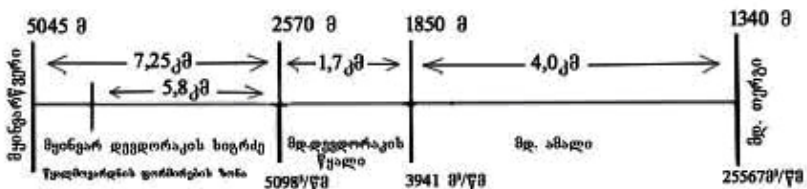
მიღებული სიღიდე ზემოთ მოყვანილი სიღიდეებისაგან განსხვავდება სულ მცირე 88 მ³/წმ ანუ 3,2%, რაც 6-ჯერ ნაკლებია გაზომვის სიზუსტეზე. იგივე შედეგით შეგვიძლია განვსაზღვროთ წყლის მაქსიმალური ხარჯი გარდვევის ადგილას:

$$Q_{\text{ძალ}} = \frac{5,8 + 1,7 + 4,0}{5,8} \cdot 2487 = 4931 \text{ მ}^3/\text{წმ},$$

რაც განსხვავდება 3,3 %-ით მიღებული წყლის მაქსიმალური ხარჯისაგან.



ნახ. 44. მდ. თერგის მარჯვენა ნაპირი, ნაზღვები ვარდის მიერ ბადარცხელი საქართველოს სამხედრო ბზა (2007 წ 2 აგვისტოს)



ნახ. 45. მყინვარ დეკორაციის, მდ. დეკორაციის და ამაღის მოწოდებელი ული მახასიათებლებისა და ნაზღვები ვარდის მყლის მაქსიმალური ხარჯის ბანაზოლების სძება

აღნიშნული სქემით, და სხვადასხვა სახის ფორმულების გამოყენებით მიღებული დადებითი შედეგები, სააგარიშო სქემის დიდ თეორიულ, პრაქტიკულ, მეთოდოლოგიურ და ოპერატიულ მნიშვნელობას ადასტურებს. ეს სქემა წარმოადგენს საიმედო მეცნიერულ ბაზას, რომელიც კატასტროფული ნაზღვლები წყალდიდობებისა და წყალმოვარდნების საშიშროების თავიდან აცილებისათვის საჭირო რეკომენდაციებისა და ტექნიკურ ეკონომიკური დასაბუთების საფუძველია.

4.9. მდ. ახტიჩაი.

დაღესტნის ერთ-ერთი დიდი მდინარის სამურის მარჯვენა შენაკადია, რომელიც უერთდება მას 101 კმ-ზე შესართავიდან. იგი უხვწყლიანია. მისი სიგრძე შეადგენს 63 კმ. წყალშემკრები აუზის ფართობი 763 კმ². სათავეს იდებს მთავარი კავკასიონის ჩრდილო-აღმოსავლეთის კალთაზე. 1988 წლის ზაფხულის კატასტროფულმა წყალმოვარდნამ, რომლის წყლის მაქსიმალური ხარჯი, გაზომილი ნიველირობის მეთოდით შესართავთან ახლოს შეადგინა 845 მ³/წმ და მას დაემატა თვით მდ. სამურის წყალი 346 მ³/წმ, საერთო რაოდენობამ მიაღწია 1191 მ³/წმ; წყალმოვარდნამ 8 მლნ. მანეტის მატერიალური ზარალი მიაუენა მდ. სამურის ხეობის მოსახლეობას და 17 კმ გავლის შემდეგ საგუშაგო უსუხესისთან ტრანზიტული წყალმოვარდნის წყლის მაქსიმალურმა ხარჯმა შეადგინა 920 მ³/წმ. გამოთვლებითაც დასტურდება ($Q_{უსუხესი}$) მდ. სამურის – ს. უსუხესისთან:

$$Q_{უსუხესი} = \frac{L_{ახტიჩაი}}{L_{ახტიჩაი} + L_{ახტიჩაი-უსუხესი}} Q_M = \frac{63}{63+1+17} \cdot 1178 = 916 \text{ მ}^3/\text{წმ}$$

მიღებული სიდიდე თითქმის დაემთხვა ფაქტიურს (920 მ³/წმ) 0,4%-ის განსხვავებით, რაც დამატებით საფუძველია გამოთვლის სქემის პრაქტიკაში გამოყენებისათვის.

4.9. მდ. დიულტიჩაი.

საერთოდ მდ. სამურის აუზში ხშირია ნაზღვლევი წყალმოვარდნები, რომლებიც დაკავშირებულია მდინარის და მისი შენაკადების ჩახერგვებთან. ასეთ ჩახერგვებს ადგილი ჰქონდა 1905 წ მდ. დიულტიჩაის აუზში ძლიერი კოკისპირული წვიმისა და ასევე ძლიერი მიწისძვრის შედეგად, რასაც მოჰყვა

ქლიერი მეწყერის ჩამოსვლა. შეიწირა 2 ადამიანის სიცოცხლე (მწყემსები) და 600 ცხვრის ფარა ჩამარხა. ჩახერგის შედეგად წარმოიშვა დაგუბებული ტბა სიგრძით 125 მ, სიგანით 300 მ, სიღრძით 30 მ (ჩახერგილი მასის თხემიდან). გარდვევის შედეგად ნაზღვლევი წყალმოვარდნის წყლის მაქსიმალურმა ხარჯმა შეადგინა 93660 მ³/წმ, ტრანზიტის უბნებზე 6,8 და 200 კმ გავლის შემდეგ 2031, 155 და 62,6 მ³/წმ შესაბამისად.

გამოთვლების შედეგების შემოწმება ვერ ხერხდება სათანადო გაზომვების უქონლობის გამო. სამურის მოსახლეობას დიდი ზიანი მიაყენა. დაინგრა ხიდები, საცხოვრებელი სახლები, გაანადგურა ნათესები, ზაფხულის საბოსტნები. დატბორა სოფლები ჯინისი და სიუგითი. ადგილობრივ მოსახლეობას ადნიშნული ნაზღვლევი წყალმოვარდნის ძლიერი კატასტროფული ხასიათი უფრო ასესოვთ, ვიდრე 1947 და 1961 წლები კოკისპირულ წვიმებთან დაკავშირებული ნაზღვლევი წყალმოვარდნები.

საერთოდ დადგესტანი ძლიერ სეისმურ ზონაში მდებარეობს და ამის გამო ხშირია ხეობების ჩახერგვები. ამის დამადასტურებლად საქმარისია სოფ. კაზენოიამას დაგუბებული ტბა (ნახ. 19), რომელიც წარმოიშვა ჩეჩენინგუშეთისა და დადგესტანის საზღვარზე 1870 მ სიმაღლეზე; ტბის ფართობი შეადგენდა 1,7 კმ², საერთო სიგრძე 2,7 კმ, საერთო სიგანე 0,735 კმ, მოცულობა 62 მლნ. მ³, სიღრძე 72 მ კაშხალობა. ძლიერი მიწისძვრის შედეგად კლდე-ზავმა დამარხა ადნიშნული სოფელი თავისი მაცხოვრებლებით [22].

4.9.7. მღ. არაქსი.

ასეთივე შედეგებს ვდებულობთ მდ. არაქსის 1969 წ 10-19 მაისის წყალმოვარდნის წყლის მაქსიმალური ხარჯების გამოთვლაში მისი ფორმირებისა და ტრანზიტულ უბნებზე შესრულებული სპეციალური დაკვეთით სოფ. სადარაკში რკინიგზისა და შარაგზის ხიდების მშენებლობის პროექტების ტექნიკურ ეკონომიკური დასაბუთებისათვის (მიღებული შედეგების სისტორეს ადასტურებენ გაზომვის მასალები, აზარბაიჯანელი და თურქი მეცნიერების გამოთვლები მოყვანილი ინსტიტუტის 1992 წ შრომებში) [54], რომლის თანახმად მდინარეზე წყალმოვარდნის წყლის მაქსიმალური ხარჯი იზრდებოდა; ეს ზრდა გაგრძელდა მდ. მტკვარზე,

სადაც 121 კმ გავლის შემდეგ – ქ. სალიანის, პიდროლოგიურ კვეთთან შეადგინა 2350 მ³/წ. ფორმულის (41) თანახმად ვდებულობთ:

$$Q_{\text{ასქ}} = \frac{L}{L + L_1} \cdot Q_{\text{ასქ}} = \frac{994}{994 + 121} \cdot 2680 = 2391 \text{ მ}^3 / \text{წ}$$

რაც განსხვავდება ფრჩხილებში მოყვანილი ფაქტიურისაგან 41 მ³/წ ანუ 1,7%-ით. ასეთი დიდი სიზუსტე თითქმის 10-ჯერ ნაკლებ დასაშვებ ცდომილებაზე კიდევ ერთი დამაჯერებელი არგუმენტია დადგენილი ფორმულის პრაქტიკაში გამოყენებისათვის.

4.9.8. მდ. თერგი.

XVIII საუკუნის 40-60 წლები მდ. თერგი სშირად იხერგებოდა მყინვარ დევდორაკის პულსაციის დროს მყინვარული გამონატანით. ყველაზე ძლიერი იყო 1832 წ პულსაცია და მასთან დაკავშირებული მყინვარული გამონატანი. მაშინ მდ. თერგი ჩაიხერგა 80-90 მ სისქის მყინვარული გამოანტანით; 8 საათით გადაპეტა მდ. თერგი, წყალი დაგუბდა, რომლის მოცულობამ მიაღწია 215 მლნ მ³-ს; ჩახერგვის ადგილას სიგანე იყო 250 მ [21,25,29,47]

მათ საფაუძველზე გამოთვლილ იქნა ქვაბულის მოცულობა (W) ფორმულით (2)

$$W = \frac{BLH}{3} = \frac{250 \cdot 2500 \cdot 85}{3} = 17700000 \text{ მ}^3$$

ქვაბულის ავსებაში ჩამდინარე მდინარეების ჯამური წყლის ხარჯი (ΣQ) ფორმულით შეადგენდა:

$$\Sigma Q = \frac{W}{T} = \frac{17700000}{8 \cdot 60 \cdot 60} = 619 \text{ მ}^3/\text{წ}$$

მიღებული სიდიდეები მცირედ განსხვავდებიან ზემოთ მოყვანილი ფაქტიური მასალებისაგან. ეს განსხვავება არ აღემატება 10%-ს ასეთი შედეგი გვაძლევს შესაძლებლობას ასეთივე ცდომილებით გამოვთვალოთ ნაზღვლევი წყალმოვარდნის წყლის მაქსიმალური ხარჯები:

– ჩახერგილი მასის გარდვევის ადგილას ფორმულა (11)

$$Q_{\text{ას.}} = 1,9BH\sqrt{H} = 1,9 \cdot 250 \cdot 85 \sqrt{85} = 372239 \text{ } \text{dm}^3/\text{წთ},$$

- ტრანზიტულ კვეთებზე ფორმულით (41):

- გლადიკავების მისაღებობითან

$$Q_{\text{ას.}} = \frac{L}{L+L_1} Q_{\text{ას.}} = \frac{2,5}{2,5+35} \cdot 372239 = 24814 \text{ } \text{dm}^3/\text{წთ}$$

- დაღესტნის სახელმწიფო საზღვრის მისაღებობითან:

$$Q_{\text{ას.}} = \frac{L}{L+L_1+L_2} Q_{\text{ას.}} = \frac{2,5}{2,5+35+449} \cdot 372239 = 1935 \text{ } \text{dm}^3/\text{წთ}$$

- მდ. თერგის შესართავთან:

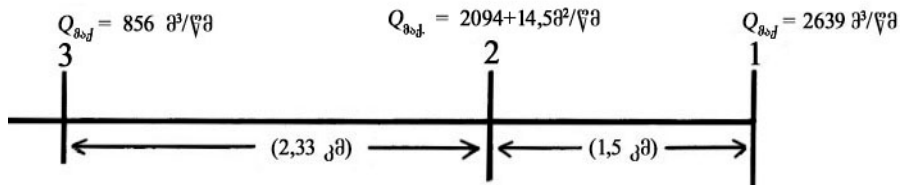
$$Q_{\text{ას.}} = \frac{L}{L+L_1+L_2+L_3} Q_{\text{ას.}} = \frac{2,5}{2,5+35+449+83} \cdot 372239 = 1649 \text{ } \text{dm}^3/\text{წთ}$$

ფაქტიური მონაცემები არ გვაქვს, მაგრამ კატასტროფული ნაზღვლევი წყალმოვარდნამ დიდი ზარალი მიაყენა მდ. თერგის ხეობის ეპონიკას – დაანგრია გზები, ხიდები, გაანადგურა ნაოქესები, დატბორა სოფლები თითქმის შესართავამდე [30]. ეს ფაქტები ადასტურებენ, რომ ასეთი ზარალი შეეძლო გამოეწვია მხოლოდ ძლიერ კატასტროფულ ნაზღვლევ წყალმოვარდნას.

4.9. მყინვარ ბაშპარას ტბები (ჩრდილოეთი კავკასია).

მყინვარის ენის ბოლოს წარმოიშვნენ ლაპას (1), მიზინჩიკისა (2) და ზანდროფოს (3) დაგუბებული ტბები (ნახ. 48), რომელთა დეტალური აღწერა მოყვანილია ავტორთა შრომაში [30]. მათი ანალიზის საფუძველზე ავტორები წინასწარმეტყველებენ, რომ ტბების გარღვევის შემთხვევაში მდ. აღილსუზე გაივლის ძლიერი დგარცოფული ნაკადი, რომელიც დიდ ზარალს მიაყენებს ხეობის ძირას მდებარე ტურისტულ ნაგებობებს,

სასაზღვრო სამსახურის სადარაჯო პუნქტებს, „ჯახ-გუბანისა“ და „ელბრუსის“ ალპურ ბანაკებს, სადაც ხშირად იმყოფებიან ტურისტები, ასევე მდ. ადილსუზე საავტომობილო ხიდს და სხვა. მოცემულ შეფასებას ადასტურებს ზემო მოყვანილი ფორმულებით გამოთვლილი შედეგები. ამ მხრივ გამოყენებული მასალები წარმოდგენილია ხაზობრივი სქემის სახით (ნახ. 48); ნაჩვენებია ლაპას (1), მიზინჩიკის (2) ტბები და ჯახ-გუბანის ალპბანაკი (3). ასევე მოყვანილია ტბების მოსალოდნელი გარდვევის აღილას სიგანე (B) 100 მ (1) და 75 მ (2), წყლის სიღრმე გარდვევის აღილას 7 მ (1) და 6 მ (2), ტბების სიგრძე 100 და 75 მ შესაბამისად [30]. მათი გამოყენებით გამოთვლილია ნაზღვლევი წყალმოვარდნის წყლის მაქსიმალური ხარჯი.



ნახ. 48. ტბები ლაპას (1), მიზინჩიკის (2) და ალპბანაკი ჯახ-გუბანის ხაზღვლები წყალმოვარდნების წყლის მაქსიმალური ხარჯების განაწილების სქემა.

ლაპას ტბის გარდვევისას ნაზღვლევი წყალმოვარდნის წყლის მაქსიმალური ხარჯი იქნება:

$$Q_{\text{ას}}(1) = 1,9 \cdot 75 \sqrt{7^3} = 2639 \text{ } \dot{\text{v}}^3/\ddot{\text{v}}\text{d},$$

მის ქვემოთ ტრანზიტული უბნის გავლისას ტბა მიზინჩიკს (2) მიაღწევს

$$Q_{\text{ას}}(1-2) = \frac{0,01}{0,01 + 1,5} \cdot 2639 = 14,5 \text{ } \dot{\text{v}}^3/\ddot{\text{v}}\text{d},$$

რომლითაც იგი გააძლიერებს ტბა მიზინჩივის გარღვევას, რის შედეგად $Q_{\text{აქ}} = 2094 \text{ } \text{მ}^3/\text{წ}\text{მ}$, გარღვევის აღგილას იქნება:

$$Q_{\text{აქ}}(0.2) = 1,9 \cdot 75 \sqrt{6^3} = 2094 \text{ } \text{მ}^3/\text{წ}\text{მ},$$

საერთო ხარჯი $Q_{\text{აქ}} = 2109 \text{ } \text{მ}^3/\text{წ}\text{მ}$:

$$Q_{\text{აქ}} = 2094 + 14,5 = 2109 \text{ } \text{მ}^3/\text{წ}\text{მ},$$

ამრიგად მდ. ადილსუს სათავე, სადაც განლაგებულია დაგუბებული ტბები, ფაქტობრივად წარმოადგენს ნაზღვლევი წყალმოვარდნის ფორმირების უბანს, რომლის მთლიანი სიგრძე (l_f) იქნება $1,57$ კმ. მის ქვემოთ იწყება მდინარის ტრანზიტული უბანი, სადაც ხეობის ძირას მდებარეობს ალპლაგერი „ჯანჭუგანი“, რომელიც დაშორებულია $2,3$ კმ-ით გარღვევის აღგილიდან; ნაზღვლევი წყალმოვარდნის წყლის მაქსიმალური ხარჯი იქნება:

$$Q_{\text{აქ}(\text{ჯან-ჯუგანი})} = \frac{1,57}{1,57 + 2,3} \cdot 2109 = 856 \text{ } \text{მ}^3/\text{წ}\text{მ},$$

10 კმ გავლის შემდეგ, რომლის ფარგლებში მოქცეულია ხიდი, ნაზღვლევი წყალმოვარდნის წყლის მაქსიმალური ხარჯი იქნება:

$$Q_{\text{აქ}10\text{მ}} = \frac{1,57}{1,57 + 2,3 + 10} \cdot 2109 = 239 \text{ } \text{მ}^3/\text{წ}\text{მ}$$

ამრიგად ტბების გარღვევას მოყვება კატასტროფული წყალმოვარდნა, რომელიც გამოიწევებს დიდ მატერიალურ ზარალს, ხოლო აქ გამოთვლილი შედეგები ამტკიცებენ მათ უტყუარობას.

5. ნაზღლევი ტყალღიღობებისა და ტყალმოგარღების ზინააღმდეგ პრძოლის რჩკომინდაციები

5.1. ნაზღლევი ტყალღიღობებისა და ტყალმოგარღების ზინააღმდეგ პრძოლის მთოლების საერთო დახასიათება

დაგუბებული ტბები, ასევე წყალსაცავებიც როგორი წარმოშობისაც უნდა იყვნენ, ყველა წარმოადგენს საშიშ ობიექტს, განსაკუთრებით მთის მოსახლეობისათვის. აქედან ყველაზე ძლიერია მყინვარული პულსაციით გამოწვეული დაგუბებული ტბების გარღვევა. იგი 40-100-ჯერ უფრო ძლიერია, ვიდრე სხვა დანარჩენი სტიქიური მოვლენებით გამოწვეული ჩახერგილი და დაგუბებული უბნების გარღვევა, რადგან ამ დროს წარმოშობილ ნაკადს აქეს დიდი სიჩქარე, 50-140 მ/წმ, სიღრმეც – 40-50, ზოგ შემთხვევაში 100-140 მ და ადგილად ძლევენ შემხვედრ წინააღმდეგობებს. მათ კლასიკურ

მაგალითს წარმოადგენს მყინვარ კოლკას (ჩრ. ოსეთი), დევდორაკის, აბანოსა (საქართველო) და მურკარის (დაღუსტანი) პულსაციით გამოწვეული მყინვარული გამონაგანი და მათთან დაკავშირებული გლაციალური ღვარცოფები, რომელთა შესახებ დაწვრილებით ითქვა ზემოთ.

მსოფლიო პრაქტიკაში მსგავსი მაგალითები ბევრია. 1970 წ. 31 მაისს, პერუში მყინვარის პულსაციით გამოწვეული ნაკადი დაეშვა დიდი სიჩქარით (100-140 მ/წმ), გადალახა 100 მ სიმაღლის მთა და მეზობელ ხეობაში დამარხა ქ. იუნგაი, 20000 მცხოვრებით; მას წინ უძღოდა ჰაერის ძლიერი ტალღა, რომლსაც ატაცებული პქონდა 4-5 მ დიამეტრის ქვის ლოდები, 500-600 მ მანძილზე ადგილი პქონდა “ქვათა წვიმას” [19,26].

5.2. პროგნოზების მეთოდოლოგიის ზოგიერთი საკითხები ნივალურ ზონაში

კატასტროფული წყალდიდობისა და წყალომოვარდნების წინაღმდეგ ბრძოლის კლასიკურ მაგალითს წარმოადგენს თბილისის სამეცნიერო-კვლევითი პიდრომეტეოროლოგიის ინსტიტუტის სამეცნიერო მოღვაწეობა. იგი დაიწყო ინსტიტუტის დაარსების დღიდან. მაშინ კატასტროფულ წყალომოვარდნას ადგილი პქონდა 1953 წ 18 აგვისტოს მდ. თერგის ზემო წელში, მყინვარწვერის გამყინვარების სამხრეთ-აღმოსავლეთ სექტორში, რაც გამოწვეული იყო ინტენსიური თავსებმა წვიმებით (127 მმ), გამაყრუებელი, განუწყვეტელი, შემზარავი ჭექა-ქუხილით. ეს კატასტროფული წყალომოვარდნა შესწავლილი იქნა საქართველოს პიდრომეტეოროლოგიის სამსახურის სამმართველოს და თბილისის სამეცნიერო-კვლევითი პიდრომეტეოროლოგიის ინსტიტუტის გაერთიანებული სამეცნიერო ექსპედიციის მიერ ვ. ცომაიას სელმძგანელობით. შედეგები გამოქვეყნებული იქნა [46] და გადეცა საქართველოს გზათ სამინისტროსა და საკავშირო პიდრომეტეოროლოგიური სამსახურის მთავარ სამმართველოს. მთავარი სამმართველოს დახმარებით გაიხსნა მყინვარწვერის მყინვარებზე გლაციოლოგიური დაკვირვების პუნქტები. მათი მუშაობის მოცულობა კიდევ უფრო გაიზარდა 1967 წ 17

ივლისიდან, როდესაც განმეორდა 1953 წ მსგავსი კატასტროფული წყალმოვარდნა, ამჯერად მყინვარწვერის გამყინვარების ჩრდილო-აღმოსავლეთის სექტორში თავსხმა წვიმების შედეგად (160 მმ) [9].

8-10 წლის დაკვირვების მასალების დამუშავების საფუძველზე გამოქვეყნდა ვ. ცომაიას მრავალი სტატია ყაზბეგის გამყინვარების თანამედროვე ზრდის შესახებ [49] ასევე „მყინვარწვერის მყინვარები გაცოცხლდნენ“ – გაზეთ ზარია ვასტოკას ფურცლებზე [48]. ასევე ჩრდილოეთ ოსეთის ცენტრალურ გაზეთ „კომუნისტის“ ფურცლებზე [48], შედეგები სინამდვილედ იქცა: 1969 წ 29 სექტემბერს მყინვარ კოლკამ კატასტროფულად წინ წაიწია და 100-120 მ სისქით მოადგა კურორტ ტმენკაუს მისადგომებს (ნახ. 7). ჩრდილოეთ ოსეთის მთავრობის თხოვნით ადგილზე გაემგზავრა საქართველოსა პიდრომეტეოროლოგიური სამსახურის სამმართველოსა და თბილისის სამცნიერო-კვლევითი პიდრომეტეოროლოგიის ინსტიტუტის გაერთიანებული ექსპედიცია ვ. ცომაიას ხელმძღვანელობით. არსებული პირობების ადგილზე შესწავლისა და წინათ მიღებული თეორიული შედეგების გამოყენების საფუძველზე ჩრდილოეთ კავკასიის პიდრომეტეოროლოგიური სამსახურის სამმართველოს წარმომადგენლებთან ერთად შედგენილ იქნა დასკვნა, სადაც აღნიშნული იყო, რომ მყინვარი კოლკა კიდევ გააგრძელებს წინსვლას 2-2,5 კმ და გენალდონის ხეობა 12 კმ სიგრძეზე უნდა გამოცხადდეს საშიშ ზონად [49]. მომდევნო წლებში ორივე პროგნოზი გამართლდა. 1970 წ აპრილამდე მყინვარ კოლკამ წინ წაიწია სულ 4,6 კმ, ხოლო 2002 წ ადგილი პქონდა ჩრდილოეთ ოსეთის გენალდონის მყინვარულ ეკოლოგიურ კატასტროფას; ხეობა 12 კმ სიგრძეზე ამოივსო მყინვარ კოლკას გამონატანით, დიდი ზარალი მიაყენა ხეობის მოსახლეობას, კურორტ კარმადონს და 300-მდე ადამინის სიცოცხლე შეიწირა [29,48].

იმ დროის დასკვნაში (1969წ) აღნიშნული იყო მყინვარწვერის ყველა მყინვარის შესწავლა გაფართოებული პროგრამით. ამ საქმეში ქართველ გლაციოლოგებს მხარში ამოუდგა მსოფლიოს კლასის უდიდესი მეცნიერი, ატადემიკოსი გ-პოტლიაკვიცი. მისი მხარდაჭერით თბილისის პიდრომეტეოროლოგიის ინსტიტუტი შექვანილი იქნა

საერთაშორისო პიდროლოგიური დაკვირვების ათწლეულის პროგრამაში და ამ პროგრამით შესრულებული სამუშაოები იბეჭდებოდა იუნესკოს ეგიდით მთელ რიგ საზღვარგარეთულ გამომცემლობებში. მათ შორის თანამედროვეობის მსოფლიო მნიშვნელობის კაპიტალური, ენციკლოპედიურ მონოგრაფიაში თოვლისა და ამყინვარების რესურსების მსოფლიო ატლასში. ასეთი ბაზის მქონე თბილისის სამეცნიერო-კვლევითი პიდრომეტეოროლოგიის ინსტიტუტის სამეცნიერო ექსპედიციამ გააგრძელა მყინვარ დევდორაკის შესწავლა სრული პროგრამით და 1978 წ შეადგინა სრული სამეცნიერო ანგარიში (ინახება თბილისის სამეცნიერო-კვლევითი პიდრომეტეოროლოგიის ინსტიტუტის სამეცნიერო ფონდში). რეკომენდაციებს შორის მნიშვნელოვანი იყო მდ. ამალის შესართავში, მდ. თერგის მარჯვენა მხარის დარიალის ხეობის ვერტიკალური კლდოვანი კედლის ძირას საგზაო გვირაბის მშენებლობა და მყინვარული სამსახურის შექმნა.

საჭირო მასალები გადეცა მაშინდელ მთავრობას. მას მოყვა დადგენილებები, განკარგულებები, თათბირები, კომისიის შექმნა, გარეშე საეციალისტების მოწვევა. ამასობაში შეიცვალა პოლიტიკური ვითარება და შეწყდა საჭირო რეკომენდაციების გატარება. ისე 29 წლის წინათ აღნიშნული რეკომენდაციები ძალაში რჩება, რასაც ადასტურებს 2007 წ 2 აგვისტოს დარიალის კატასტროფა [29,48].

5.3. ოპერატიული შტაბის სამიანობის შედეგები

წყალმოვარდნები გახშირდა მთელ საქართველოში უფრო სშირად ვიდრე მის ნივალურ ზონაში. იგი დაიწყო მდ. მტკვრის კატასტროფული წყალდიდობით, რომელსაც ადგილი ჰქონდა 1968 წ 18 აპრილს. გამოწვეულს თოვლის საფარის ინტენსიური დნობით, წვიმებთან ერთად [35]. მას მოყვა 1969 წ მაისის კატასტროფული წყალმოვარდნა მდ. არაქსზე [53]. კატასტროფული წყალმოვარდნების გახშირებით გახშირდა ოპერატიული მოთხოვნები სამთავრებო კომისიიდან, საპროექტო ორგანიზაციებიდან კატასტროფული ხასიათის მახასიათებლების, ასევე რეკომენდაციების შესახებ

წყალმოვარდნების კატასტროფული ხასიათის თავიდან აცილებისათვის მთავრობისა და სხვა ორგანიზაციების მოთხოვნების დროულად დაკმაყოფილების მიზნით თბილისის პიდრომებელოროლოგის ინსტიტუტში შეიქმნა კატასტროფული პიდრომებელოროლოგიური მოვლენების შემსწავლელი ოპერატორული შტაბი აკადემიკოს გ.სვანიძის ხელმძღვანელობით, მის გლაციოლოგიურ - პიდროლოგიურ ნაწილში ვ-ცომაიას ხელმძღვანელობით. დიდი გამოცდილების მქონე თბილისის პიდრომებელოროლოგის ინსტიტუტი შეუვანილ იქნა მონაწილედ სამშენებლო ნორმატივებისა და წესების შედგენაში, რომელიც გამოსცა სამშენებლო საქმის საბჭოთა კავშირის სახელმწიფო კომიტეტმა 1985 წ ინდექსით 2.01.14-83 [34]. ოპერატორულმა შტაბმა შეისწავლა კატასტროფული წყალმოვარდნები 1982 წ მდ. რიონზე [7] და ა.შ. შეგროვილი მასალები ეგზავნებოდა მთავრობის კომისიას და საპროექტო ორგანიზაციებს. ისინი დიდი მადლიერებით აღნიშნავდნენ ინსტიტუტის საქმიანობას და დიდი ოპერატორულობას წყალმოვარდნის შესწავლის საქმეში. არსებული მასალების გზადაგზა შესწავლის საფუძველზე დადგენილია 0,01, 0,1, 1, 2 და 3 % უზრუნველყოფის კატასტროფული წყალმოვარდნების მახასიათებლები. ამით შემუშავდა სრულფასოვანი მეცნიერული ბაზა კატასტროფული წყალმოვარდნების თავიდან აცილების რეკომენდაციების ტექნიკური-ეკონომიკური დასბუთებისათვის.

5.4. მსოფლიო პრატიკის არსენალიდან პრალის ზოგიერთი მეთოდების გამოყენების შედეგები

მიმართავენ მყინვარული-მეწყრული კაშხლის პაერიდან დაბომბვის მეთოდს; იგი გამოიყენეს 1942 წელს მყინვარ მორენაზე, ამერიკაში, 1963 წელს მყინვარ მედვეგის წინააღმდეგ შეა აზიაში, მაგრამ მას არავითარი დადებითი შედეგები არ მოჰყოლია [17]. ამასთან, ვიწრო ხეობისა და მიმდებარე ძლიერ დამრეცი ფერდობებისათვის, სადაც ჩახერგილ მასას გააჩნია ფერდობებისაკენ შეფენილი მხრები, ეს პროცესი საშიშია, რადგან შეიძლება გააძლიეროს მდინარის ხეობის ხელმეორედ ჩახერგვა, ასევე მეწყრების ან კლდე-ზვავების ჩამოსვლაც.

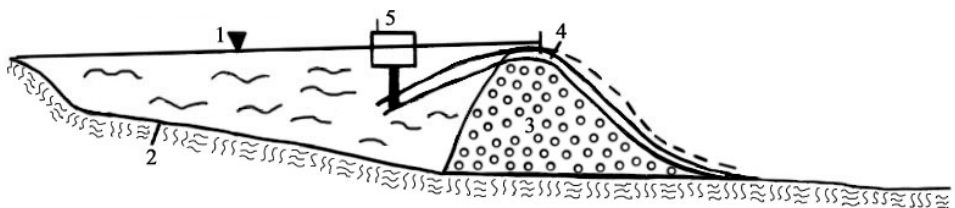
არსებობს სხვა პროექტი, რომელიც ითვალისწინებს მყინვარის სისქის შემცირებას, მათი ხელოვნურად დნობის გაძლიერების შედეგად. ცნობილია, რომ მყინვარები პულსაციას იწყებენ მაშინ, როდესაც მათი სისქე მიაღწევს კრიტიკულ სიდიდეს. მაგალითად, მყინვარი კოლკა პულსაციას იწყებდა 150 მ სისქის დროს, მყინვარი დევდორაკი 75-80 მ შემთხვევაში და ა.შ. ამ ნიშნულის მიღწევამდე თუ შევამცირებო მათ სისქეს დნობის ხელოვნურად გაძლიერების გზით, თავიდან ავიცილებო მყინვარების პულსაციის პროცესებს და მასთან დაკავშირებულ საშიშ კატასტროფულ მოვლენებს — წყალდიდობებს, ნაზღვლევ წყალმოვარდნებს, ჰაერის ტალღებს და სხვა.

ცხადია, ეს საფუძვლიანი მეცნიერული მოსაზრებაა, მაგრამ პრაქტიკულად ძნელი განსახორციელებელია ადგილობრივი პირობებისა და სათანადო ტექნიკის უქონლობის გამო. ასევე არის ინჟინრული გადაწყვეტილებაც, რომელიც ითვალისწინებს ჩახერგილი კაშხლის ზემოთ დაგროვილი წყლის დაცლისთვის ხელოვნური არხის გაყვანას. ამით თავიდან ავიცილებო ნაზღვლევ წყალმოვარდნას. ასეთი სახის სამუშაოები მიმდინარეობს მყინვარ „მედვეჟზე“, შეა აზიაში. ჩვენთან ამ გზით, მდინარე სხალთას მეწყრულ კაშხალზე გაყვანილ იქნა წყალი (ნახ. 9). ამით მეწყრული კაშხლის ზემოთ ადგილი არ ჰქონდა წყლის დიდი რაოდენობით დაგუბებას და თავიდან იქნა აცილებული კაშხლის გარღვევის შემთხვევაში გამოწვეული ნაზღვლევი წყლამოვარდნა.

გარდა ადნიშნულისა, შეიძლება გამოყენებული იქნას სხვა მეთოდებიც. იყო მცდელობა გამოყენებინათ დარცობების დამჭერი რკინა-ბეტონის ლობე [42], მაგრამ მხარდაჭერა ვერ პოვა მყინვარული პულსაციის შედეგების კოლოსალური სიდიდისა და სიძლიერის გამო.

ასეთ წინადადებათა შორის საურადღებო იყო ასევე ე.წ. ხელოვნური სეფონური წყალამოღვრა, რომელიც რეკომენდირებული იყო ჯერ კიდევ 18 საუცნის 70-80-იან წლებში, მყინვარ დევდორაკის პულსაციასთან დაკავშირებული ჩახერგების შედეგად წარმოშობილი დაგუბებული ტბიდან წყალ ამოღვრისათვის [21,47]. მაგრამ ძლიერ შეიცვალა მყინვარ დევდორაკის პულსაცია და ამის გამო შეწყდა

ყურადღება აღნიშნულ მეოთოდზე. დღეს ეს მეოთოდი უფრო აქტიური ხდება [60] (ნახ. 49) დაგუბებული ტბების დაცლისათვის, რომლებიც



ნახ. 49. ჩეობის ჩახერბილი წყალდაბუბნის უბანი და მისი სავონური წყალამოღვრის სძვალა

წარმოადგენენ პოტენციალურად საშიშ ობიექტებს. საერთოდ წყლის დიდი რაოდენობით მოზღვავებისა გამო, მის დაგუბების უბნებში წყლის აღმოღვრისთავის გამოიყენება აღნიშნული დანადგარი, ამიტომ იგი შეიძლება იყოს სტაციონალური და დროებითი; მუდმივი დანადგარები გამოიყენება იმ დაგუბებულ ტბებზე, რომლებიც აშენებულნი არიან მდინარის წყლის რეჟიმის დარეგულირებისათვის, ხოლო ჩახერგვების გზით წარმოშობილი დაგუბებული ტბებისათვის – დროებითი გადასაგანი სიფონური წყალამომღვრელი დანადგარები. მაგრამ ასეთი სახის ღონისძიება მოითხოვს მთელი რიგი დამატებითი სამუშაოების წინასწარ ჩატარებას, რომელთა შედეგებიც საფუძვლად დაედება ბრძოლის მეთოდების შერჩევას. შეიძლება სხვა ვარიანტი იყოს. მაგალითად ოუ ვიწრო გასასვლელია, როგორიც მყინვარ დევდორაკის ენის ბოლოს არის კასახის კლდოვანი 30 მ სიგანის გასასვლელით, რომელიც ზემო მიმდებ ნაწილში იხერგება და წყალი გუბდება მასში გაჭრილი ხვრელი 10 მ სიმაღლეზე, დაქანებული, მდინარის დინების მიმართულებით 1-1,5 მ-ის დიამეტრით უზრუნველყოფს წყლის გადადინებას, რის გამოც ადგილი არ ექნება წყლის დაგროვებას ჩახერგვის ზემოთ.

ყველაზე მისაღები და ადვილად მისაწვდომი მეოთოდია ნაზღვლევი წყალმოვარდნის ან წყალდიდობის საზღვრების დაღენა და დადგენილი ტერიტორიის საშიშ ზონად გამოცხადდება, სადაც აიკრძალება ყოველგვარი სამეურნეო და

საყოფაცხოვრებო საქმიანობა. ასეთ მეთოდმა საერთაშორისო აღიარება ჰქონდა. ვულკანური მოქმედების ზონაშიდაც კი, მაგალითად 40-42 წლის წინათ პავაის კუნძულებზე ვულკანის ამოფრქვევის შედეგად, რომელმაც დიდი ზარალი მიაკენა მოსახლეობას და შეიწირა 1500 ადამიანი, გამოაცხადეს საშიშ ზონად. დანიშნებს მეთვალყურეები, რომლებიც უკრძალავდნენ ყველას გამოყოფილ საზღვრებში ყოველგვარ საქმიანობას. ასეთმა ღონისძიებამ გადაარჩინა ადგილობრივი მცხოვრებნი მეორეჯერ 4-5 წლის წინათ წელს ვულკანურ ამოფრქვევისაგან ძირს დაშვებული ლაგური ლგარისაგან. შეიძლება იქნას გამოყენებული კომბინირებული მეთოდი დარიალის ხეობის ჩახერგვისა და გარღვევის მაგალითზე ოთხივე მეთოდის გამოყენებით: სიფონური, წყალამოღვრა, ხვრელის გაყვანილობა, საშიშ ზონად გამოცხადება, საგზაო გვირაბის გაყვანა სამხედრო გზისათვის დარიალის ხეობაში.

5.5. საეციალიზებული დაკვირვებები და გეოდეზიური აგებება

როგორც აღვნიშნეთ, უპირველეს ცნობას მდინარეებისა და ხეობების ჩახერგვის შესახებ იძლევა მთის მოსახლეობა, როცა ხდება ისეთი უჩვეულო მოვლენების განვითარება, როგორიცაა გამაყრუებელი და შემზარავი გუგუნი, მტვრის კორიანტელი, მდინარის დინების შეწყვეტა და სხვა.

ცნობების მიღებისთვანავე ადგილზე მიემგზავრება სპეციალური ექსპედიცია, რომელიც ატარებს შემდგგ სამუშაოებს:

- ჩახერგვასთან დაკავშირებული პიდროლოგიური მოვლენების შეფასება
- სპეციალიზებული დაკვირვებების, გეოდეზიური აგეგმვების მოწყობა-ჩატარება.

ხეობის კლდე-ზავებით, მეწყრებით, მყინვარული გამონატანით ჩახერგვის შემდეგ ეწყობა სპეციალიზებული

დაკვირვება. იგი ტარდება ხეობის ჩახერგვის რაიონში და უფრო ხშირად მეზობლად მდებარე პიდრომეტეოროლოგიურ სადგურებსა და საგუშაგოებზე.

ხეობის ჩახერგვის რაიონში ეწყობა:

1. დროებითი მეტეოროლოგიური საგუშაგო, სადაც იზომება აგმოსფერული ნალექები და ჰაერის ტემპერატურა მეტეოროლოგიური საგუშაგოს პროგრამით.

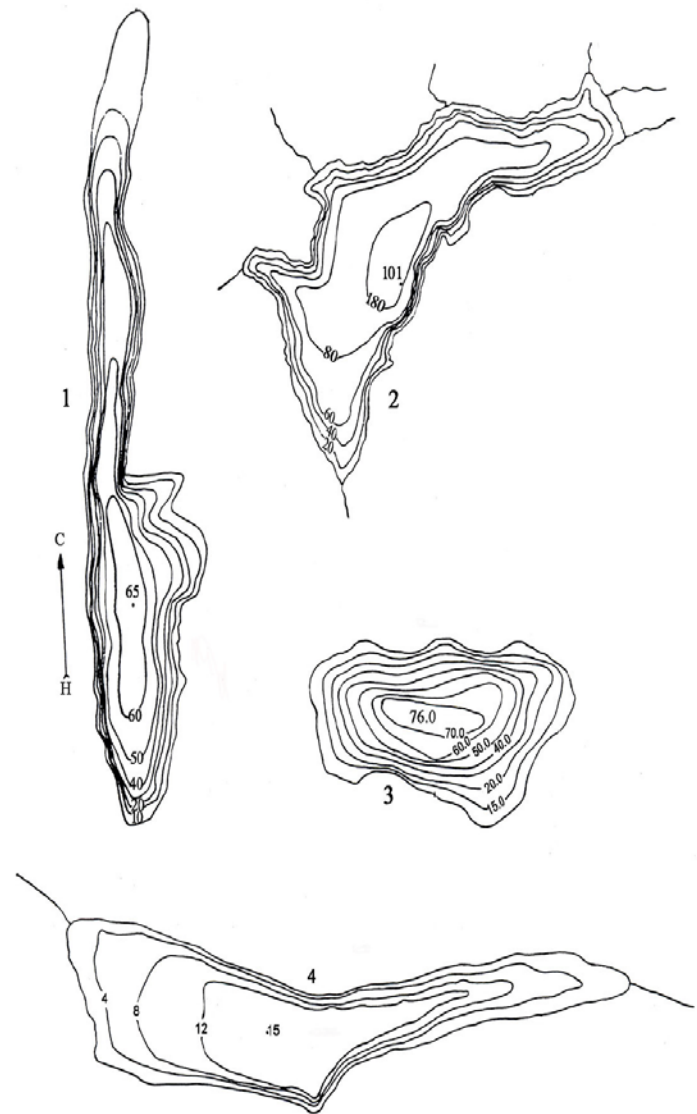
2. დროებითი პიდროლოგიური საგუშაგო, რომელიც შედგება ორი-სამი პიდროლოგიური კვეთისაგან დაგუბების ზემოთ, სადაც დაიდამება დონეების საზომი წყლის ლარტყები; დონეებზე დაკვირვება ხდება ყოველ ორ საათში შერჩეულ პიდროლოგიურ კვეთებთან. პერიოდულად, კერძოდ, დონეების მაკვთრი აწევის დროს, იზომება წყლის ხარჯები. პიდროლოგიური დაკვირვებები და გაზომვები ასევე ტარდება პიდროლოგიური საგუშაგოს პროგრამით.

დაკვირვებისა და გაზომვის მასალების დამუშავება და ანალიზი ხდება ყოველდღიურად. წყლის დონეების, წყლის ხარჯებისა და ინფლიტრაციის ინტენსიური მატების შემთხვევების სათანადო შეფასების საფუძველზე; აღგენებიულ ტენდენციებს (იხ. დანართი) და გადასცემებს დაინტერესებულ ორგანიზაციებს საჭირო ზომების მისაღებად. ასევე, ყველა პიდროლოგიურ საგუშაგოზე, სადაც უნდა გაიაროს დაგუბებული ტბის გარღვევასთან დაკავშირებული ნაზღვლები წყალმოვარდნის ტაღდამ, ეწყობა დაკვირვება წყლის დონეზე, ყოველ ორ საათში, წყალმოვარდნის დაწყების, მაქსიმუმისა და დამთავრების დროის ჩვენებით.

გეოდეზიური აგეგმვები ტარდება დაგუბებული ტბის გარღვევისა და მასთან დაკავშირებული წყალმოვარდნის ტაღლის გავლის შემდეგ. იგი მოიცავს დაგუბებული ტბის ოეოდოლიტურ აგეგმვას, ნიველირის მეთოდით წყლის დონის უდიდეს ნიშნულამდე 2-3 მ სიმაღლის დამატების გათვალისწინებით. მიღებული მასალების საფუძველზე დგება დაგუბებული ტბისა და მიმდებარე ტერიტორიის სქემა (ნახ. 4), ტბის ბათმეტრიული რუკა (ნახ. 50), წყლის მოცულობის, წყლის ხარჯისა და ფართობის მრუდები. განივი და გრძივი პროფილების გრაფიკების აგებით (ნახ. 38, 39), და წყლის მაქსიმალური ხარჯის განსაზღვრა წყლის დონის უდიდესი ნიშნულის მეთოდის მიხედვით (ცხრ. 6). აიგება აგრეთვე

წყალმოვარდნის პიდროგრაფი წინა და მომდევნო დღეების დონეების დატანით (ნახ. 36). მიღებული მასალებიდან დადგენილ B , L , F , H და W -ს ადარებენ იმავე სიდიდეებს, გამოთვლილი პროგნოზული მეთოდით; ცდომილების გამოვლინებისა და გამოთვლების დასაზუსტებლად. ასევე, პიდროლოგიურ საგუშაგოებზე და დამატებით პიდროლოგიურ კვეთებზე წყლის დონის უდიდეს ნიშნულამდე (51) გაზომილ-გამოთვლილი წყლის ხარჯების საშუალებით გამოითვლება წყლის ხარჯი გარდვევის ადგილას, ფორმულა (11)-ის გამოყენების საფუძველზე.

ყველა შემთხვევაში გამოთვლილ Q -ს მნიშვნელობები დაახლოებით იგივე უნდა იყოს, რაც Q — მიღებულია ფორმულით (42) ან (46), როცა $L=0$ -ს. თვალსაჩინოებისათვის იხილეთ დანართი.



ნახ. 50. ამტეველის (1), დიდი როვის (2), პატარა როვის (3) და
ძველურების (4) ტბების გათომეტრიული სქემები [4]



6ას. 51. მდ. მსანევ 1987 წ 11 ივნისის წყალმოვარდნის წყლის
მაშინადან ური ხარჯის გაზომვის მისი გავლის შემდეგ დატოვებული
ნიშანულების მიხედვით ნიველირების მეთოდით.

5.6. რეკომენდაციები დაგუბებული ჰპების გარღვევასთან დაკავშირებული ნაზღვლები წყალდიღობებისა და წყალმოვარდნების თავიდან აცილების შესახებ

- მდინარის ხეობის ჩახერგვის რაიონში უნდა შეიქმნას ოპერატორიული შტაბი, დაწესდეს დღე-დამური მორიგეობა, როგორც დაგუბების რაიონში, ასევე იმ დასახლებაში, სადაც უნდა გაიაროს $0.5 - 1.0$ მ სიმაღლის ნაზღვლევი წყალმოვარდნის ტალღაში. სამორიგეო პუნქტებს შორის უნდა დამყარდეს სატელეფონო კავშირი; ოპერატორიულ შტაბში სისტემატურად უნდა ივსებოდეს სპეციალური უკრნალი (ი. დანართი-ბიულეტინი) მიღებული ინფორმაციის, ნაზღვლევი წყალმოვარდნის გავლისა და დამთავრების დროის, ასევე შედეგების ჩანაწერებით.

- მდინარის ხეობის კლდე-ზვავებით, მეწყრებით, მყინვარების გამონაგანით ჩახერგვის დროიდან, მდინარის კალაპოტი, ჭალები და დაბალი ტერასები მდინარის დონიდან 10 მ-მდე უნდა გამოცხადდეს საშიშ ზონად და შეწყდეს ყოველგვარი სამეურნეო საქმიანობა. დაუყოვნებლივ უნდა განხორციელდეს საშიშ ზონაში არსებული მოსახლეობის, ფერმების, სადგომების და სხვა სახის სამეურნეო ობიექტების ევაკუაცია.
- ხეობის ჩახერგვისა და წყლის დაგუბების დაწყებიდან, ჩახერგილ კაშხალში დროულად უნდა იქნეს გაყვანილი თხრილი კაშხლის სიმაღლის 1/5 სიღრმემდე. განსაკუთრებული ყურადღება უნდა მიექცეს ხეობის ფერდობების დადაბლებულ და მდინარის დიდი სიმრუდის მქონე მოსახვევ ადგილებს, სადაც მოსალოდნელია წყალმოვარდნის ტალღის ნაწილის გადმოდინება (დადაბლებულ უბნებზე), ან ტალღის ნაწილის ასვლა ფერდობზე (მდინარის დინების სიმრუდის უბანზე). საჭიროა ხეობის გასწვრივ განლაგდეს რკინაბეტონის ფილები წყლის მდინარის კალაპოტში დასაბრუნებლად.
- დაგუბებული უბნების, წყალსაცავების წყლით ინტენსიური ავსების შემთხვევაში, როდესაც ავსების დრო განისაზღვრება საათობით, უნდა განხორციელდეს მოსახლეობის ევაკუაცია უსაფრთხოების ადგილებზე.
- მიწისძვრის შემთხვევაში, სადაც მოსალოდნელი იქნება მისი განმეორება, მოხდეს წყალსატევების (წყალსაცავები, დაგუბებული უბნები) დაცლა.
- საკვლევ გაანგარიშებებს და გამოთვლილ პროგნოზებს შეიძლება არ მოჰყენეს დაგუბებული ტბების გარღვევა და მასთან დაკავშირებული კატასტროფული ნაზღვლები წყალმოვარდნები, მაგრამ მიღებული შედეგები გამაფრთხილებელი სიგნალებია, მოითხოვს ყურადღებას, რადგან დაგუბებული ტბები პოტენციურად საშიშ ობიექტებს წარმოადგენენ. საშიშროების ლიკვიდაციისათვის საჭიროა დაგუბებული ტბების დონეების დაწევა 10-15 მ-ით.
- მდინარეთა ხეობების კლდე-ზვავებით, მეწყრებით და მყინვარული გამონაგანით ჩახერგვის შედეგად დაგუბებული უბნების გაჩენასთან ერთად გამოიანგარიშება მოსალოდ-

ნელი დაგუბებული ტბის და მის გარღვევასთან დაკავშირებული წყალმოვარდნის მახასიათებლები, ივსება ბიულეტენი, რომლის ფორმა და შინაარსი შევსებული მაგალითის სახით მოყვანილია ქვემოთ:

პირული

მდინარის _____ ხეობა

ჩახერხილი:

კლდე-ზვავით _____

მეწყრით _____

მყინვარით და ა.შ. _____

რიცხვი, თვე, წელი _____ 20____წ__

შესართავიდან _____ კმ-ის ზემოთ

სოფელი _____ კმ-ის ზემოთ/ქვემოთ

№	მახასიათებლები	მნიშვნელობები	
1	2	3	
1	ჩახერგილი კაშხლის სიმაღლე ძირიდან (H_1), მ	1810	
2	ჩახერგილი კაშხლის თხემის სიმაღლე (H_2), მ	1850	
3	მოსალოდნელი შეტბორვის დონე $h=(H_2-H_1)$, მ	40	
4	მოსალოდნელი დაგუბებული ტბის სიგანე, “ $a-b$ ”(B), მ	75	
5	მოსალოდნელი დაგუბებული ტბის სიგრძე, “ $C-O$ ”(L), მ	2500	
6	დაგუბებული ტბის მოცულობა $W=BLH/K$, მ ³	2500000	
7	წყალშემპრები აუზის ფართობი ჩახერგილი კაშხლის თხემამდე (F_1) , კმ ²	130	
8	წყალშემპრები აუზის ფართობი პიდროლოგიურ საგუშაგომდე $(F_{b,c})$, კმ ²	160	
9	წყალშემპრები აუზის ფართობი ანალოგ მდინარეებზე		
	მდინარე	F_1 , კმ ²	200
	სოფელი		
	მდინარე	F_1 , კმ ²	340
	სოფელი		
	მდინარე	F_1 , კმ ²	465
10	წყლის ხარჯი დაგუბებული მდინარის ჸ/ს-მდე Q , მ ³ /წ		
	წყლის ხარჯი ანალოგ მდინარეებზე		
	მდინარე	Q_1 , მ ³ /წ	2,90
	სოფელი		
	მდინარე	Q_1 , მ ³ /წ	4,50
	სოფელი		
11	დაგუბებულ უბნებზე მდინარეთა ჯამური წყლის ხარჯი		
	გაზომვის მეთოდით (ΣQ), მ ³ /წ		
	დაგუბებული მდინარის საგუშაგოს მონაცემებით $\Sigma Q=(F/F_{b,c})$, მ ³ /წ		
	ანალოგ მდინარის მეთოდით $\Sigma Q=1/n(Q_1/F_1)+Q_2/F_2)+\dots+(Q_n/F_n)$, მ ³ /წ		
12	დაგუბებული ტბის (წყალსატევის) ავსების ხანგრძლივობის პროგნოზი		
	$T=W/Q$, წამებზე		
	$T_w=T/60$, საათებზე		
	$T_i=T_w/60$, საათებზე		
13	დაგუბებული ტბის გარდვევის შემდეგ წყალმოვარდნის წყლის მაქსიმალური დონე, მ $h=H/10^{3 b/B(1+0.15L)}$, როგორ		
	$L_1=0$ კმ		
	$L_2=5$ კმ		

	$L_3=10$ $\text{J}^{\frac{1}{2}}$	8.0
	$L_4=15$ $\text{J}^{\frac{1}{2}}$	6.2
	$L_5=20$ $\text{J}^{\frac{1}{2}}$	5.0
	$L_6=25$ $\text{J}^{\frac{1}{2}}$	4.2
	$L_7=30$ $\text{J}^{\frac{1}{2}}$	3.6
	და ა.შ.	
14	დაგუბებული ტბის გარღვევის შემდეგ წევალმოვარდნის წყლის მაქსიმალური ხარჯი, $\text{მ}^3/\text{წ}\text{მ}$ $Q=1.9LBH^{3/2}/(L+L_i)$ როცა	
	$L_1=0$ $\text{J}^{\frac{1}{2}}$	36525
	$L_2=5$ $\text{J}^{\frac{1}{2}}$	12053
	$L_3=10$ $\text{J}^{\frac{1}{2}}$	7305
	$L_4=15$ $\text{J}^{\frac{1}{2}}$	5114
	$L_5=20$ $\text{J}^{\frac{1}{2}}$	3287
	$L_6=25$ $\text{J}^{\frac{1}{2}}$	2922
	და ა.შ.	

შეადგინა _____

შეამოწმა _____

თარიღი 20 ____ წ ____

ლიტერატურა

1. გორგიჯანიძე ს., ცინცაძე ნ. მყინვარების უკან დაზევის შედეგად წარმოშობილი დაგუბებული ტბების გეოგრაფია. პილრომეტეოროლოგის ინსტიტუტის შრომათა კრებული. ტ.111. 2003.

2. მესხია ზ. მდინარეთა ჩამონადენის გაანგარიშება
იზოქრონების თეორიის ახლებური წარმოდგენის
საფუძველზე. (დასავლეთ საქართველოს მაგალითზე).
ავტორეფერაციი. თბილისი, 1993.
3. ტინტილოზოვი ზ. მეწყერები და კლდეზავები მდ.
ყვირილას აუზში. საქართველოს გაოგრაფიული
საზოგადოების შრომები. საქართველოს მეცნიერებათა
აკადემიის გამომცემლობა. თბილისი, 1959, 67-75. გვ.
4. ჯაფარიძე რ. განსაცდელი. გაზეთი „კომუნისტი“, 4
მარტი, 1990.
5. ცომაია ვ. ჭალარა კავკასიონის ახალგაზრდობის ხანა.
გამომც. „მეცნიერება“. თბილისი. 1985.43.
6. ცომაია ვ. მდინარეების ტრანზიტულ უბნებში
წყალმოვარდნის წყლის მაქსიმალური ხარჯების
განსაზღვრის საკითხებისათვის (მეთოდური მითითება),
საქართველოს ჰიდრომეტეოროლოგიისა და გარემოს
მონიტორინგის მთავარი სამართველოს ინფორმაციული
წერილი. №2/133, თბილისი, 1993. 32-42.
7. ცომაია ვ. მთიან რეგიონებში თოვლდაგროვების
კანონზომიერებათა გლაციოლოგიური და
ჰიდროლოგიური საფუძვლები (საქართველოს
მაგალითზე). თბ., 1995. (სადოქტორო დისერტაცია). 48. გვ.
8. წიკლაური დ. წყლის ენერგიის გამოყენება. გამომც.
„ტექნიკა და შრომა“. თბილისი. 1957. 289. გვ.
9. [REDACTED]
10. [REDACTED] «[REDACTED]»,
[REDACTED] 1975, 217. □
11. [REDACTED] [REDACTED] [REDACTED] [REDACTED] [REDACTED]
[REDACTED] [REDACTED]. [REDACTED], □.□ [REDACTED] [REDACTED]
«[REDACTED]». □. 1987, 248 □
12. [REDACTED] [REDACTED] [REDACTED] [REDACTED] [REDACTED] [REDACTED] [REDACTED]
[REDACTED], [REDACTED] 1977., □ 153.
13. [REDACTED] [REDACTED] [REDACTED] [REDACTED] [REDACTED] [REDACTED] [REDACTED] [REDACTED]
[REDACTED] 1988, 263 □

14. [REDACTED] 1977, 127 □
15. [REDACTED] 32 (47),
[REDACTED] 1968, 8-12 □
16. [REDACTED] «[REDACTED]», [REDACTED] 1989, 128 □
17. [REDACTED] 1971, 297 □
18. [REDACTED] [REDACTED] 24, 1974, 155-163 □
19. [REDACTED] 1976, 276 □
20. [REDACTED] 1973 □ [REDACTED]
[REDACTED], 22. 1973, 37-38.
21. [REDACTED] 1909-1913 [REDACTED] [REDACTED], 8, 1, [REDACTED],
1917 □ 1-48.
22. [REDACTED] 1984, 112 □
23. [REDACTED], 1988., 150. □
24. [REDACTED] 1991. 19
25. [REDACTED] 8., [REDACTED] 10, 11, 12. 9. [REDACTED] 2-7.
[REDACTED] 1975, 86-95 □
26. [REDACTED] 1974. [REDACTED] 24. [REDACTED] 35-38
27. [REDACTED]. [REDACTED] 17. 1970. [REDACTED] 240-241.
28. [REDACTED]., [REDACTED] [REDACTED], [REDACTED] «[REDACTED]», [REDACTED], 1968, 336 □
29. [REDACTED]. [REDACTED] [REDACTED] [REDACTED] 2002. 506. □

30. [REDACTED] [REDACTED] [REDACTED] [REDACTED] [REDACTED] [REDACTED] [REDACTED]
[REDACTED] [REDACTED] [REDACTED] [REDACTED] [REDACTED] [REDACTED], 1955. 390 [REDACTED]
31. [REDACTED] [REDACTED] [REDACTED] [REDACTED] [REDACTED] [REDACTED] [REDACTED]
[REDACTED] [REDACTED] [REDACTED] [REDACTED] [REDACTED] 6. [REDACTED] «[REDACTED]», [REDACTED], 1991., 66-
71 [REDACTED]
32. [REDACTED] [REDACTED] [REDACTED] [REDACTED] [REDACTED] [REDACTED] [REDACTED] [REDACTED]
1972. 272 [REDACTED]
33. [REDACTED] [REDACTED] [REDACTED] [REDACTED] [REDACTED] [REDACTED] [REDACTED] [REDACTED]
[REDACTED] [REDACTED] [REDACTED] [REDACTED] [REDACTED] [REDACTED], 1946. 480 [REDACTED]
34. [REDACTED] [REDACTED] [REDACTED] [REDACTED] [REDACTED] [REDACTED] [REDACTED] [REDACTED]
[REDACTED] [REDACTED] [REDACTED] ([REDACTED] [REDACTED] [REDACTED] [REDACTED] [REDACTED] [REDACTED] [REDACTED]
[REDACTED]), [REDACTED] [REDACTED] [REDACTED], 1984., 448 [REDACTED]
35. [REDACTED] [REDACTED] [REDACTED] [REDACTED] [REDACTED] [REDACTED] [REDACTED] [REDACTED]
[REDACTED] [REDACTED] [REDACTED] ([REDACTED] [REDACTED] [REDACTED] [REDACTED] [REDACTED] [REDACTED] [REDACTED]
[REDACTED]), [REDACTED] 9., [REDACTED] 1. [REDACTED] [REDACTED] [REDACTED], 1969., [REDACTED] 12.
36. [REDACTED] [REDACTED] [REDACTED] [REDACTED] [REDACTED] [REDACTED] [REDACTED] [REDACTED]
[REDACTED] [REDACTED] [REDACTED] [REDACTED], 1971. 210 [REDACTED]
37. [REDACTED] [REDACTED] [REDACTED] [REDACTED] [REDACTED] [REDACTED] ([REDACTED] [REDACTED] [REDACTED] . [REDACTED])
[REDACTED] 9., [REDACTED] 1. [REDACTED] [REDACTED] [REDACTED], 1974., 578 [REDACTED]
38. [REDACTED] [REDACTED] [REDACTED] [REDACTED] [REDACTED] [REDACTED] [REDACTED] [REDACTED]
[REDACTED] [REDACTED] [REDACTED] [REDACTED] [REDACTED] [REDACTED] [REDACTED] [REDACTED] [REDACTED] 9., [REDACTED] 1.
[REDACTED] [REDACTED] [REDACTED] [REDACTED] [REDACTED], 1977., 359 [REDACTED]
39. [REDACTED] [REDACTED] [REDACTED] [REDACTED] [REDACTED] [REDACTED] 1974. [REDACTED] 24. [REDACTED] 109-116.
40. [REDACTED] [REDACTED] [REDACTED] [REDACTED] [REDACTED] [REDACTED] [REDACTED] [REDACTED]
[REDACTED] [REDACTED] [REDACTED] [REDACTED] [REDACTED] [REDACTED] [REDACTED] [REDACTED] «[REDACTED]», [REDACTED], 1983. 178. [REDACTED]
41. [REDACTED] [REDACTED] [REDACTED] [REDACTED] [REDACTED] [REDACTED] [REDACTED] [REDACTED]
[REDACTED] [REDACTED] [REDACTED] [REDACTED] [REDACTED] [REDACTED] [REDACTED] [REDACTED], [REDACTED] [REDACTED] [REDACTED], 1985., 20 [REDACTED]
42. [REDACTED] [REDACTED] [REDACTED] [REDACTED] [REDACTED] [REDACTED] [REDACTED] [REDACTED]
[REDACTED] [REDACTED] [REDACTED] [REDACTED] [REDACTED] [REDACTED] [REDACTED] [REDACTED] [REDACTED]
[REDACTED], 1980., [REDACTED] 214-230.
43. [REDACTED] [REDACTED] [REDACTED] [REDACTED] [REDACTED] [REDACTED] [REDACTED] [REDACTED]
[REDACTED] [REDACTED] [REDACTED] [REDACTED] [REDACTED] [REDACTED] [REDACTED] [REDACTED] [REDACTED]
[REDACTED] [REDACTED] [REDACTED] [REDACTED] [REDACTED] [REDACTED] [REDACTED] [REDACTED] [REDACTED]
[REDACTED] [REDACTED] [REDACTED] [REDACTED] [REDACTED] [REDACTED] [REDACTED] [REDACTED] [REDACTED],
1992. [REDACTED] 84 (91)., [REDACTED] 3-16.
44. [REDACTED] [REDACTED] [REDACTED] [REDACTED] [REDACTED] [REDACTED] [REDACTED] [REDACTED]
[REDACTED] [REDACTED] [REDACTED] [REDACTED] [REDACTED] [REDACTED] (20-21 [REDACTED] 1982 [REDACTED] [REDACTED]), [REDACTED]
1982., [REDACTED] 3-5.
45. [REDACTED] [REDACTED] [REDACTED] [REDACTED] [REDACTED] [REDACTED] [REDACTED] [REDACTED]
[REDACTED] [REDACTED] [REDACTED] [REDACTED] 1988. 379. [REDACTED]

46. [REDACTED] 1955. □. □ 91-93.
47. [REDACTED] . [REDACTED] «[REDACTED]» [REDACTED] 1951-1963 □, [REDACTED] 1964. 545 □
48. [REDACTED] . «[REDACTED]». «[REDACTED]». 1966. □ 5(13152). 6. «I». [REDACTED] 1968. □ 47(17870). 26 II.
49. [REDACTED] □□. [REDACTED] 19(25), □, 1965. □ 44-48.
50. [REDACTED] □□., [REDACTED] □□ [REDACTED] 4., [REDACTED], 1970., □ 45-47.
51. [REDACTED] □□. [REDACTED] □□. [REDACTED] □□, □ 4(98)., [REDACTED], 1978.. □ 29-32.
52. [REDACTED] □□. 851 [REDACTED] «[REDACTED]», □ 218 (16194)., □, 1978.
53. [REDACTED] □□. [REDACTED] 1986. □ 85 (92)., □ 31-46.
54. [REDACTED] □□. [REDACTED] 1992., □ 84(91)., □ 36-45.
55. [REDACTED] □□., [REDACTED] □□, [REDACTED] □□ □□ 84(91). □ 75-78.
56. [REDACTED] □□., [REDACTED] □□., [REDACTED] □□, 101. 1998. □ 160-165.
57. [REDACTED] □□, [REDACTED], [REDACTED] □□, □□, [REDACTED] □□, [REDACTED] 95. 2003, □ 153-160.
58. [REDACTED] □□-□□ [REDACTED] □□. [REDACTED] □□, [REDACTED] □□ 93. □. 2002. □ 221-228.

ცხრილი 5

დაბუგებული ტბების შევსების მახასიათებლების ბანბარიშების შედებები

N ^o	ეტაპები, შესაბამისი მონაცემები და გამოთვლები	ჯრუჩულა	ხახიეთის ყალი	ფაწა ქემულთა
1	2	3	4	5
I. საჭყისი მონაცემები				
1	მდინარის წყალშემკრები აუზის ფართობი	(მ ²)	37.6	81.0
2	მდინარის სიგრძე	(მ)	13.5	9.6
3	მდინარის სათავის სიმაღლე	(მ)	1400	1900
4	მდინარის საანგარიშო კვეთის სიმაღლე	(მ)	680	880
5	მდინარის წყალშემკრები აუზის საშუალო სიმაღლე	(მ)	1480	1800
II. პიროვნებიში მონაცემები				
6	მდინარის დახრილობა	$I=0,75[(H_1-H_2)/L]$	0.068	0.080
მდინარის წყლის ხარჯი:				
7	წლიური ნორმა	0 მ ³ /წ	1.15	2.71
	ტბის შევსების პერიოდი	Σ მ ³ /წ	2.15	1.52
	უდიდესი მაქსიმალური წყლის ხრჯი	მ ³ /წ	442	447
	1%-ანი უზრუნველყოფის წყლის ხარჯი	1% მ ³ /წ	310	313
III. ტბის შევსების მახასიათებლები ჩვეულებრივ პიროვნები				
8	ტბის მოცულობა	ჯ მ ³ /წ	$0.425 \cdot 10^6$	$2.1 \cdot 10^6$
				$3.8 \cdot 10^6$

9	ტბის შევსების ხანგრძლივობა $\sigma_0 = \text{გვ}/\Sigma \quad \delta^3/\nabla \theta$	198000 2.29	1.422000 18.46	448000 5.18
IV. ტბის შევსების მანადირებლები 1% უყლის მაშინმაშინ ხარჯის პირობებში				
10	წყალმოვარდნის ხანგრძლივობა σ (1%), ფორმულა (4.8) წმ	1488	12126	18294
11	წყალმოვარდნის მატების ფაზების ხანგრძლივობა $\sigma_m = \sigma (1\%)/3.4 \quad \text{წმ}$	438	3566	5381
12	წყალმოვარდნის დაცემის ფაზის ხანგრძლივობა $\sigma_m = 2.4 \text{ თმ}$	1050	8560	12913
13	წყალმოვარნის მატების ფაზის წყლის მოცულობა $\sigma = 0.96 \text{ თმ } 1\%$	54312	445463	839436
14	წყალმოვარდნის დაცემის ფაზის წყლის ხანგრძლივობა $\sigma (1\%)$	130349	$1.07 \cdot 10^6$	$2.01 \cdot 10^6$
15	წყალმოვარდნის მთლიანი წყლის მოცულობა $\sigma (1\%) = 1.36 \text{ თმ } 1\%$	184661	$1.52 \cdot 10^6$	$2.85 \cdot 10^6$
16	პირობა $\sigma (1\%)$	$\leq \sigma_0$	$\leq \sigma_0$	$> \sigma_0$
17	ტბის შევსების ხანგრძლივობა σ , ფორმულა (4.10) წგ დღე	113214 1.31	399105 4.56	117146 1.36